

ARCHITECTURE ET INGENIERIE DU BETON DE FIBRES



Cette présentation veut suggérer une illustration du processus de conception des éléments structurels ou non structurels réalisés en béton de fibres à ultra haute performance et tenter de proposer une méthode de conception associée.

Un matériau générique, le B.U.H.P deux déclinaisons

- Le B.U.H.P à fibres organiques
Ductal Lafarge Holcim
Vicat
- Le B.U.H.P à fibres métalliques
BSI Eiffage
Ductal Lafarge Holcim
Smart-Up Vicat

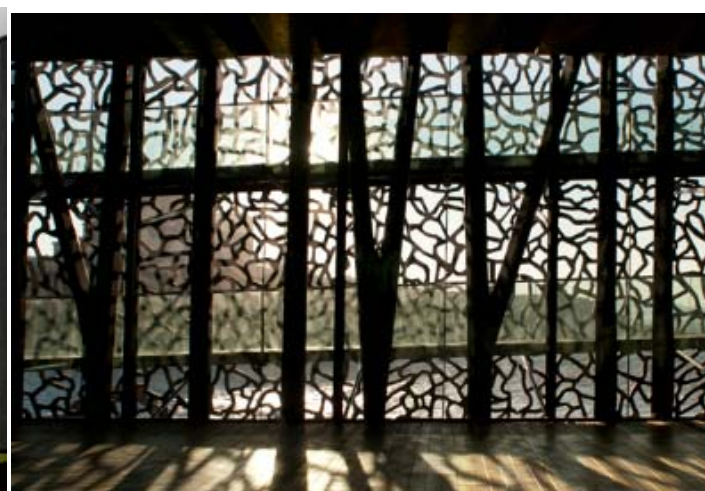
BSI®

Ductal®

SMART 

BÉTONS FIBRÉS ULTRA-HAUTES
PERFORMANCES

ARCHITECTURE, DESIGN, STRUCTURES D'OUVRAGES D'ART
ET DE BÂTIMENTS





1. Résistance à la compression f_{ck}	150MPa ~ 250MPa
2. Résistance à la traction $f_{ctk,el}$	≥ 3.1 MPa
3. Diamètre des agrégats	1mm ~ 7mm
4. Eau/ciment ratio	≤ 0.2
5. Superplastifiants	0.5%~2% (//du volume de ciment)
6. Proportions de fibres	2%~5% (//du volume total)
7. Longueur des fibres	12 ~ 20mm
8. Diamètre des fibres	0.2mm ~ 0.3mm
9. Densité	2400kg/m ³ ~ 2800kg/m ³





1. Résistance à la compression f_{ck}	130MPa
2. Résistance à la traction $f_{ctk,el}$	$\geq 2.85 / 5.1$ MPa
3. Diamètre des agrégats	1mm ~ 7mm
4. Eau/ciment ratio	≤ 0.2
5. Superplastifiants	0.5%~2% (//du volume de ciment)
6. Proportions de fibres	2%~5% (//du volume total)
7. Longueur des fibres	12 mm
8. Densité	2500kg/m ³



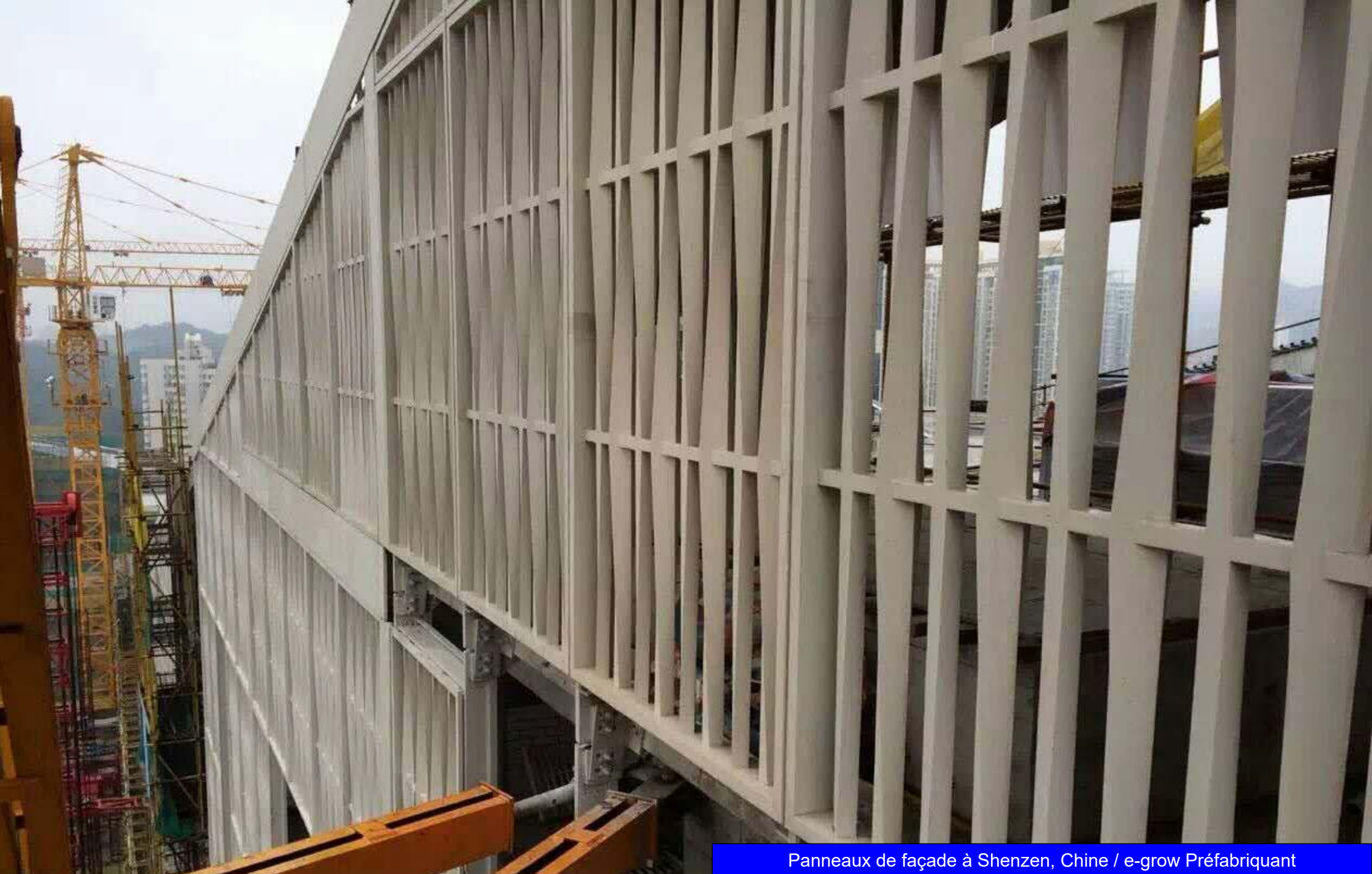


Gasholders triplets King's Cross, London / Thorp Préfabriquant





Panneaux à Sao Paulo, Bresil / stone Prefabriquant



Panneaux de façade à Shenzhen, Chine / e-grow Préfabriquant



Dôme au Qatar / Premier Préfabriquant



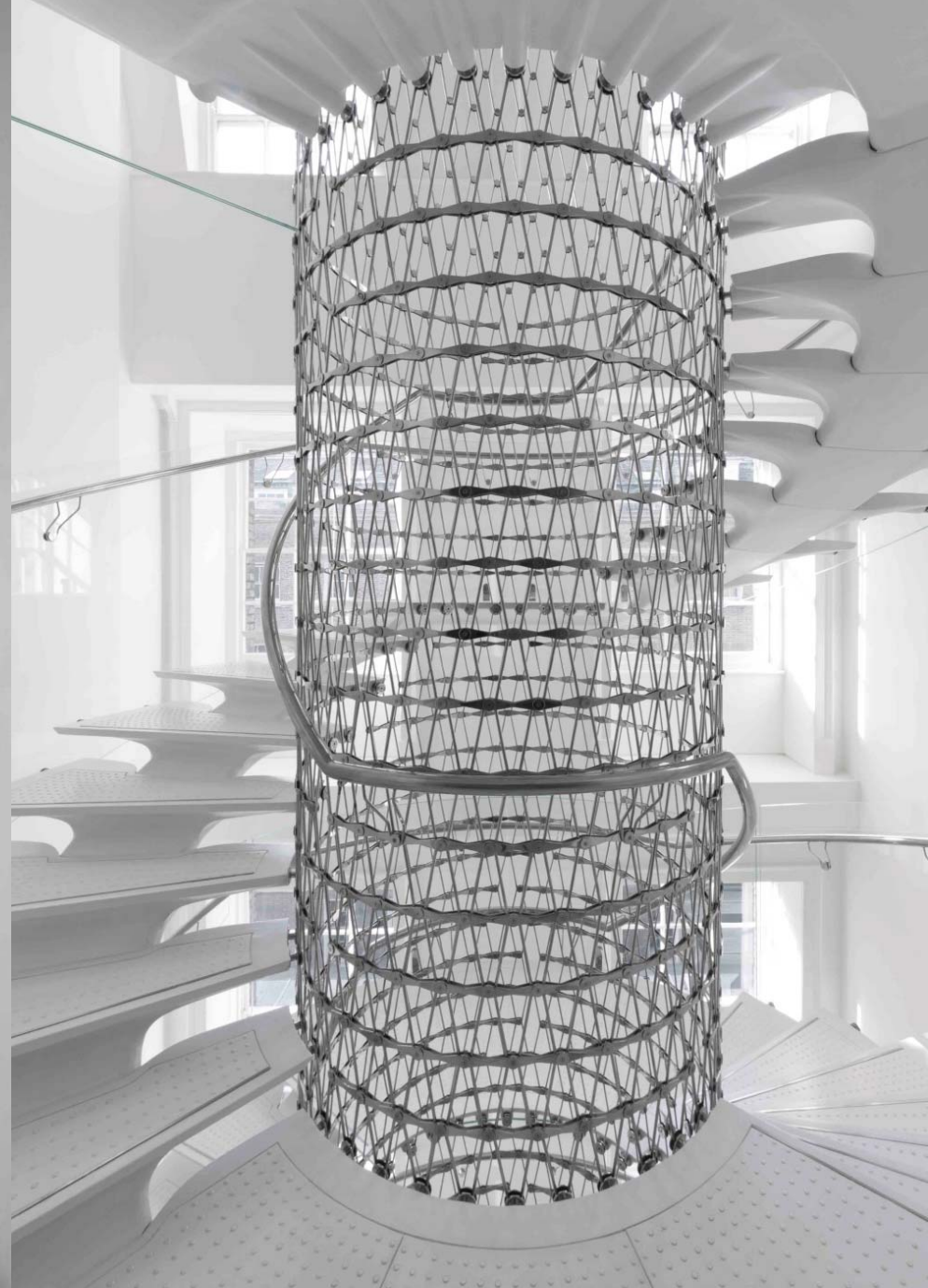
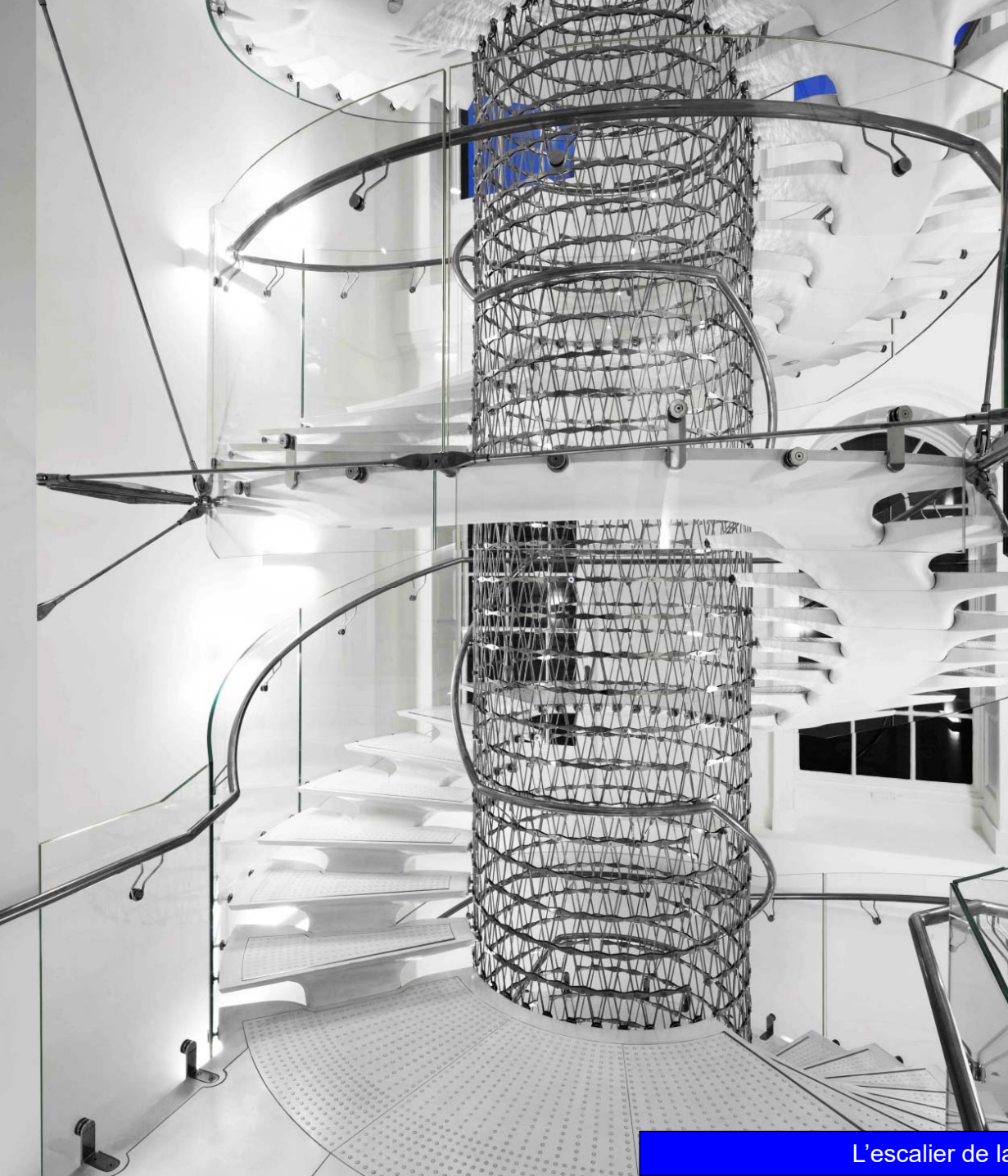
Canopy, Pershing Square, Los Angeles USA / TER Paysagistes



« Panneaux de la « Crèche Budin », Paris France / Combarel Marrec Architectes / Il cantiere Prefabriqueant



Show room Zaha Hadid / Londres / Il cantiere Prefabbricato

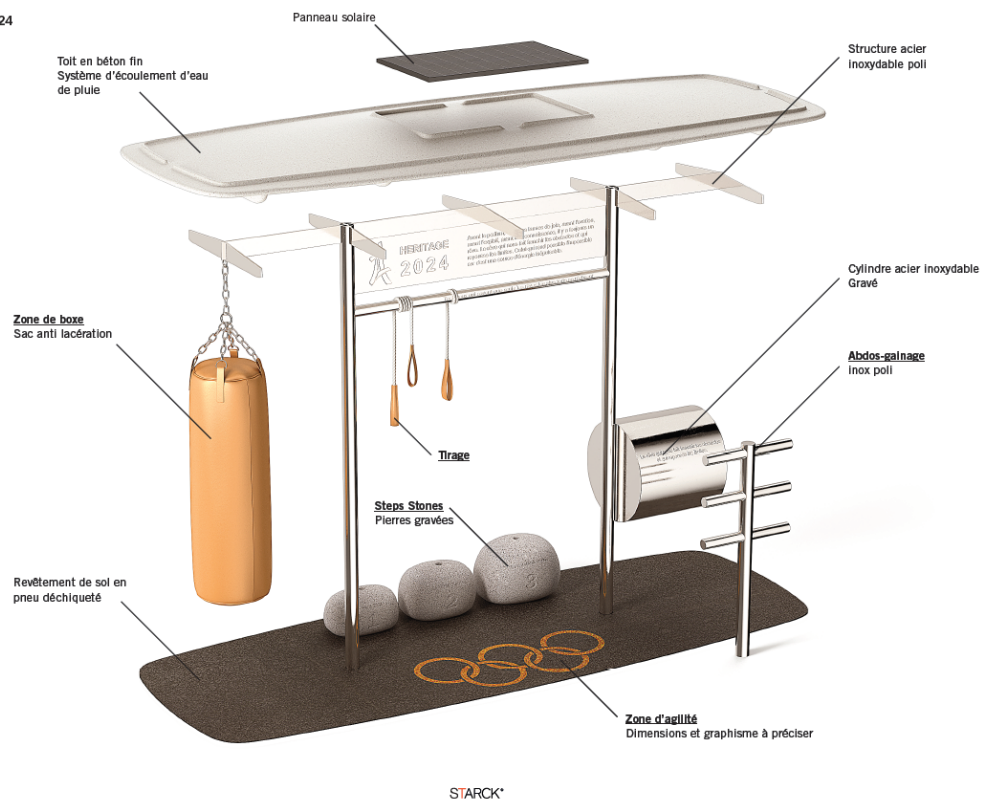


L'escalier de la Somerset House, London UK / Il cantiere Prefabriguant



Escalier fondations les Galeries Lafayette, Paris / OMA Architectes / Jusselin Prefabriquant

HERITAGE 2024
ECLATÉ



Mobilier Urbain / France 2024



Poutre en béton précontrainte, Chine / Huaxin Prefabriqueant



L'anneau de la mémoire, Arras France / Eiffage Construction Entreprise

- 1- Matériau, quelques repères
- 2- Conception, quelques règles
- 3- Etude de cas
- 4- Synthèse

- 1- Matériau, quelques repères**
- 2- Conception, quelques règles
- 3- Etude de cas
- 4- Synthèse







Les qualités spécifiques des B.U.H.P qui ouvrent des possibilités de conception nouvelles..

Comportement

Minimisation du ferrailage mis en oeuvre

Utilisation de la résistance du béton à la traction

Etude du comportement post-élastique du matériau

Bonne résistance aux environnements agressifs

Reduction de l'enrobage $c \geq 1.5 L_f \approx 2.5\text{cm} \sim 3.5\text{cm}$ (L_f = longueur de la fibre)

Porosité très faible

Géométrie

Finesse et élancement des pièces

Haute qualité de finition possible

Mise en oeuvre

Ouvrabilité permettant la conception de formes complexes

Résistance élevée au jeune age

Peu de maintenance

B.U.H.P de fibres organiques

PANNEAUX / VETURES
ELEMENTS NON STRUCTUREL
BRISE SOLEIL
MARCHE / EMMARCHEMENT
ESCALIER*1

B.U.H.P de fibres métalliques

PANNEAUX / VETURES
ELEMENTS NON STRUCTUREL
OSSATURE / DALLE
ESCALIER / EMMARCHEMENT
AUVENTS / COQUE

Propriétés typiques des B.U.H.P :

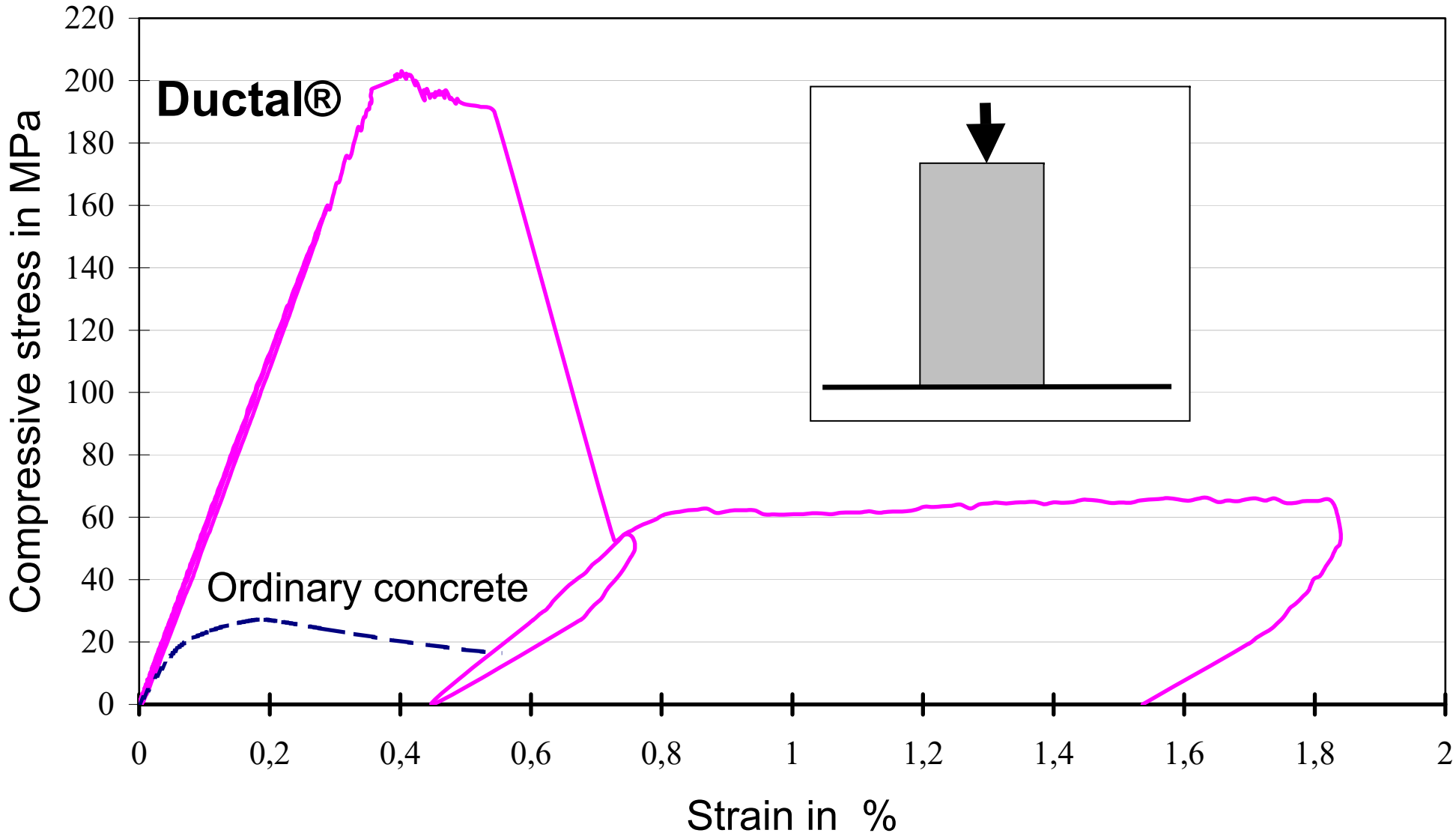
P1 : Résistance à la compression supérieure à 100 MPa

P2 : Résistance à la traction comprise entre 5 and 10 MPa. Le comportement à la traction est associé à une bonne ductilité liée aux fibres.

P3 : La proportion de ciment est importante. Le ratio moyen eau-ciment est égal à 0,2 du volume total.

P4 : Très peu de porosité.

Diagramme représentant la capacité en compression du béton



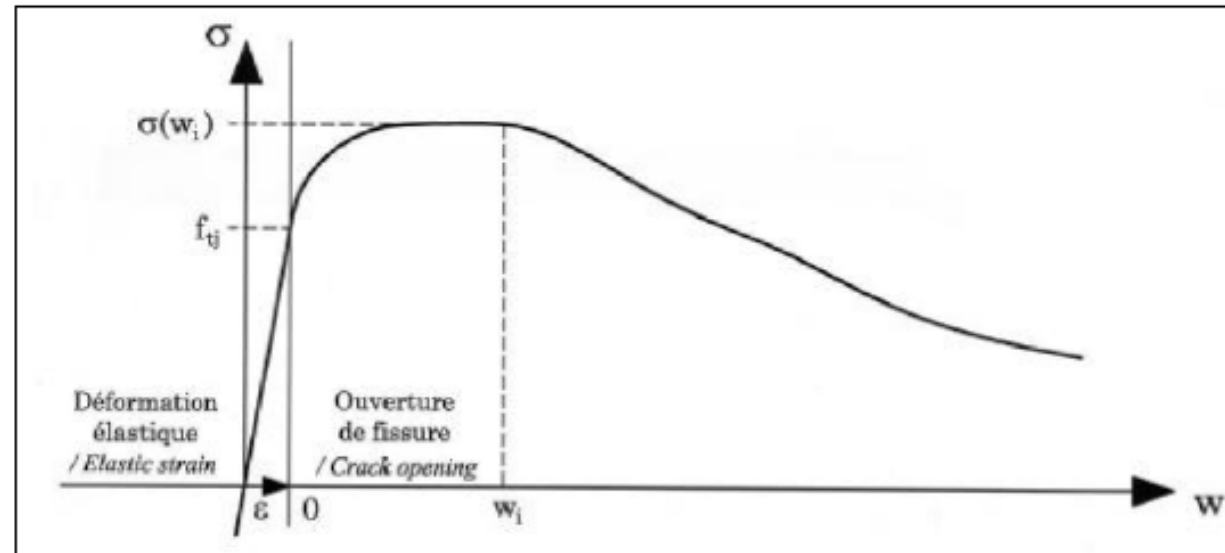


Figure 6 : Exemple de loi de comportement d'un BFUP de fibres métalliques

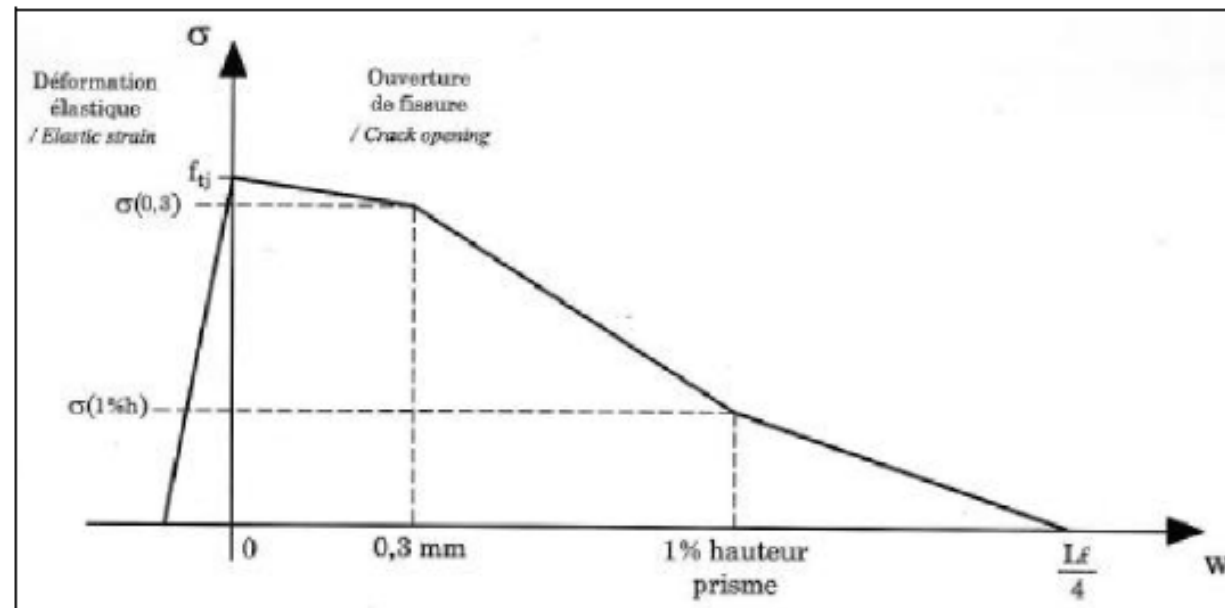
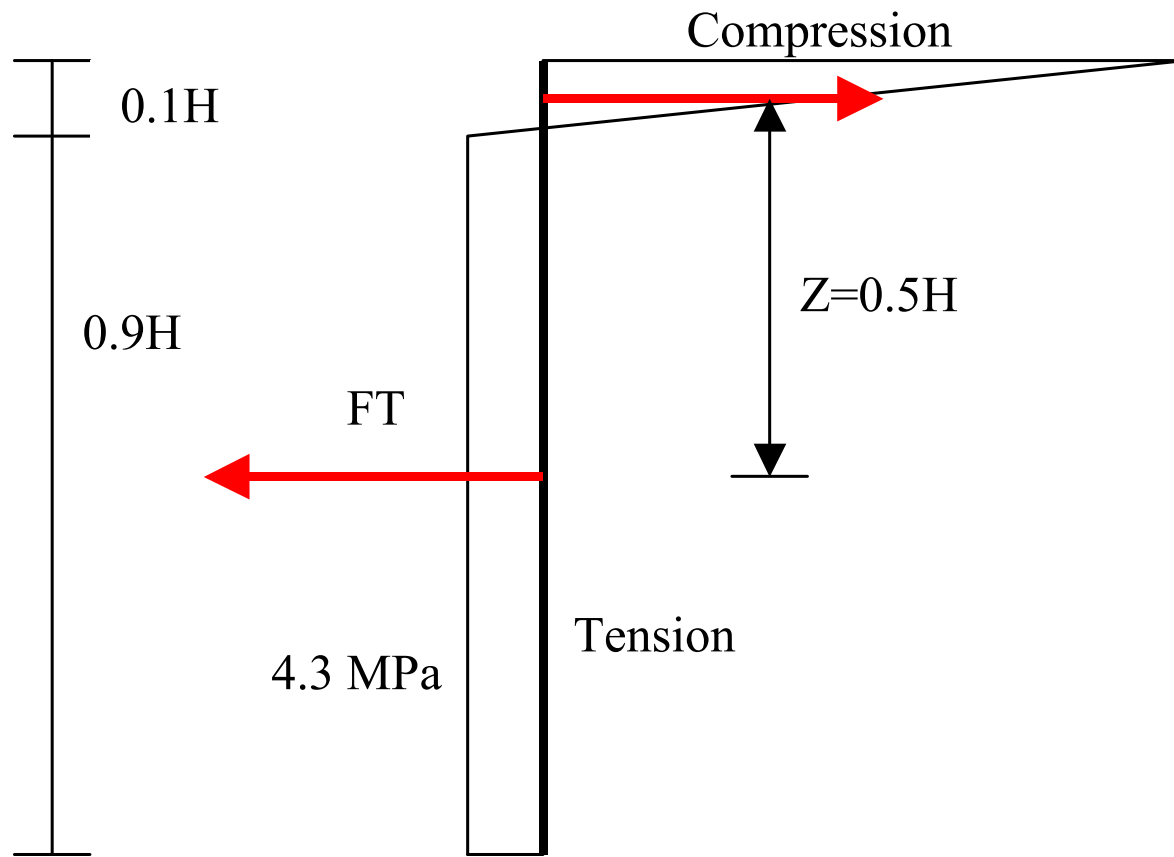


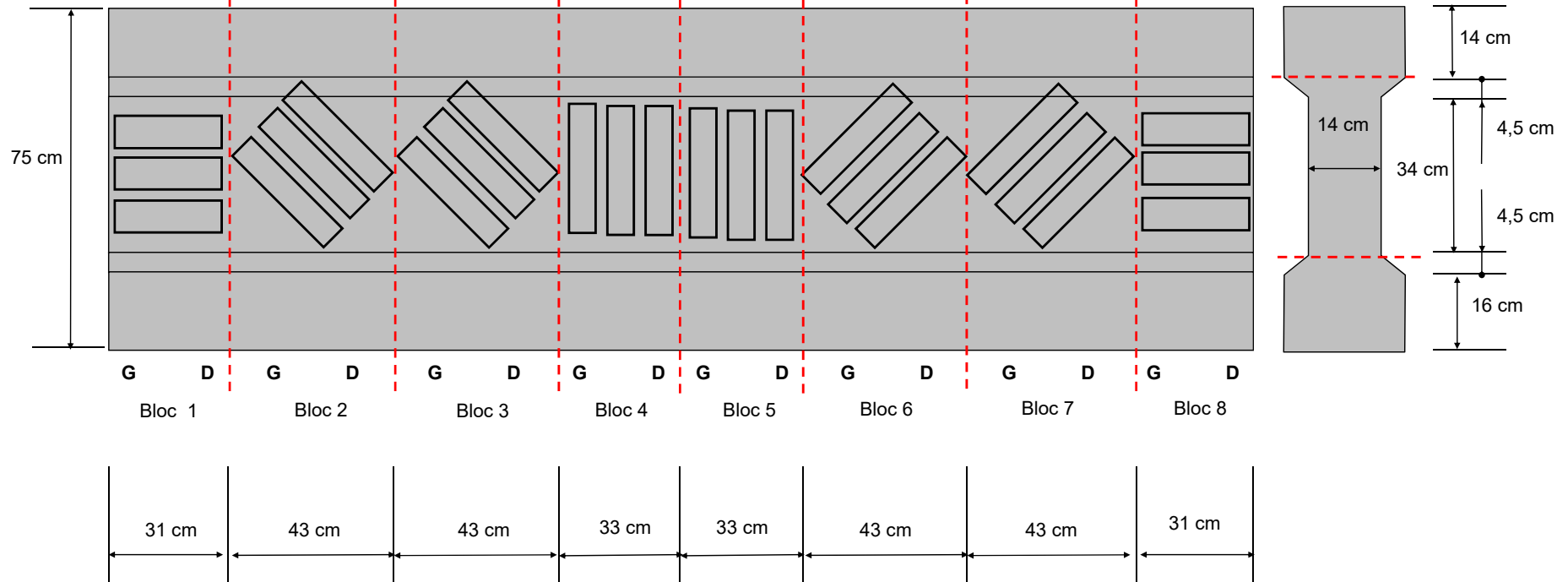
Figure 7 : Loi en traction simplifiée d'un BFUP de fibres métalliques ($\sigma = f_{(\varepsilon)}$)
(Extrait des Recommandations provisoires de l'AFGC et du SETRA [1.1])

Distribution des contraintes dans la section



Importance de l'orientation des fibres

k factor in order to take in account fiber orientation.

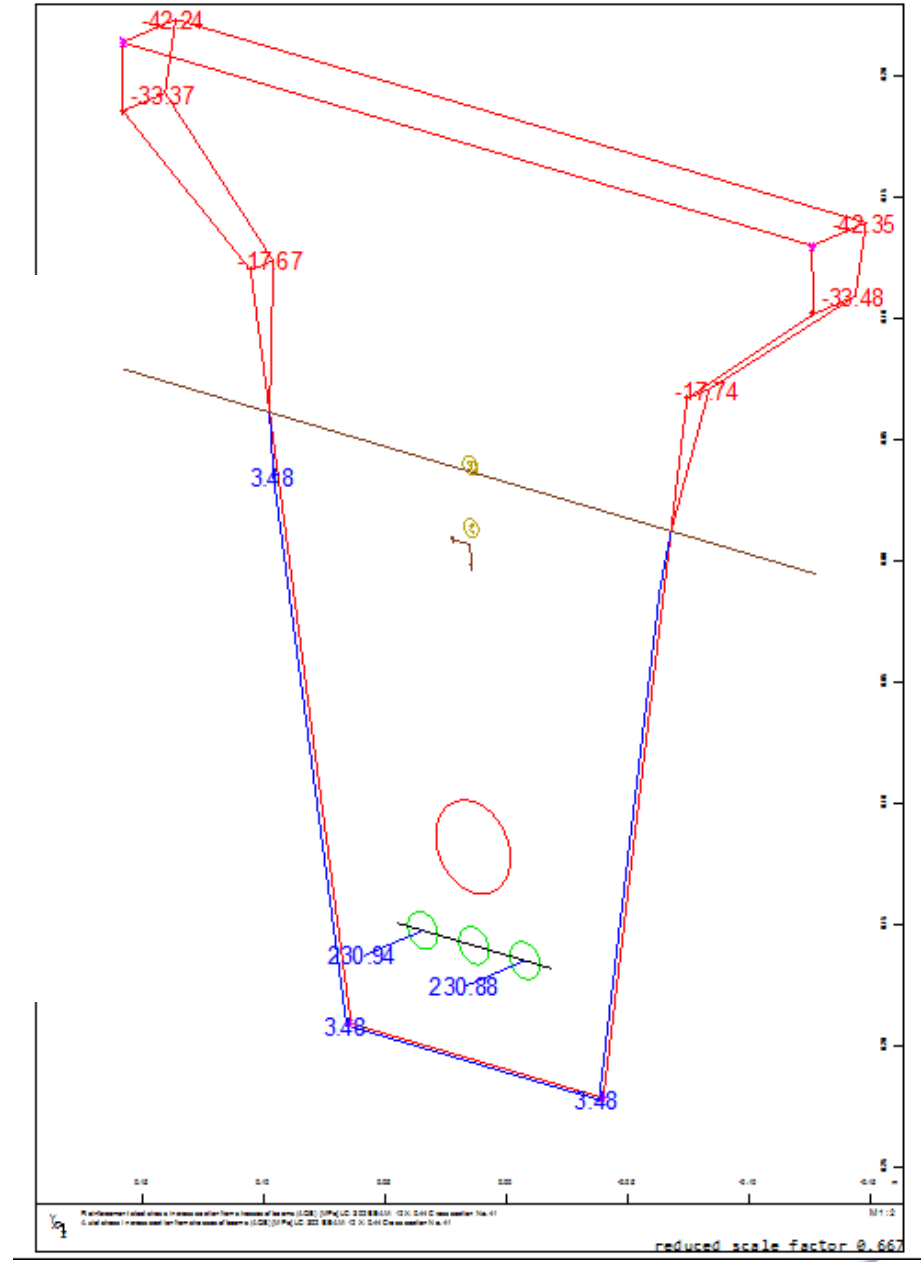
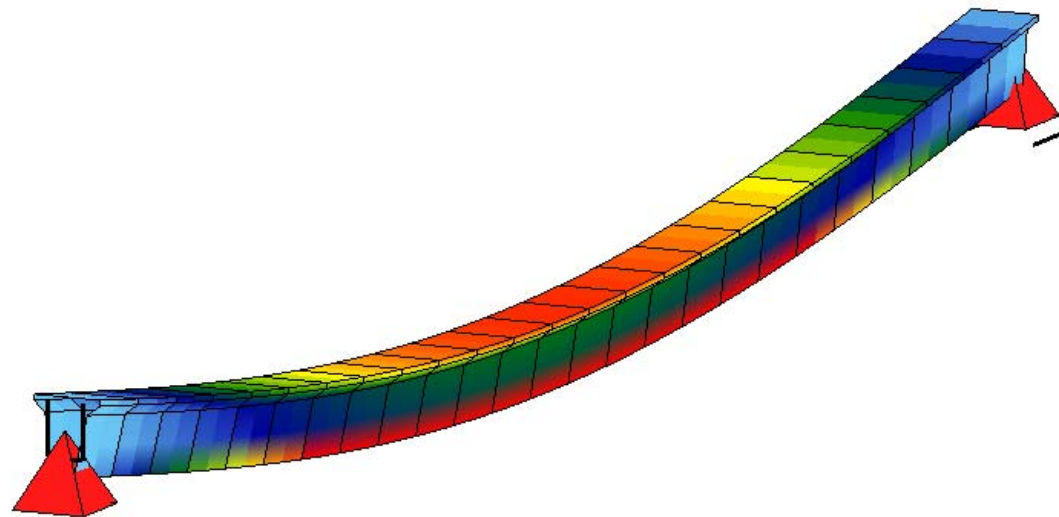


- 1- Matériau, quelques repères
- 2- Conception, quelques règles**
- 3- Etude de cas
- 4- Synthèse

	UHPFRC CALCULATION PROCESS / ROUGH SYNTHESIS					
	BENDING ELASTIC ANALYSIS	BENDING POST ELASTIC ANALYSIS	REBAR CONTRIBUTION	SHEAR ANALYSIS	DEFLECTION CONTROL	CRACK CONTROL ANALYSIS
UHPFRC FO	Average tensile bending stress with a safety factor of 3	Using stress crack width law	Depending on the design but this must remain local reinforcement	Considering fibers contribution	Calculation in a non cracked section With a specific material behavior law	Condition of non brittleness
UHPFRC FM	Following Code	Using stress crack width law	Following codes	Considering fibers contribution / section contribution / rebars contribution		

Conception, quelques règles

Etat d'équilibre après une analyse non linéaire



Calculation done with the software SOFISTIK AG

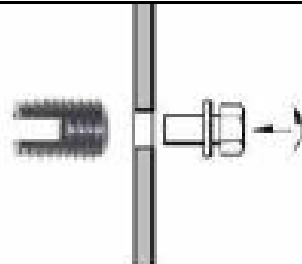
UHPFRC TECHNOLOGICAL KEY POINTS / ROUGH SYNTHESIS

	ENVIRONMENTAL CLASSES	MINIMUM THICKNESS AND WIDTH	PANEL DEAD WIEGHT TRANSFER	REBAR REINFORCEMENT	PANEL ANCHORAGE STRATEGY	HEAT TREATMENT
UHPFRC FO	If using reinforcing Ductal checking covering of rebar	30 mm (poured with no reinforcement) / 35mm (poured with reinforcement) / 15 mm (spraid) / fiber length limit	If possible consider isostatic transfer to the primary structure.	To be used rarely. Cracking risk analysis	Connection systems have to allow both for thermal expansion and fitting tolerane	Rarely used in everyday project
UHPFRC FM				Acceptable and justified solution		

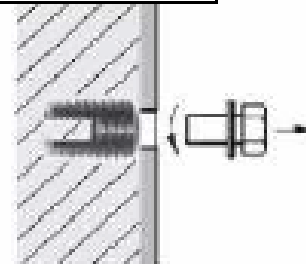
Conception, quelques règles



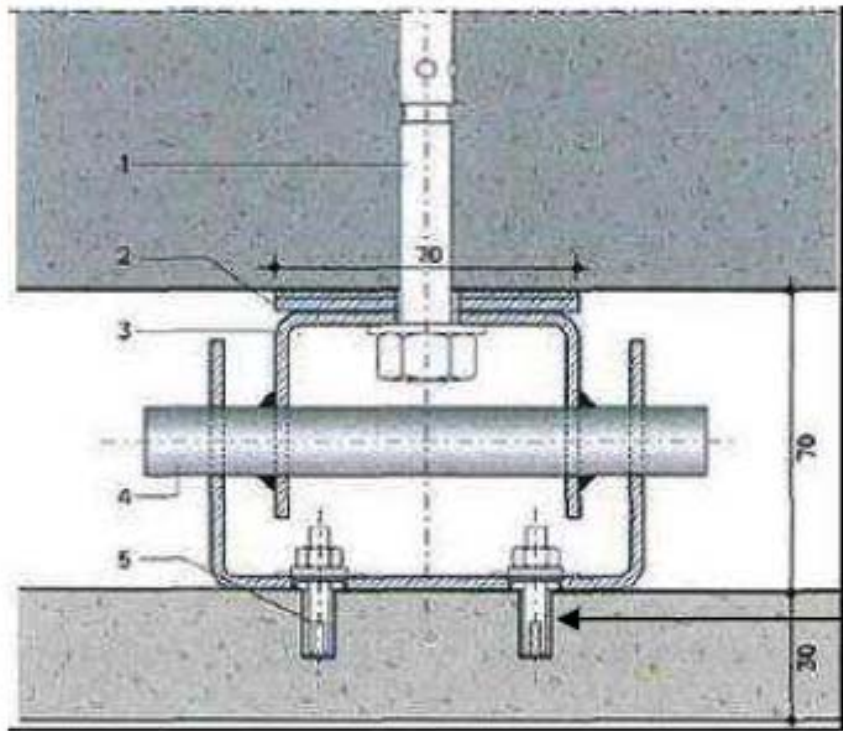
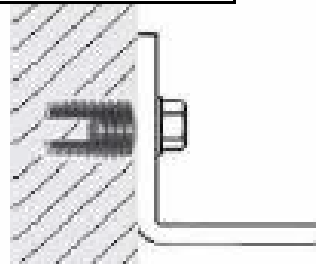
When put on the mold



Molding



Connection



Insert Keil



UHPFRC CONSTRUCTION PROCESS SPECIFICITIES / ROUGH SYNTHESIS						
	FORMWORK STRATEGY	HEAT TREATMENT	SHRINKAGE QUESTION	CONSTRUCTION STAGE ANTICIPATION	PREFABRICATION VERSUS PULLED ON SITE	UNEXPECTED EVENTS
UHPFRC FO	Complexity of the molds / number and repetition of the molds	Rarely used in everyday projects / depending of the dimension and contract of capacity	0.8 mm/m. Almost all the shrinkage at the beginning	The anchorage used for construction stage must be different. The construction step must be checked with the contractor	Only prefabrication.	Deflexion during molded process / unexpected cracking near reinforcement
UHPFRC FM			0.5 mm/m. Almost all the shrinkage at the beginning			Prefabrication and pulled on site for specific structural element

Conception, quelques règles

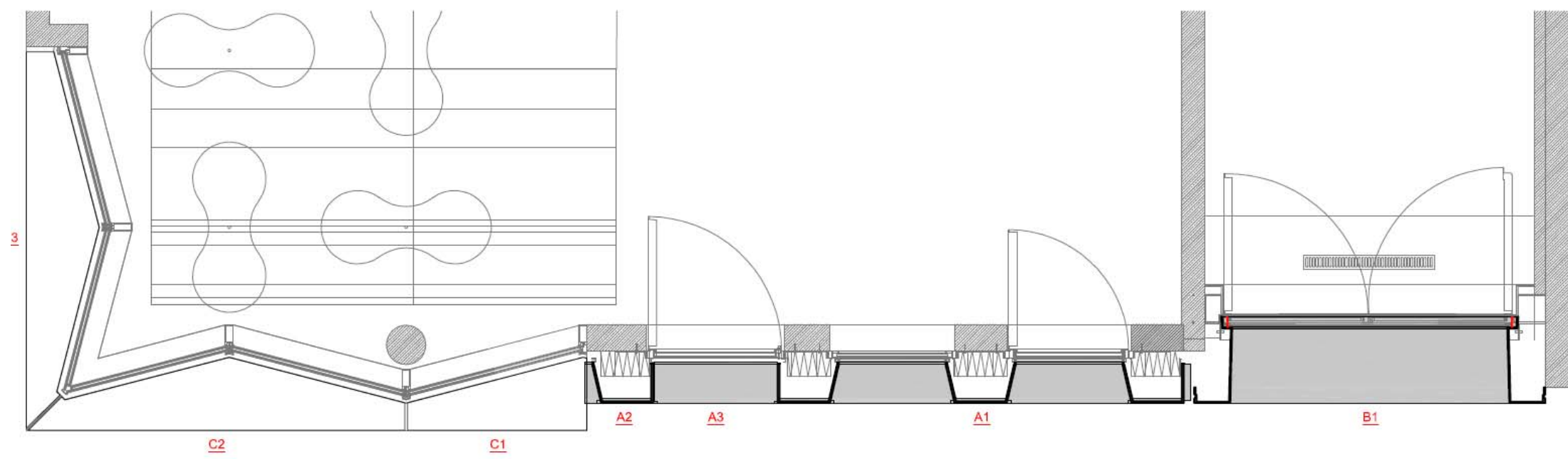
Ductal projeté ® / EDF Orsay



Conception, quelques règles

Ductal projeté ® / EDF Orsay





- 1- Matériau, quelques repères
- 2- Conception, quelques règles
- 3- Etude de cas**
- 4- Synthèse



THORP PRECAST DUCTAL FO PANELS

Localization : Gasholder triplets King's Cross, London

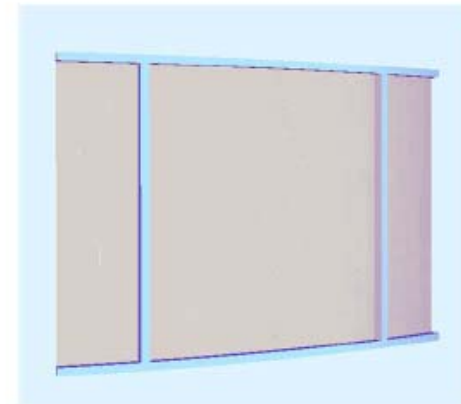
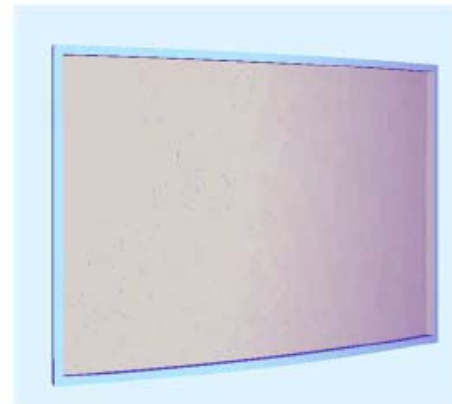
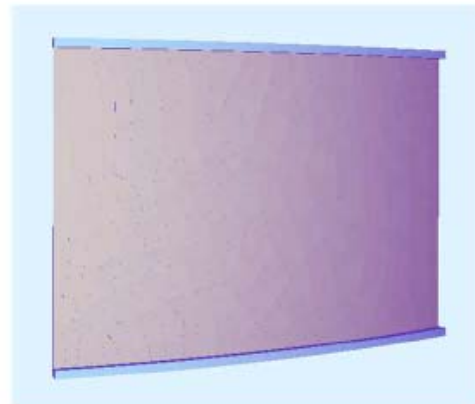
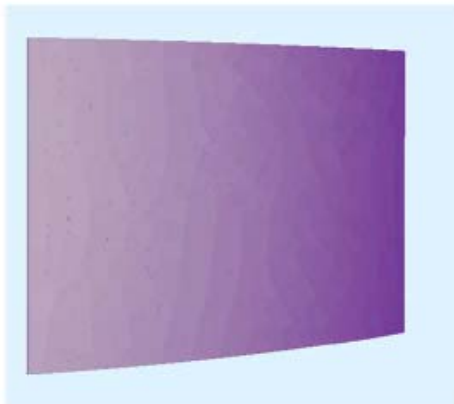
Building typology : R+10

Dimensions of the panels : 3973x3205mm

Function : Façade panels

UHPFRC : Ductal® FO

Design hypothesis _ Preliminary design analysis

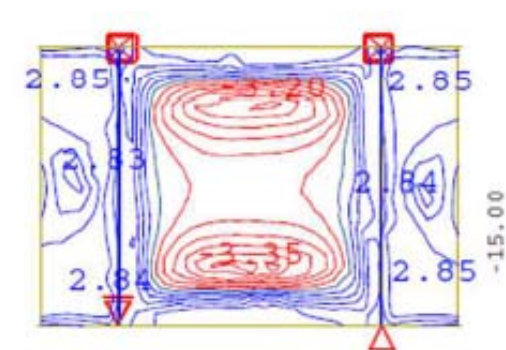
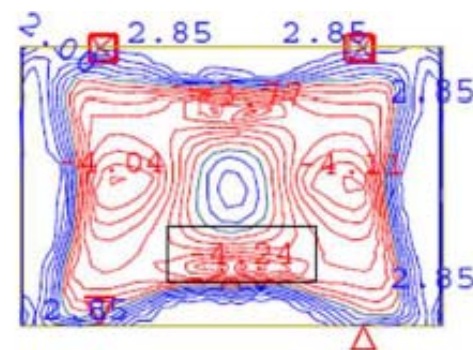
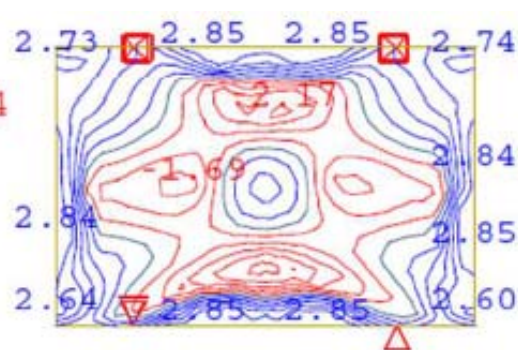
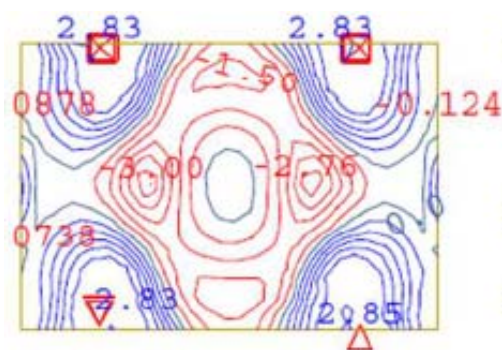
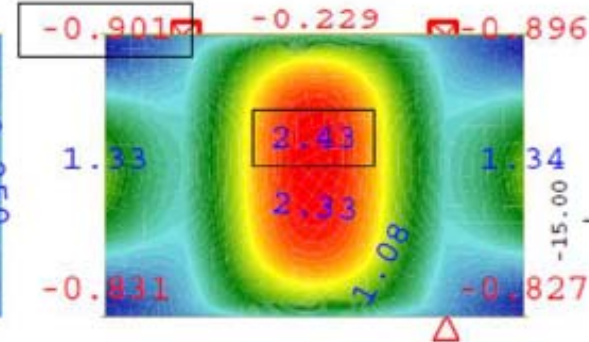
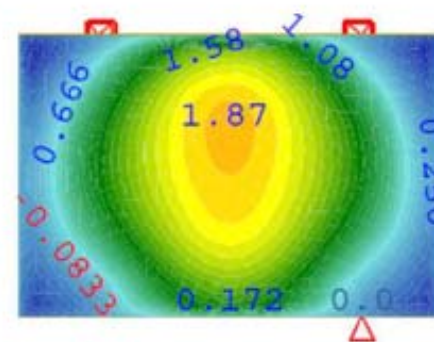
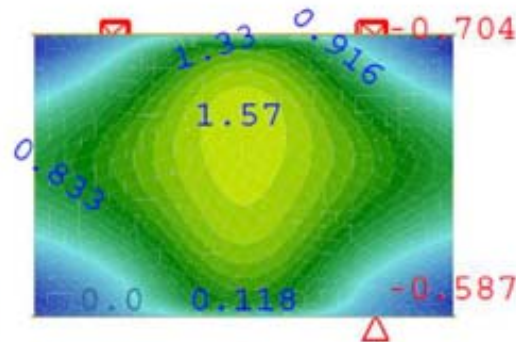
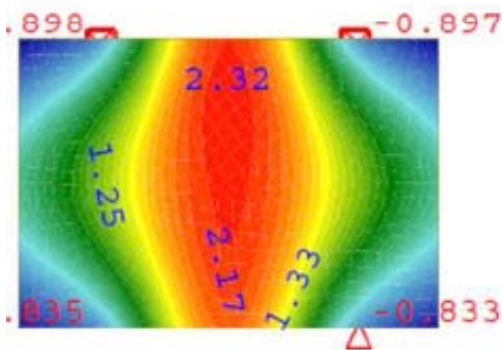


Option 1 : Simple panel

Option 2 : Panel with horizontal ribbon

Option 3 : Panel with peripheral frame

Option 4 : Panel with intermediate stiffeners



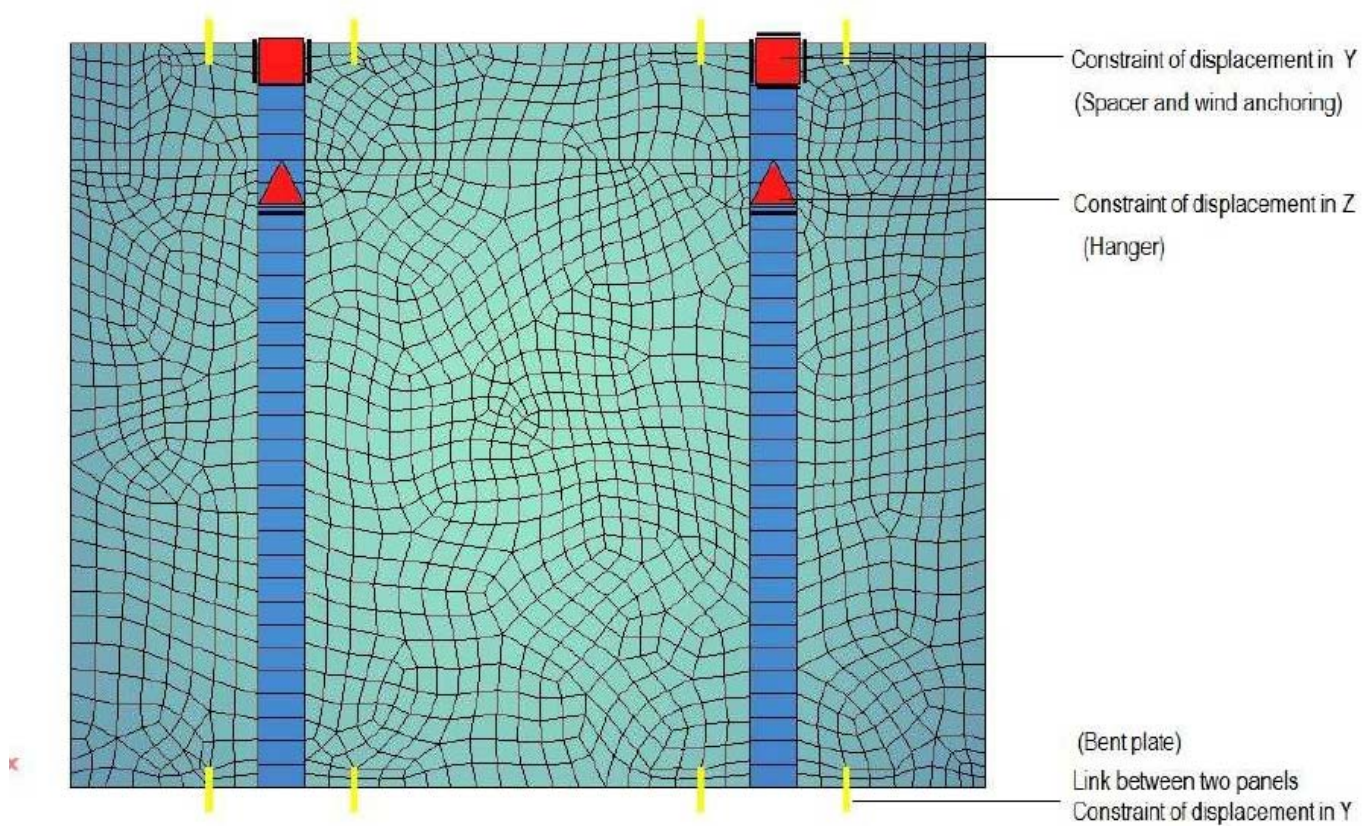
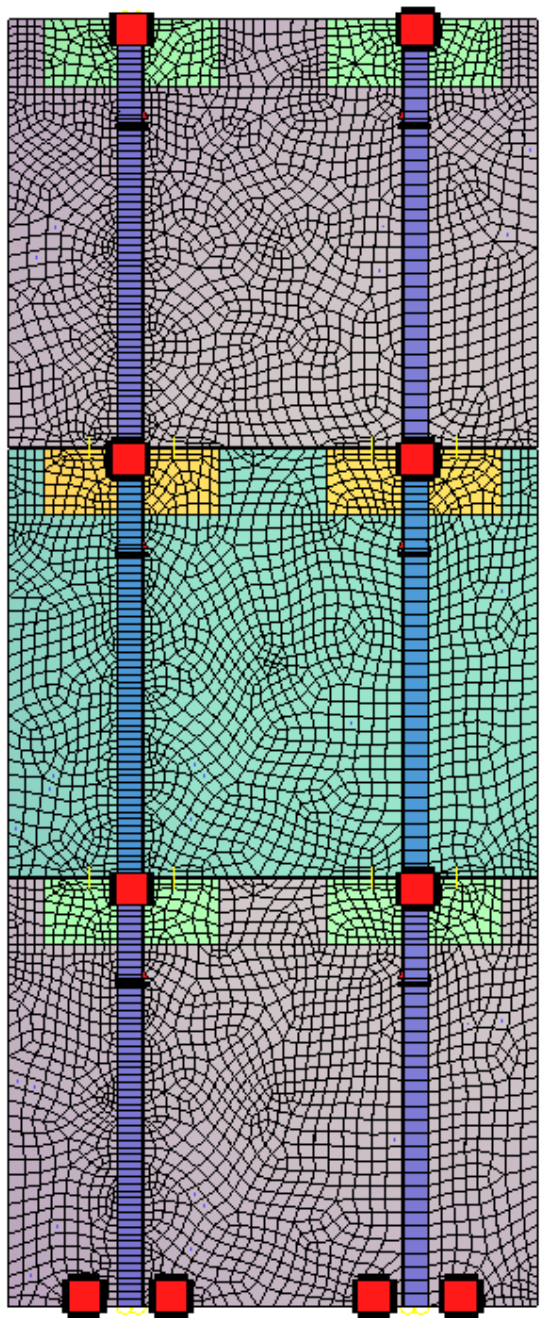
Option 1

Option 2

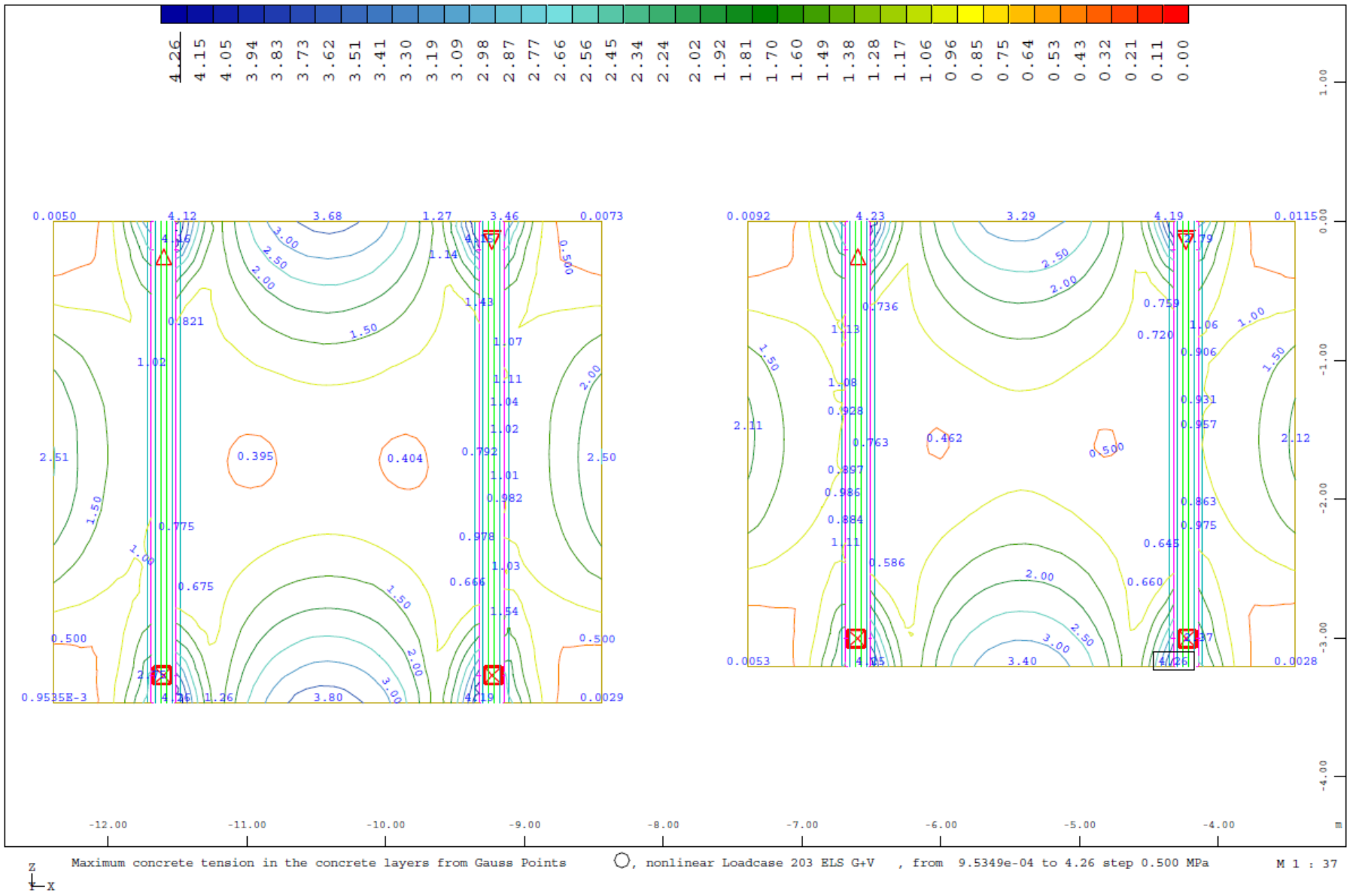
Option 3

Option 4

Design hypothesis _ Static Scheme

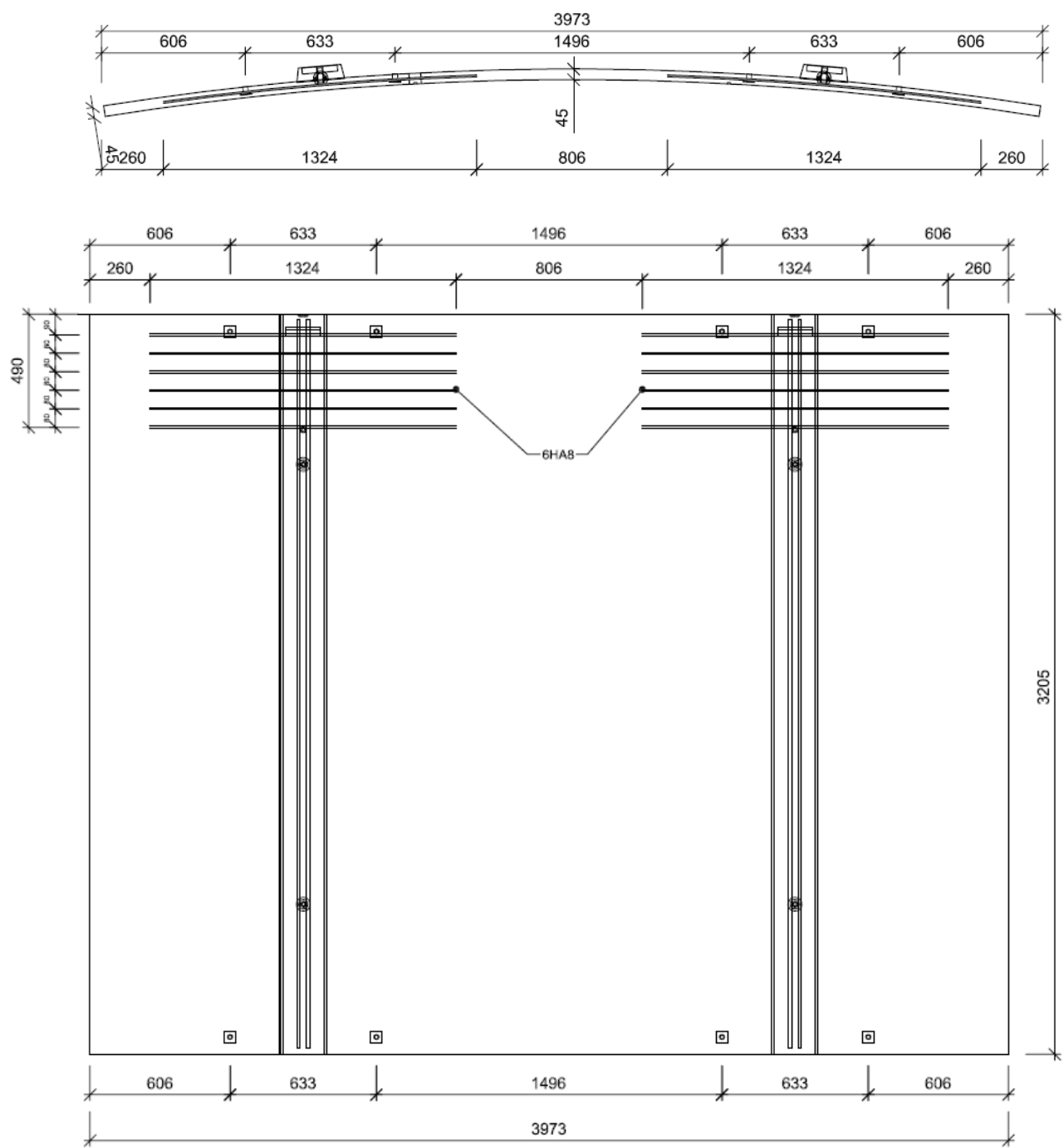


Design hypothesis _ Static Schema

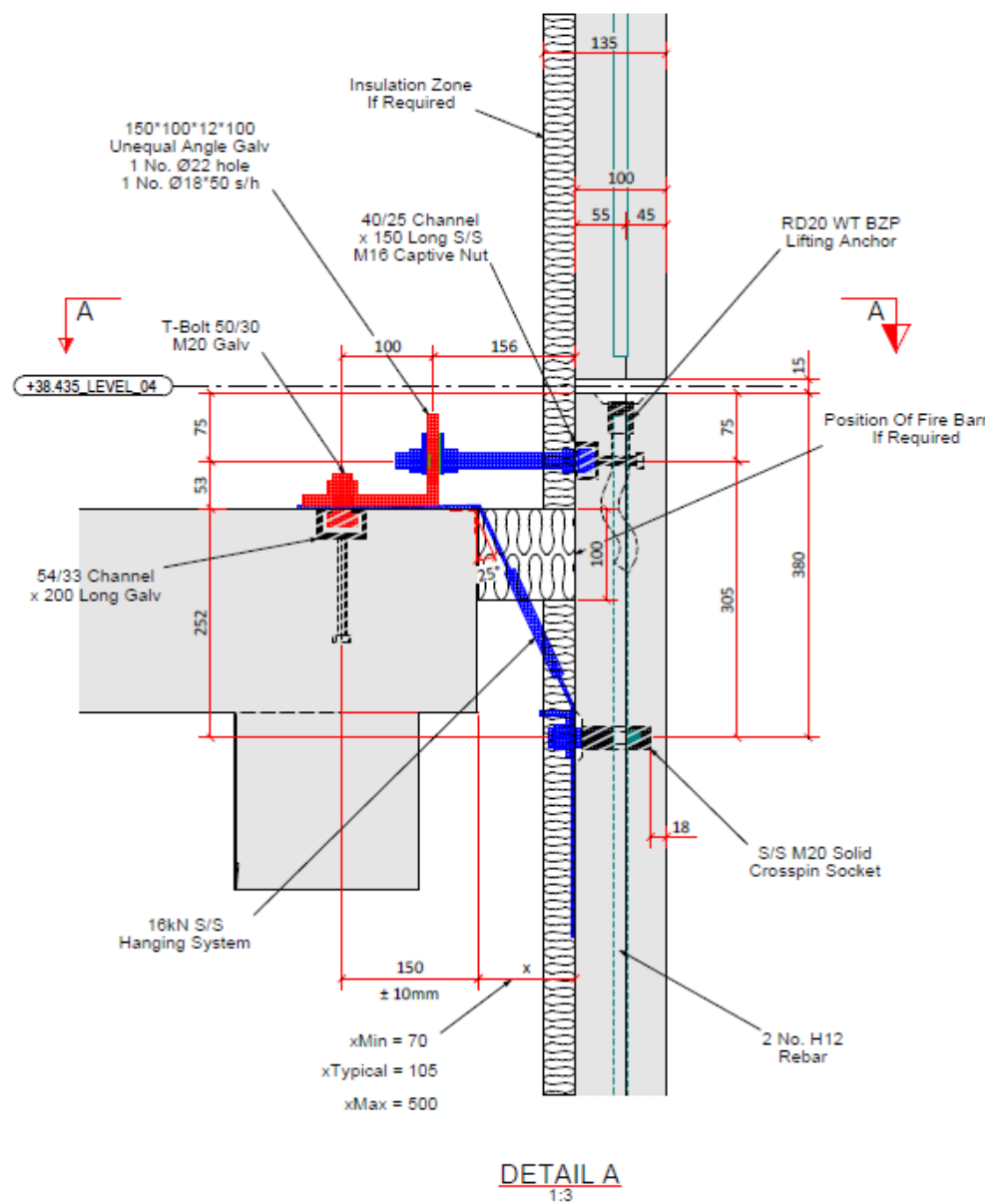


Maximum tensile stress for Ductal NaW3 FO under the combinaison SLS G+W non - linear anlysis
 Tensile stress is limited to 4.3MPa
 Representation : ISO-LINE

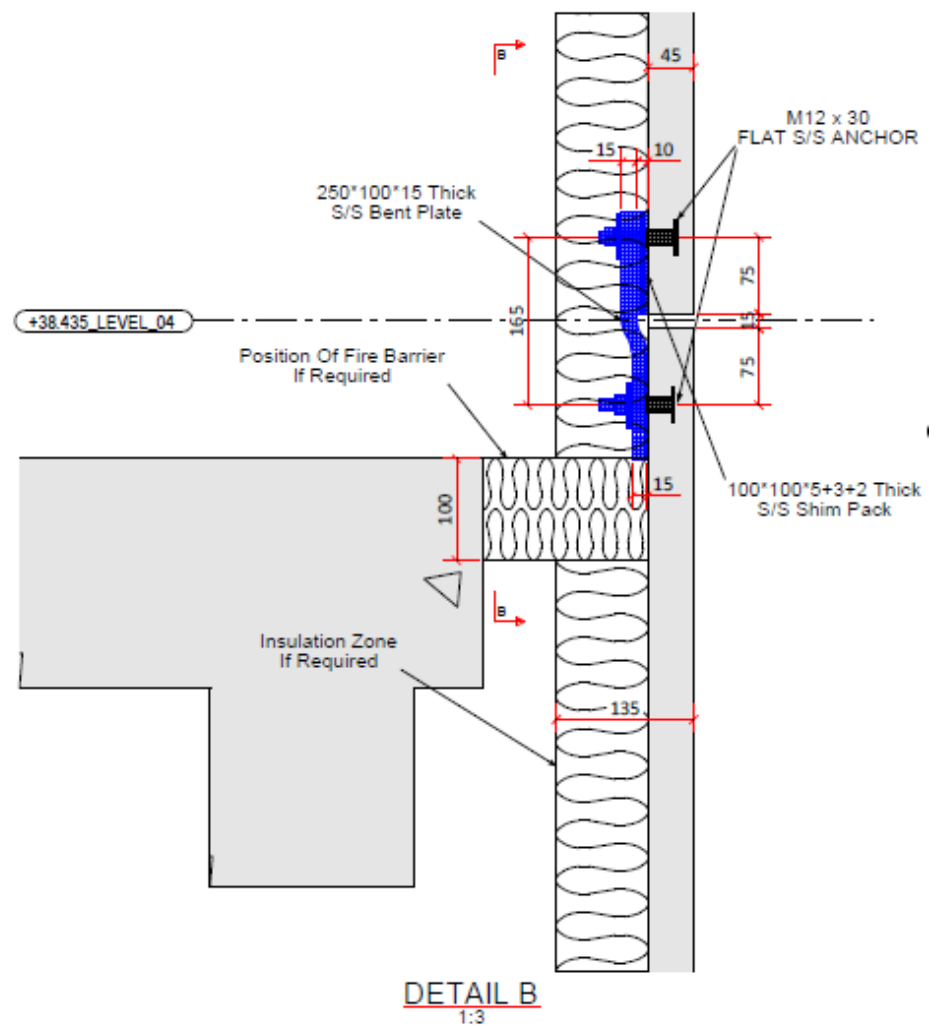
Design hypothesis _ Static Schema



Anchorage details



Hanger, spacing and wind anchoring



Thorp contractor drawings

Bent plate

Construction process analysis



Option 1



Option 2



Option 3



Option 4



Painel Para Fachada Sao Paulo/Brasil

Localization : Sao Paulo, Bresil

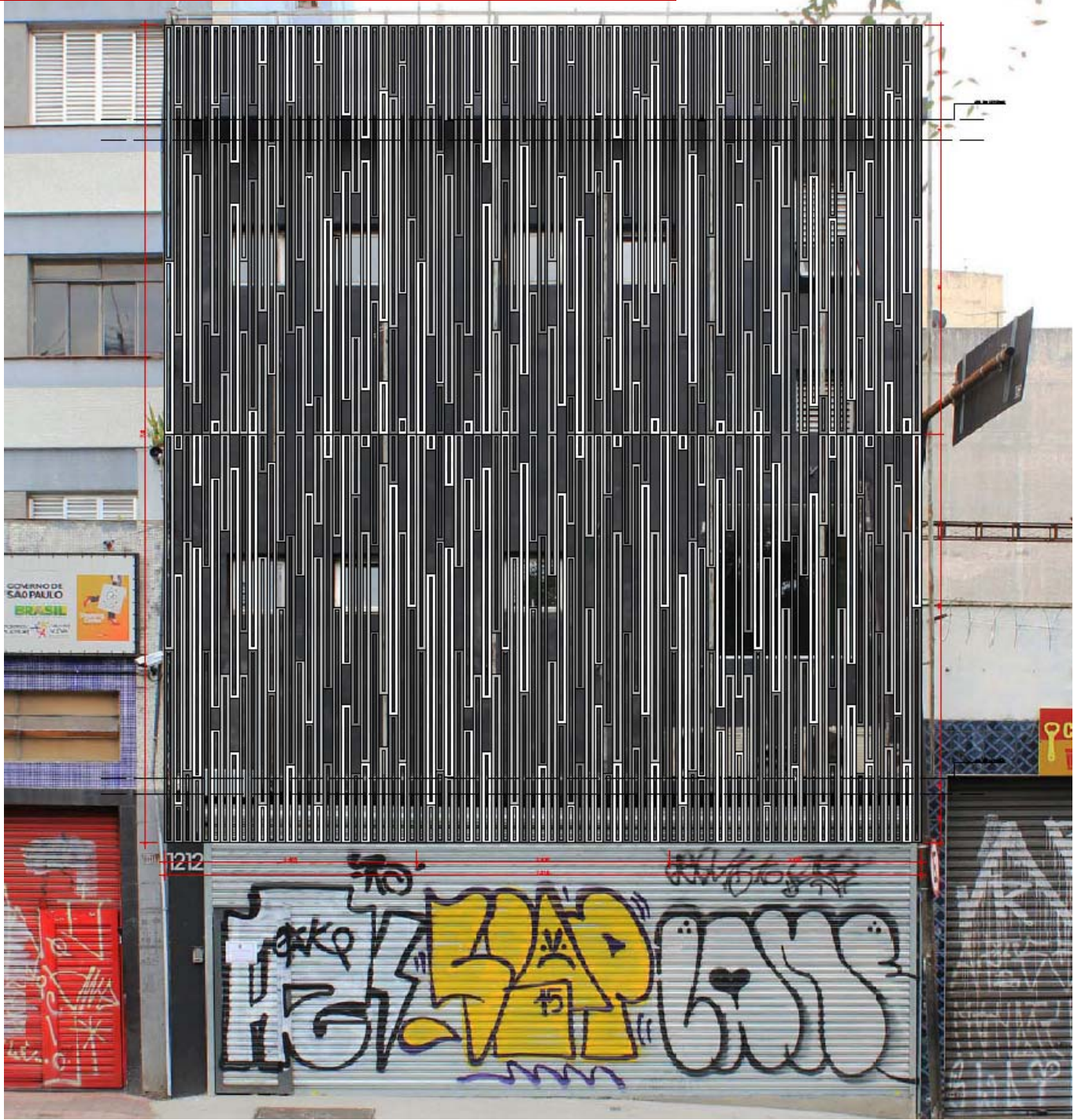
Building typology :

Number of panels : 6 (3900x2405mm²)

Function : Sunscreen in front of a curtain wall

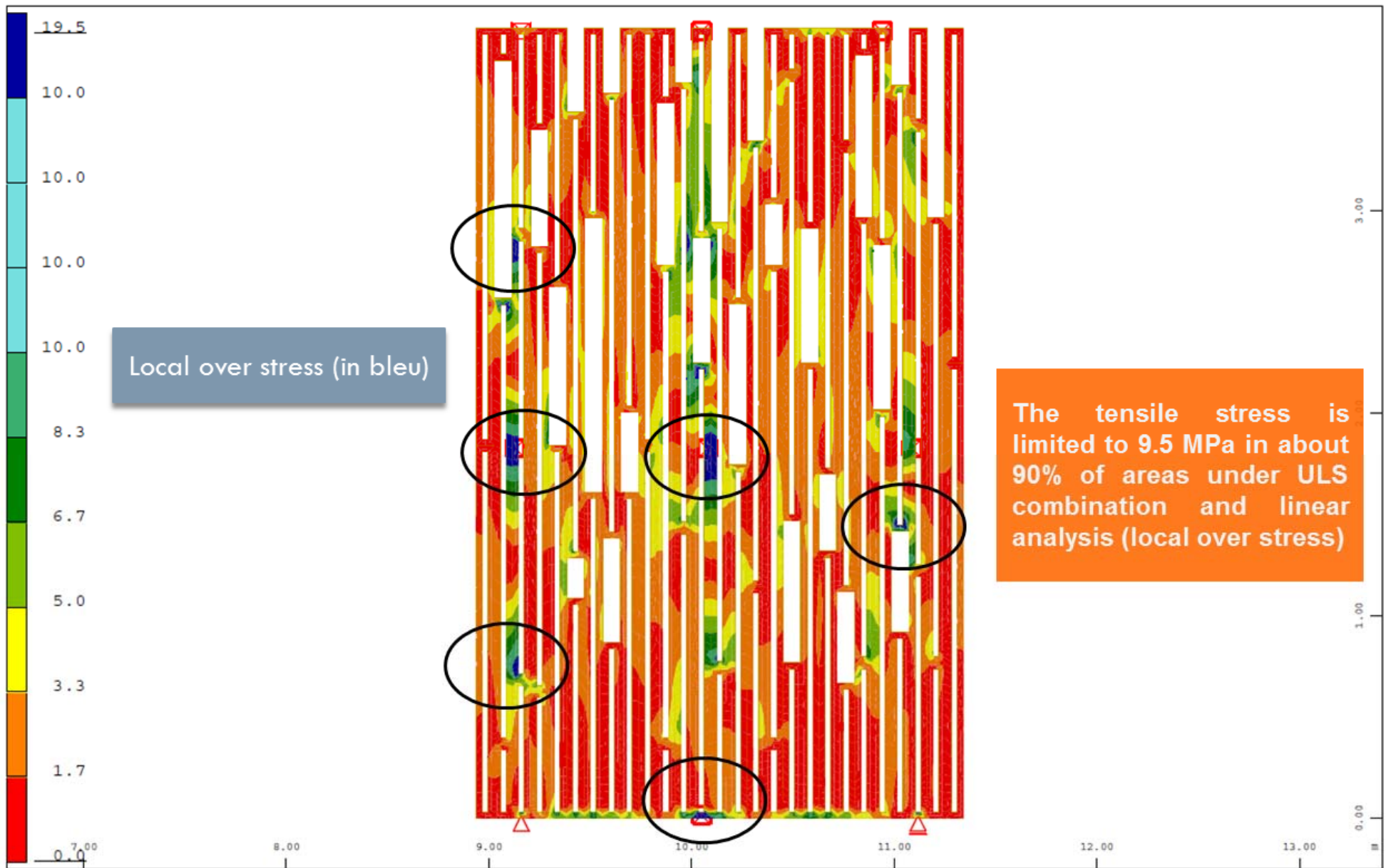
UHPFRC : Ductal® NaG3 FM STT

Design hypothesis _ Geometry



Design hypothesis			Analysis			Classification
	PANEL	STEEL SUPPORT	Maximum tensile stress / ULS linear analysis (max 9,5 Mpa)	Displacement / SLS linear analysis	Comments	Efficiency
HYP 1	Initial Panel design with a thickness varying between 2/3/4 cm	3 Columns / vertical hollow sections with 12 supports	over 100MPa	20mm	The solution is not efficient	4
HYP 2	Initial Panel design with a constant thickness of 6,5 cm	3 Columns / vertical hollow sections with 9 supports	90% under 9.5MPa	2.4mm	Local reinforcement are necessary	3
HYP 3	Initial Panel design with a thickness varying between 2/3/4 cm	4 linear supports built with steel hollow sections	under 9.5MPa	0.9mm	The stress are acceptable but complex to be built	1
HYP 4	Initial Panel design with a thickness varying between 4/5/6 cm	3 Columns / vertical hollow sections with 9 supports	80% under 9.5MPa	7.6mm	Local reinforcement are necessary	2

Design hypothesis _ Optimisation

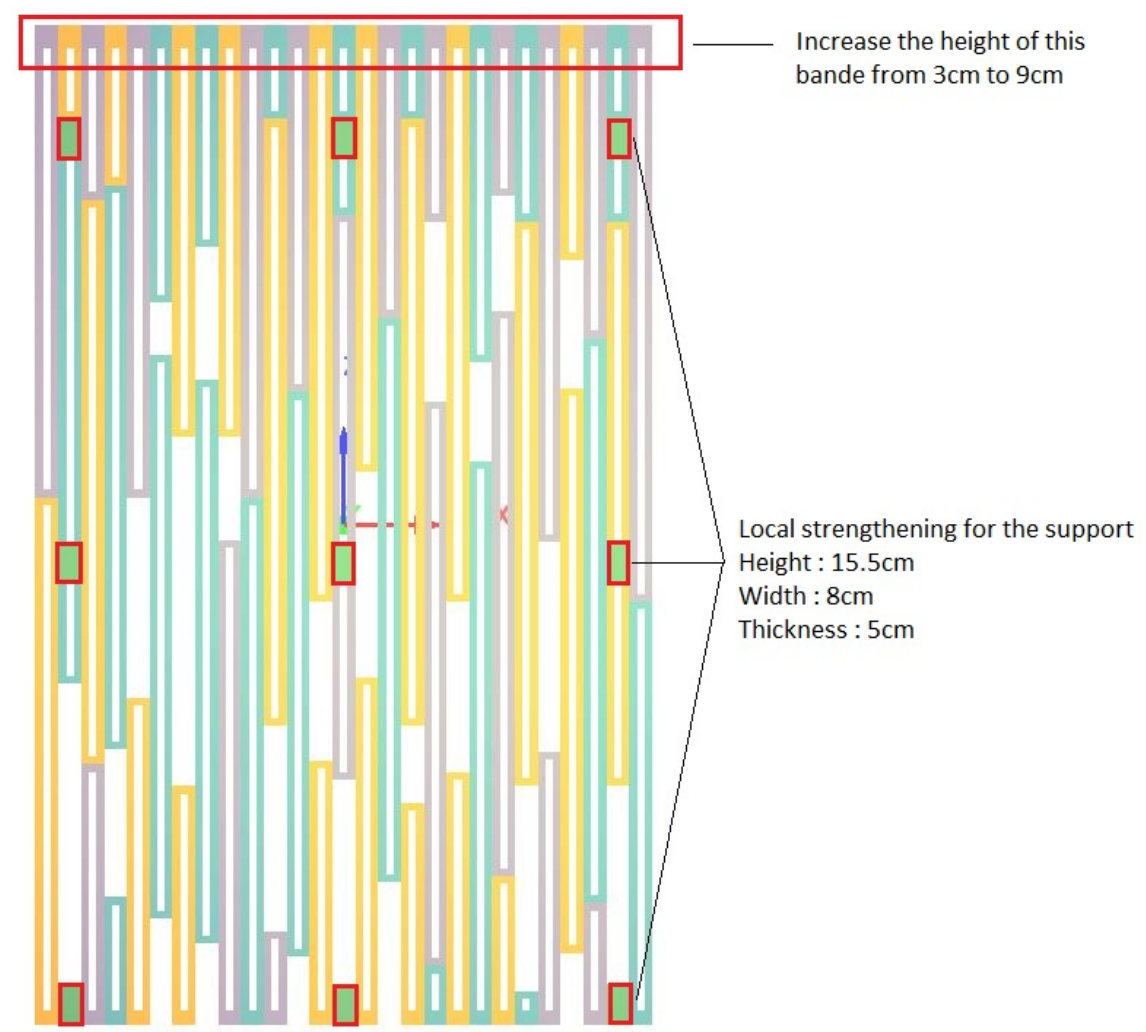
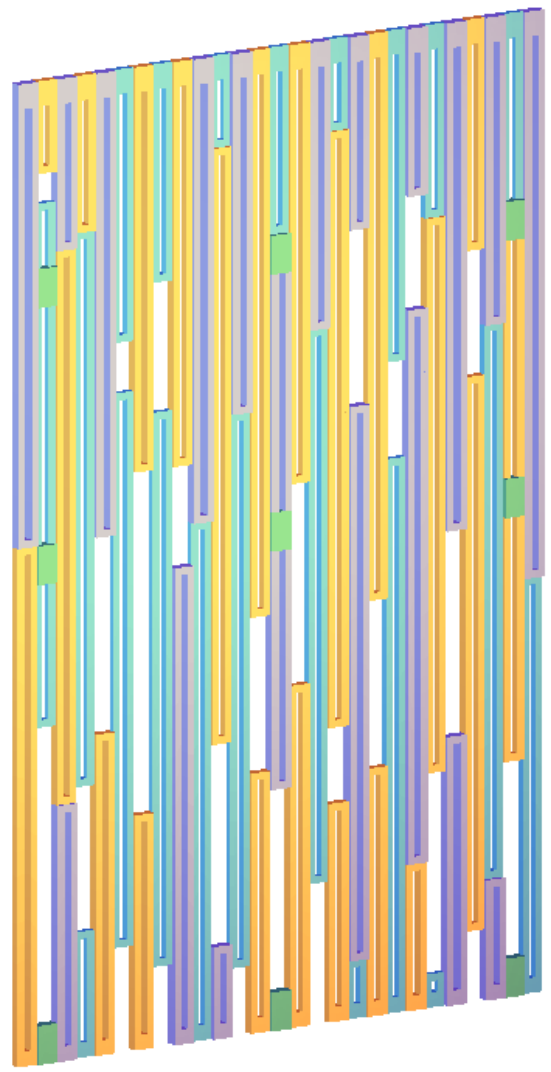


Local over stress (in bleu)

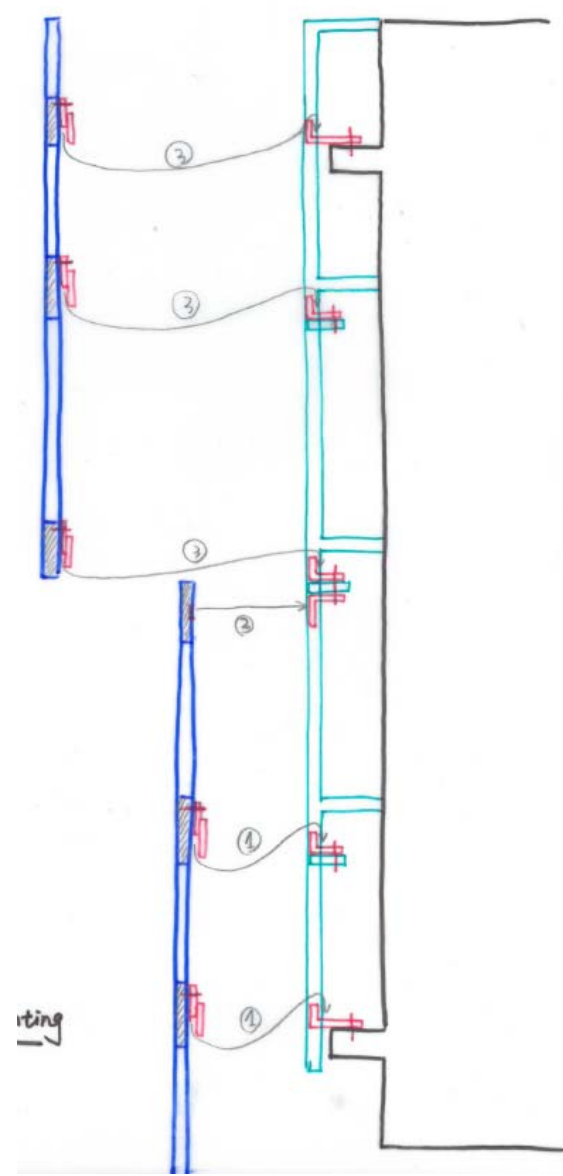
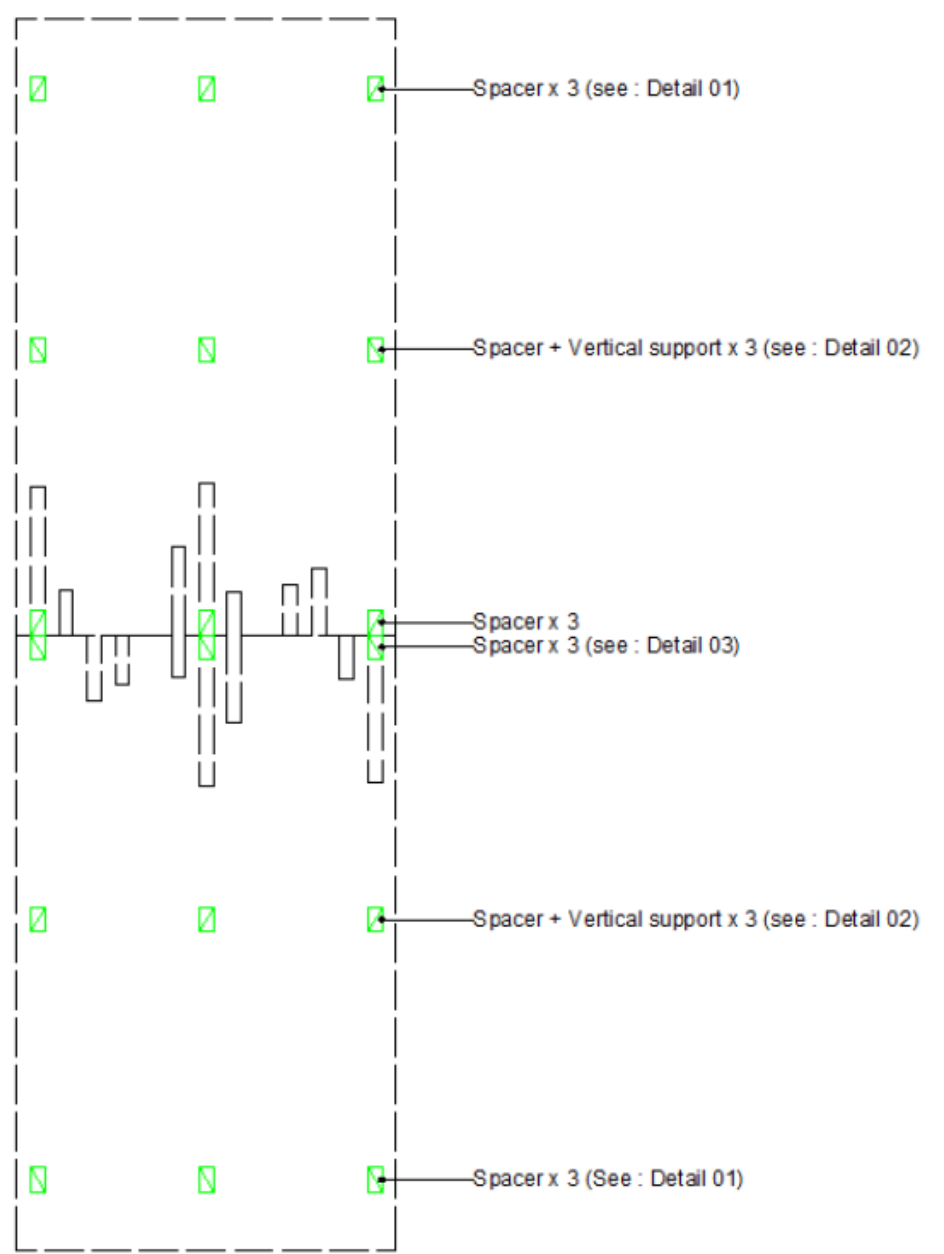
The tensile stress is limited to 9.5 MPa in about 90% of areas under ULS combination and linear analysis (local over stress)

Maximum principal tension stress from middle of element, Loadcase 402 ELU 1.35*G+1.5*V, from 1.1664e-05 to 19.5 step
1.1664e-05, 1.67, 3.33, 5.00, 6.67, 8.33, 10.0, 10.0, 10.0, 10.0, 19.5 MPa

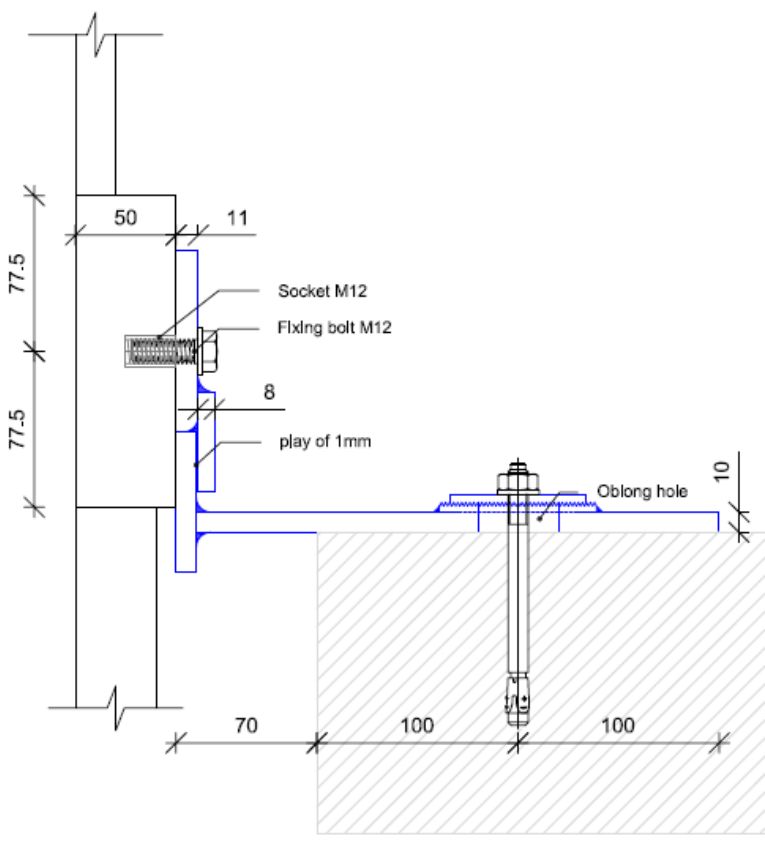
Design hypothesis _Optimisation



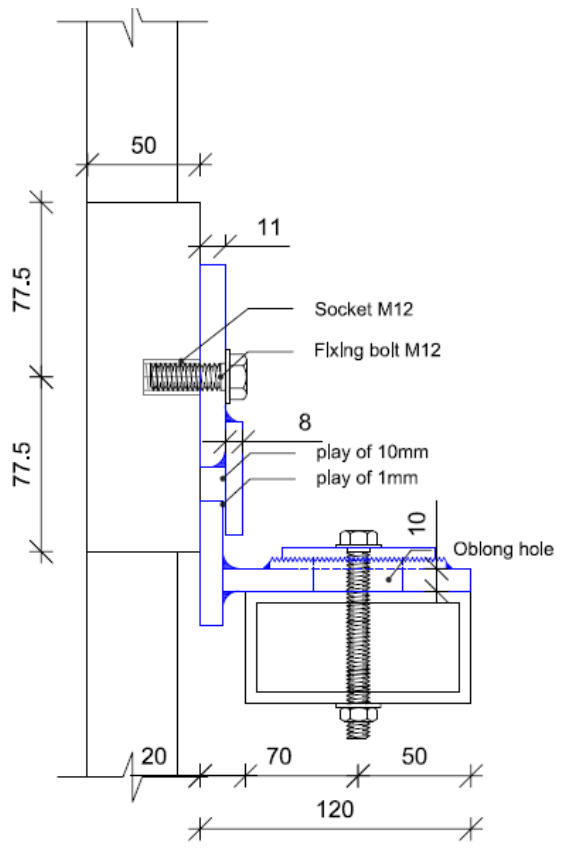
Construction process analysis



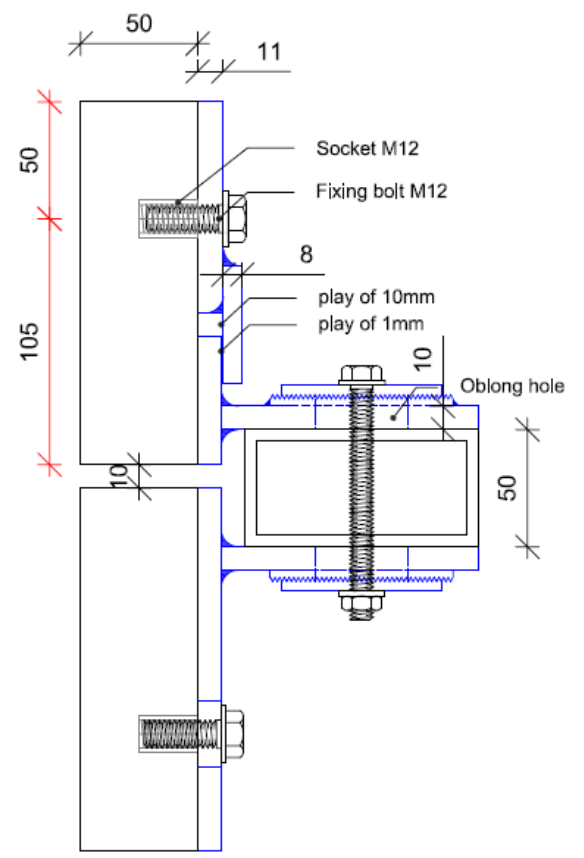
Vertical, horizontal and lateral ajustements



Detail 01 Spacer + Vertical support



Detail 02 Spacer



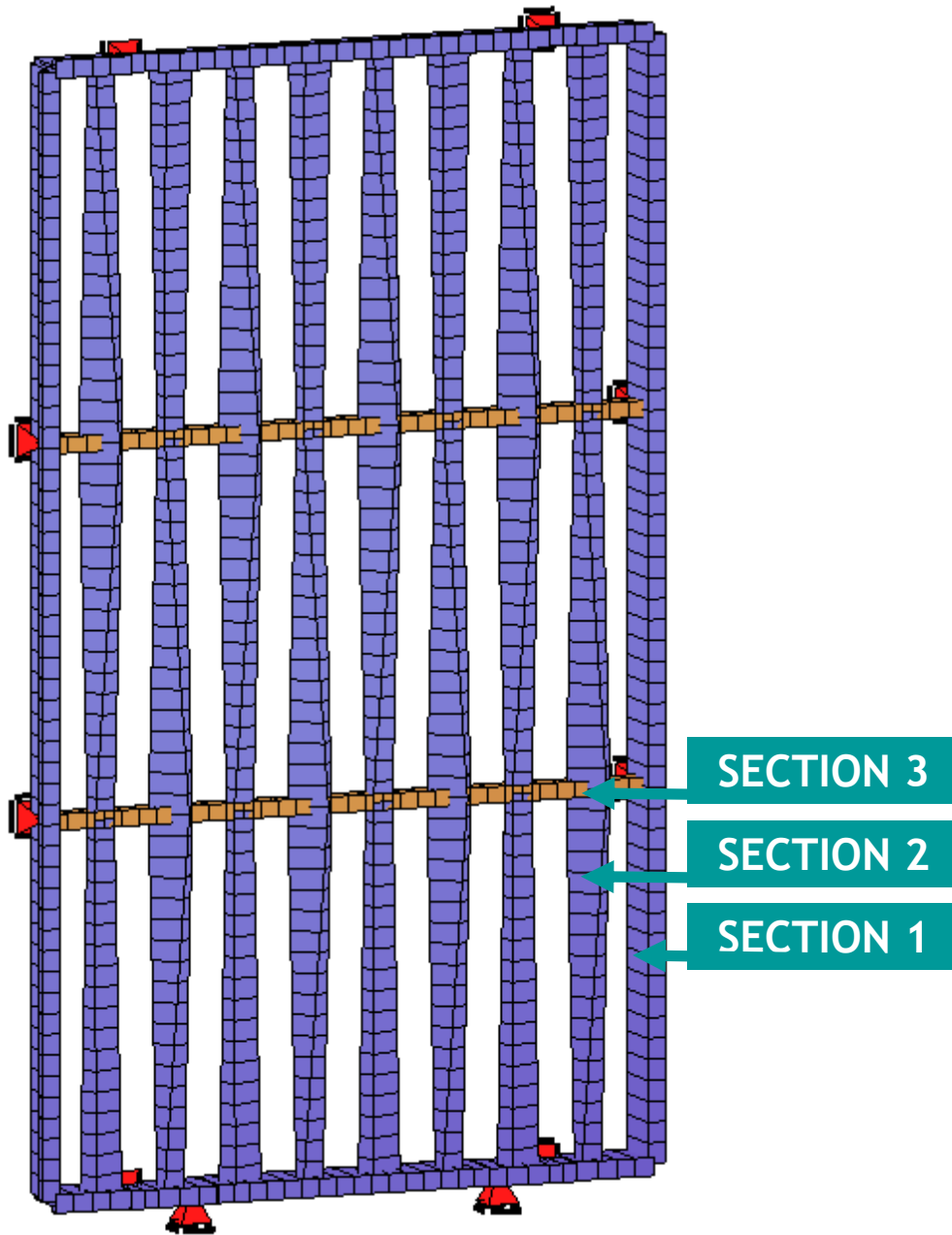
Detail 03/04 Spacer



SHENZHEN UPPER HILL PANELS

Localization : Shenzhen Upper Hill
Building typology : Office
Number of panels : 2000m²
Function : Sunscreen in front of a curtain wall
UHPFRC : Ductal® NaW3 FO STT





PARTICULARITIES OF PANEL

Height 2.8m

Width 1.5m

Peripheral frame SECTION 1
L 140mm x 45mm x 20mm

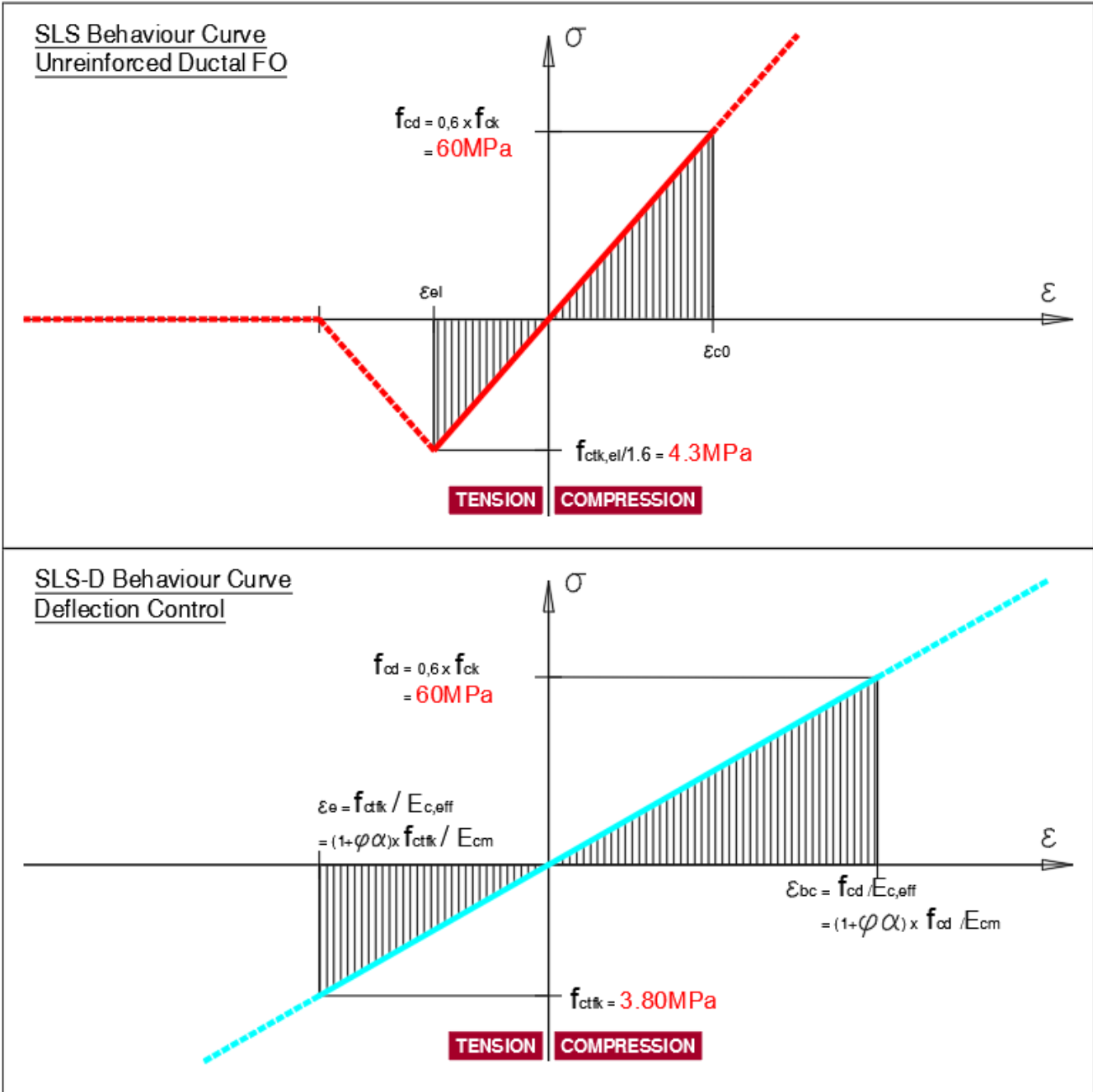
Twisted shape of jamb SECTION 2
Rectangular 100mm x 50mm
Square 50mm x 50mm

SECTION 3

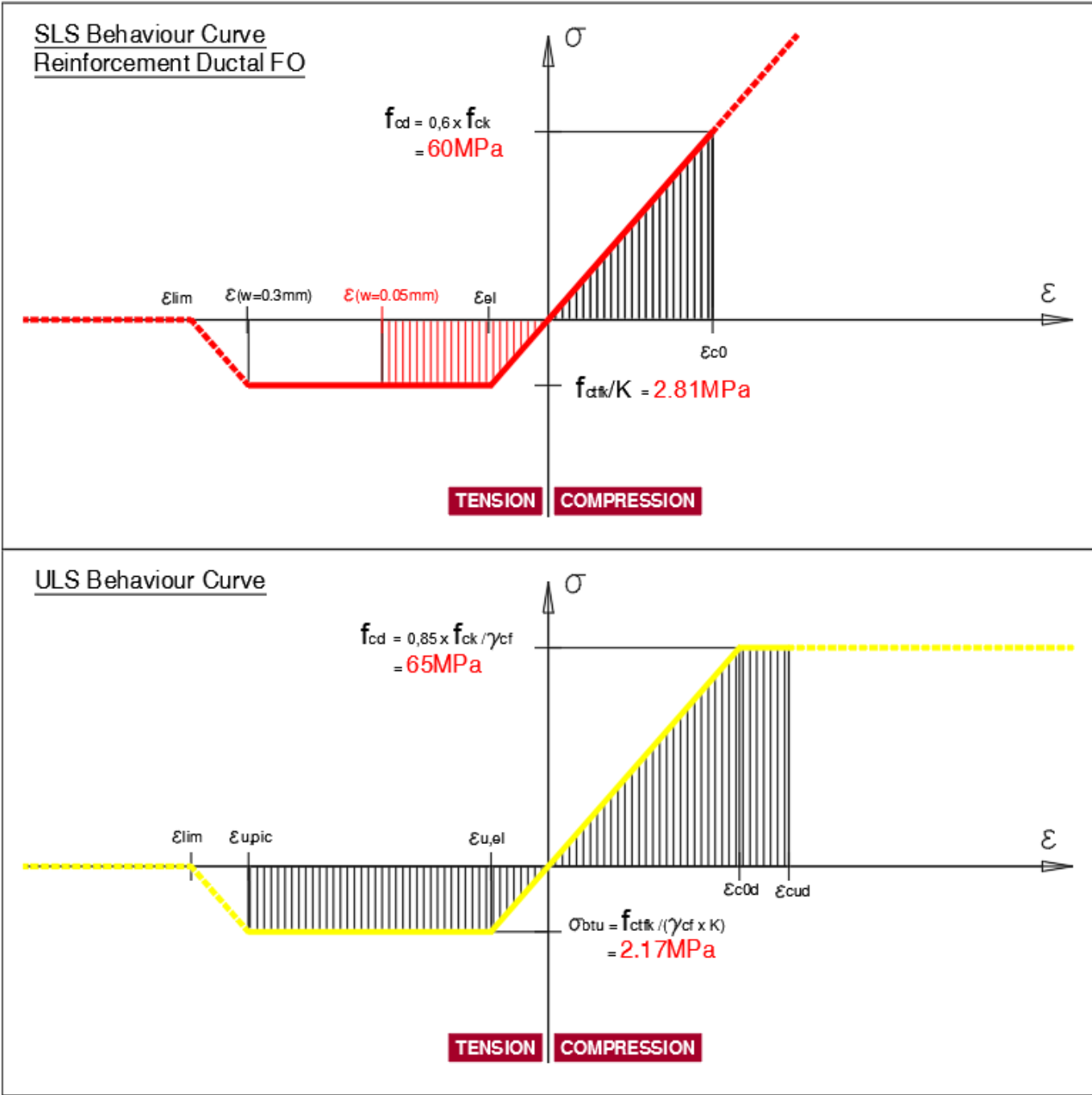
SECTION 2

SECTION 1

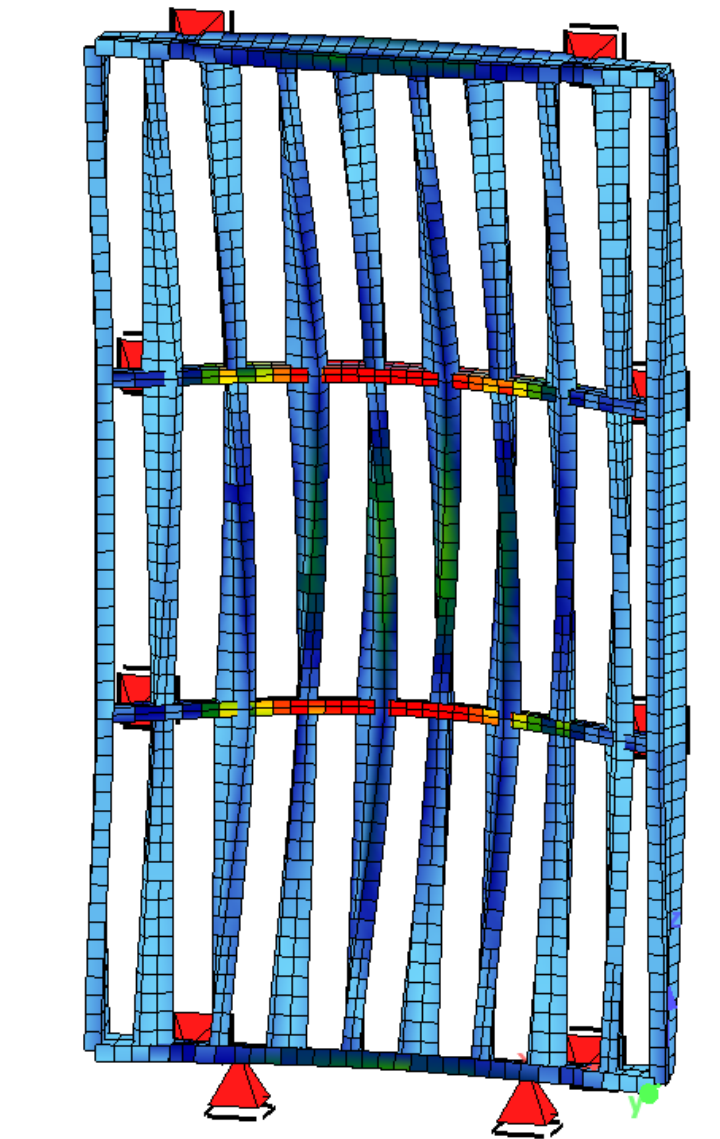
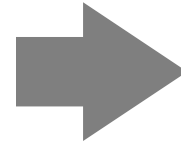
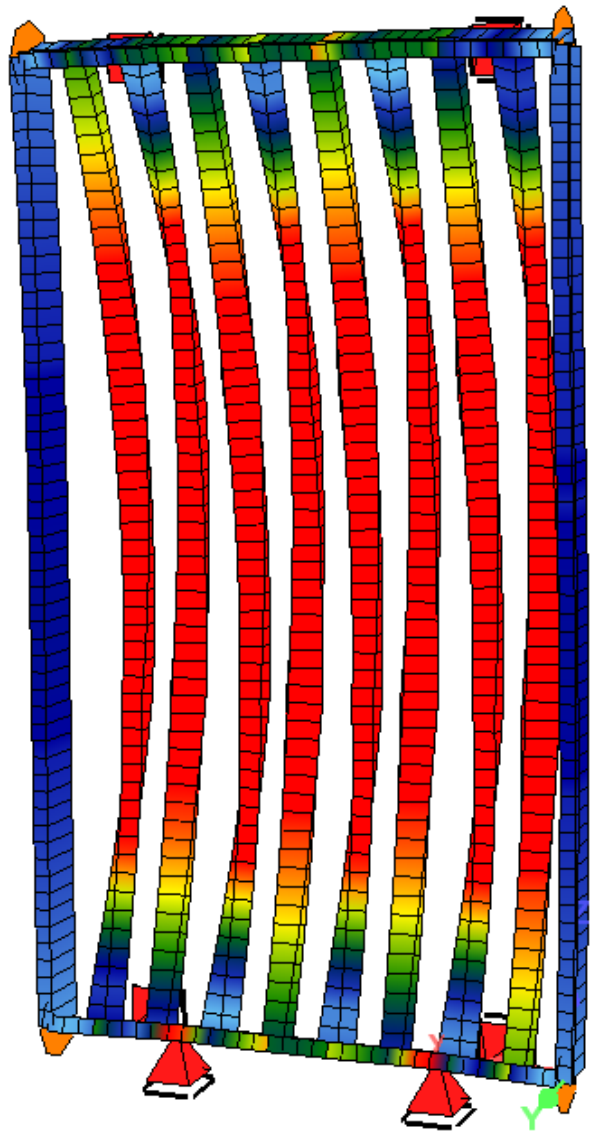
Intermediary horizontal ribbon SECTION 3
Rectangular 50mm x 50mm with rebar HA10



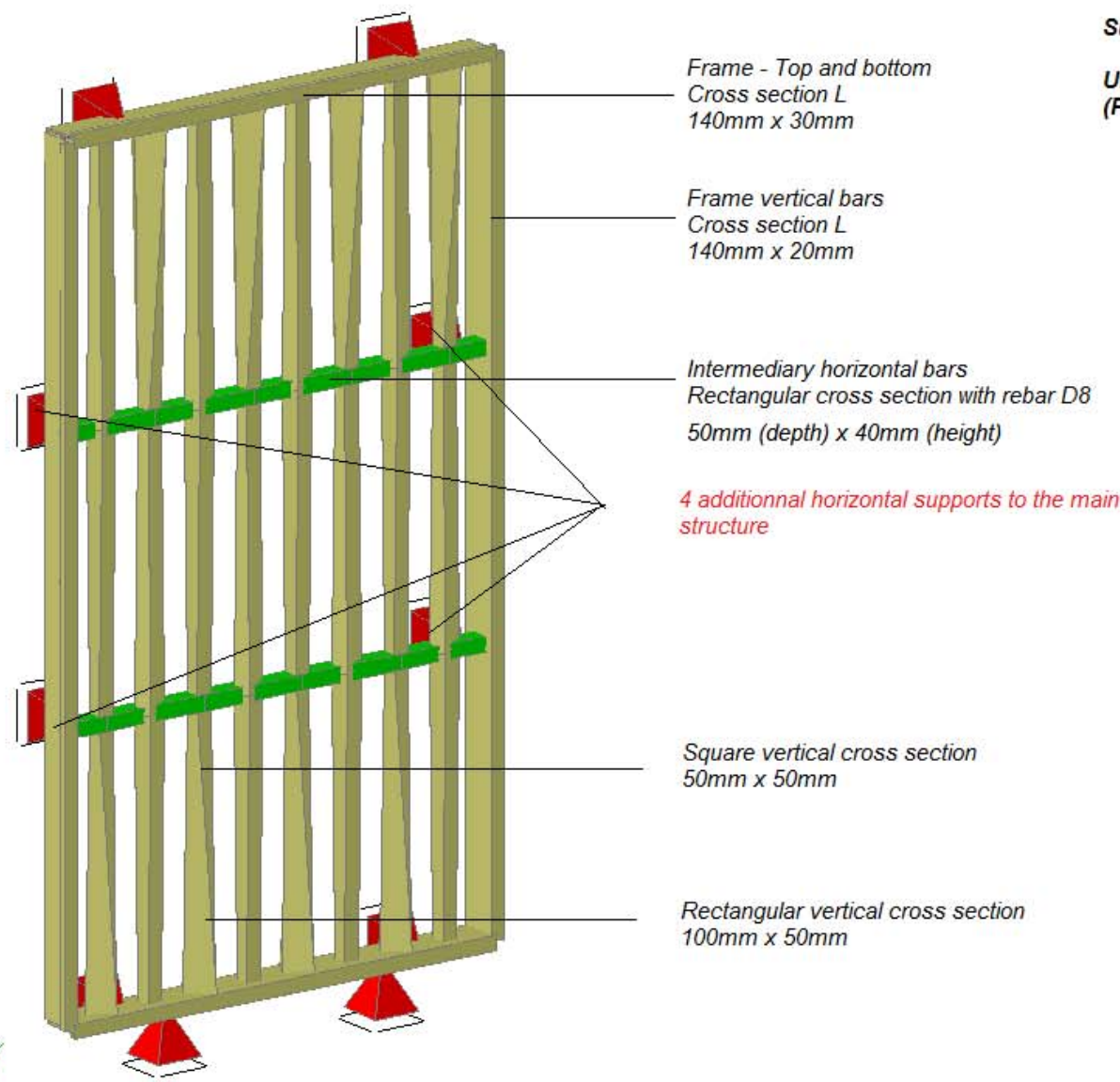
Design hypothesis _ Material_ULS



Design hypothesis _ Static Scheme

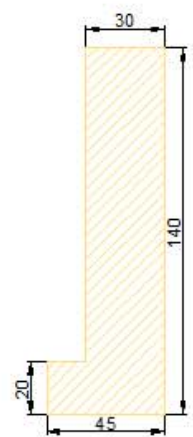


Design hypothesis _ Static Scheme

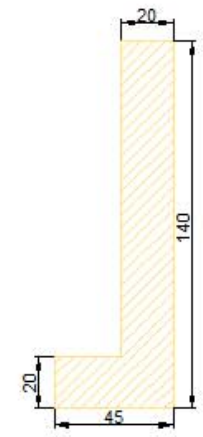


Sud facade Wind Load 2.6kN/m²

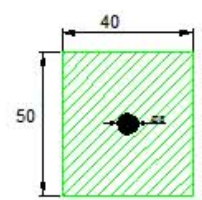
Unreinforced Ductal NaW3 FO
(Partially reinforced on horizontal bars)



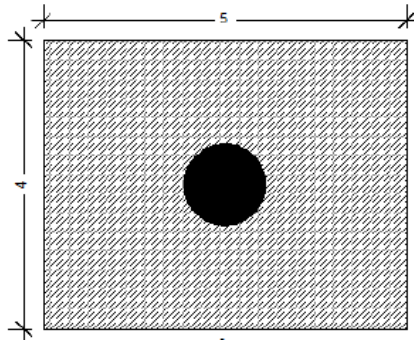
Cross section L
Top and bottom



Cross section L
Frame vertical bars



Cross section
Intermediary horizontal bars



Cross-section 40mm x 50mm

with reinforcement rebar HA10 (positioned at the center of gravity)

REQUIREMENTS FOR DURABILITY

Requirements for durability

- Environmental conditions

Exposure classes following French regulations: **XC1**

- Concrete cover = 15 mm (NF P18-710 §4.4)

Tableau 4.203 - Valeurs de l'enrobage minimal $C_{min,dur}$ requis vis-à-vis de la durabilité dans le cas des armatures de précontrainte

Exigence environnementale pour $C_{min,dur}$ (mm)							
Classe structurale	Classe d'exposition suivant le tableau 4.1						
	X0	XC1	XC2/XC3	XC4	XD1/XS1	XD2/XS2	XD3/XS3
S1		5	10	15	15	20	20
S2		10	15	15	20	20	20
S3		10	15	20	20	20	25
S4		15	20	20	20	25	25
S5		15	20	20	25	25	30
S6		20	20	25	25	30	30

Extract for the minimum concrete cover of NF P18-710[2.2]

Stress limitation

Non-reinforced Ductal FO

- Compressive stress $\leq 0.6 f_{ck} = 60\text{MPa}$
- Tensile stress $\leq f_{ctk,el}/1.6 = 4.3\text{MPa}$

Reinforced Ductal FO

- Compressive stress $\leq 0.6 f_{ck} = 60\text{MPa}$
- The opening of cracks is controlled by limiting the stress in the reinforcement

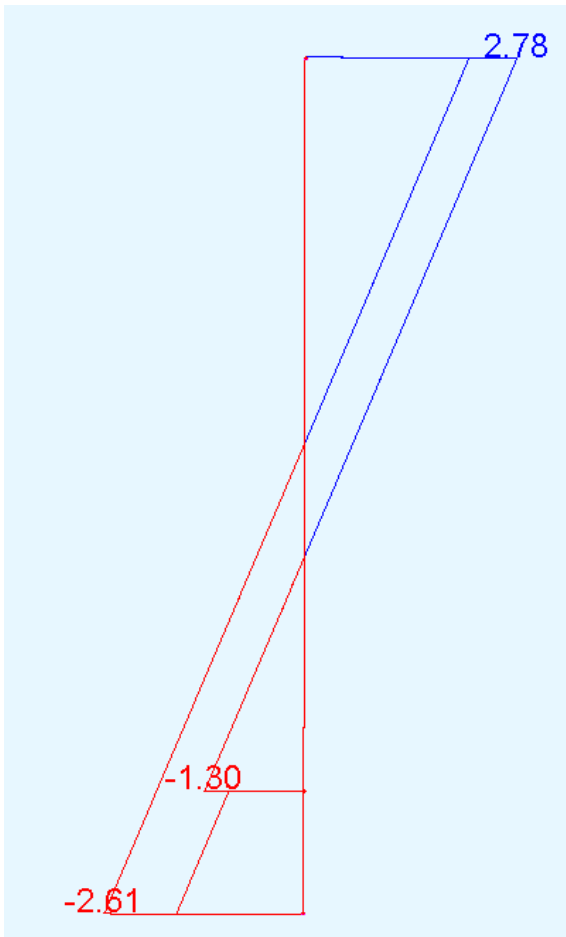
Reinforcing bars

- Compressive stress $\leq f_{yk}$
- Tensile stress $\leq 0.8 f_{yk}$ to avoid unacceptable cracking or deformation

Crack control

Members in UHPFRC do not require a minimum quantity of steel reinforcement to control cracking. This is assumed to be provided by the crack control and the ductile character under tension of the UHPFRC.

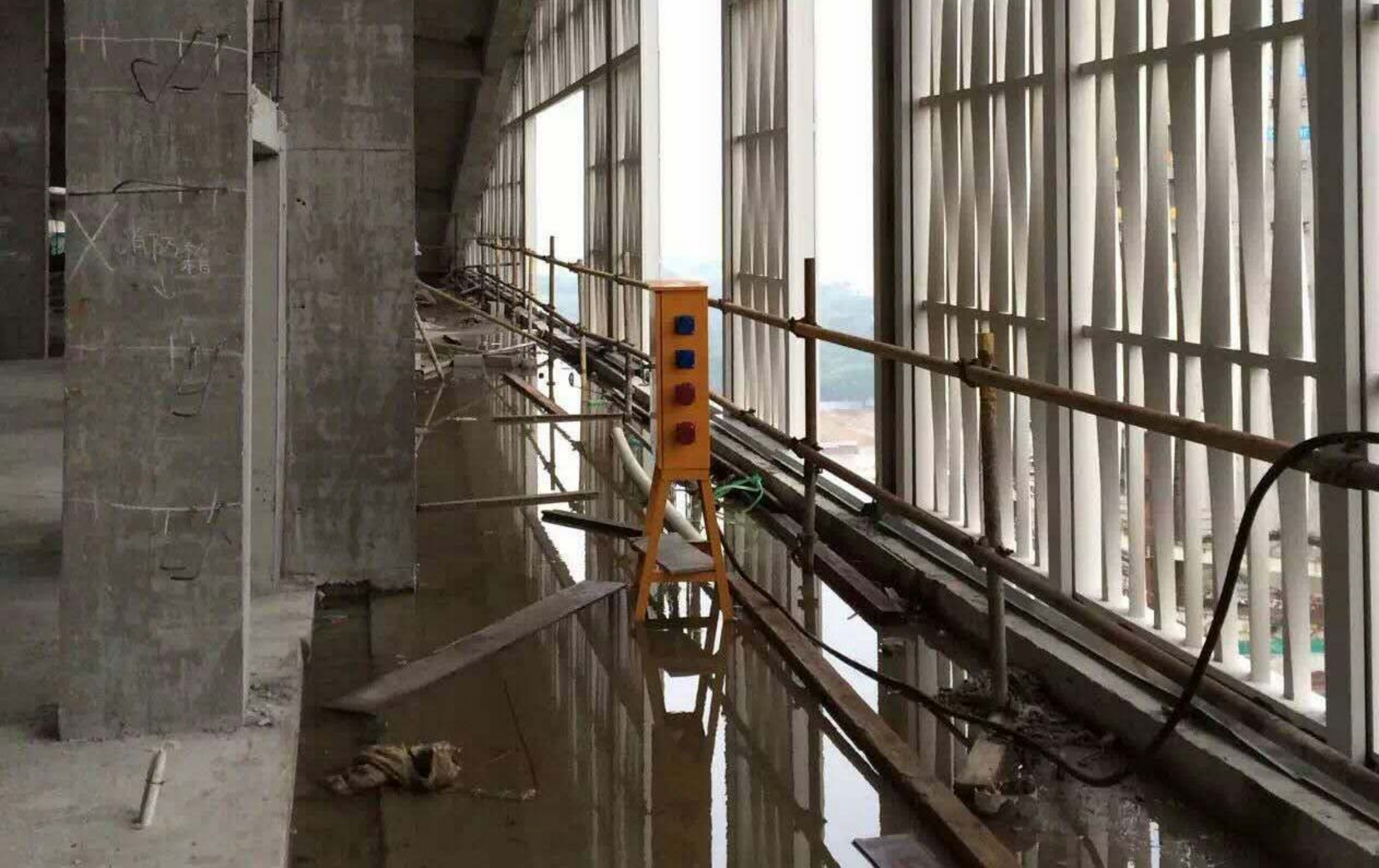
(NF P18-710 §7.3.2)







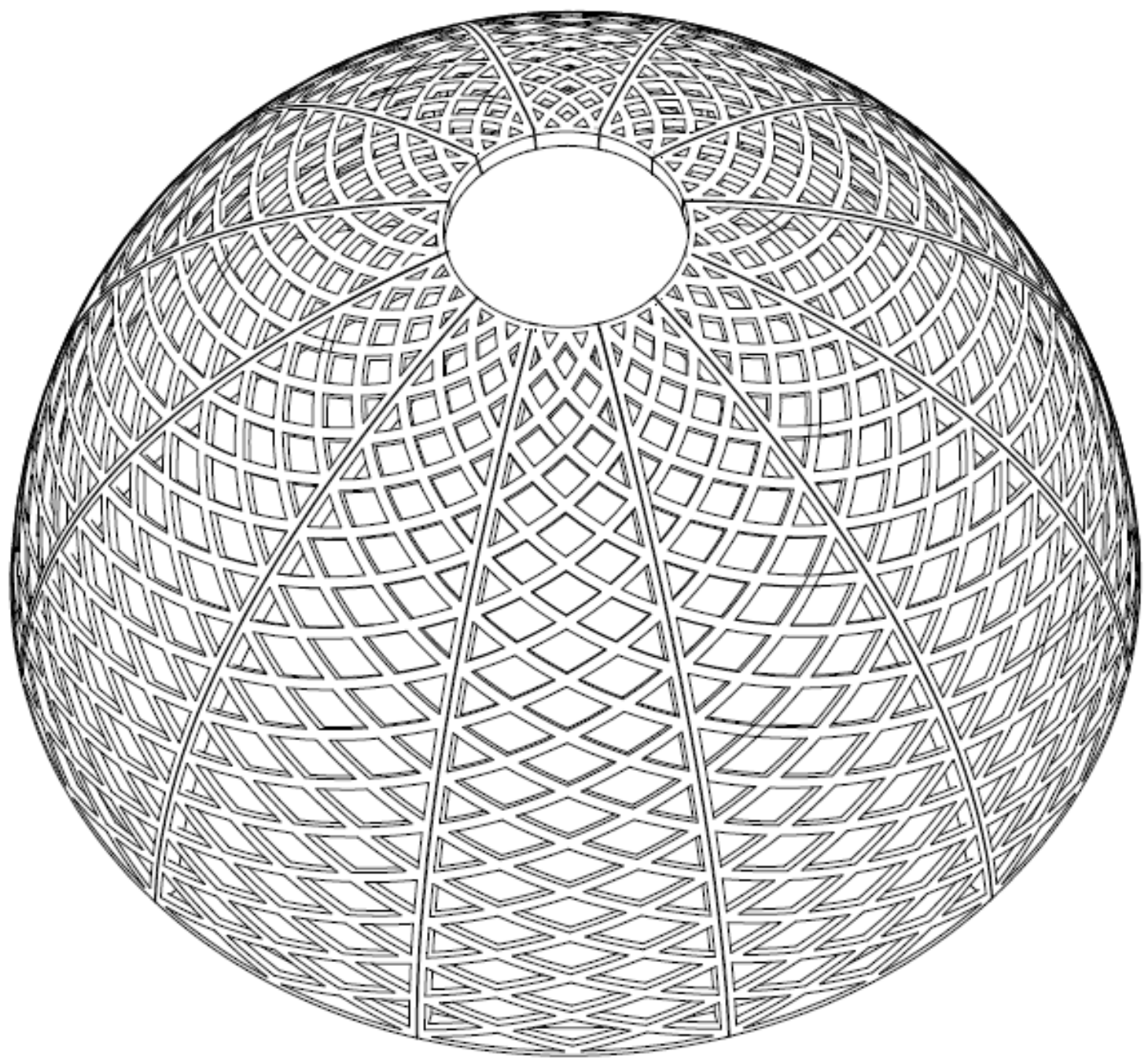




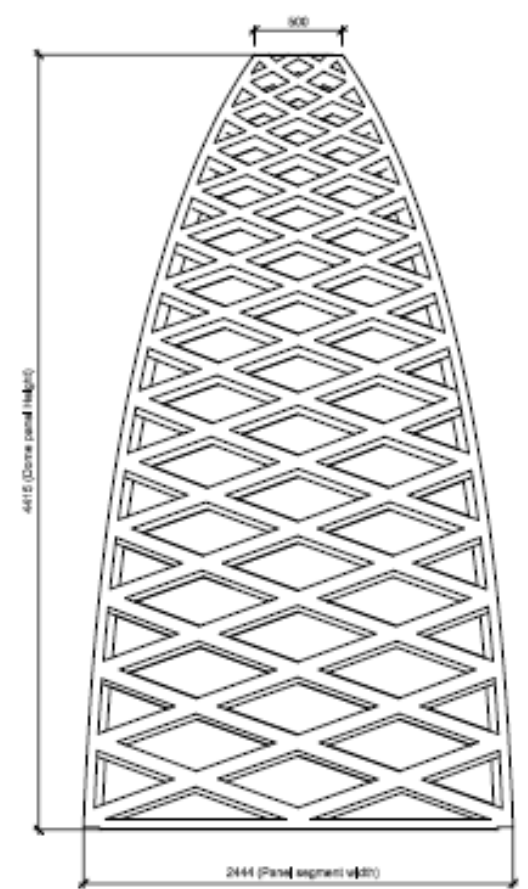
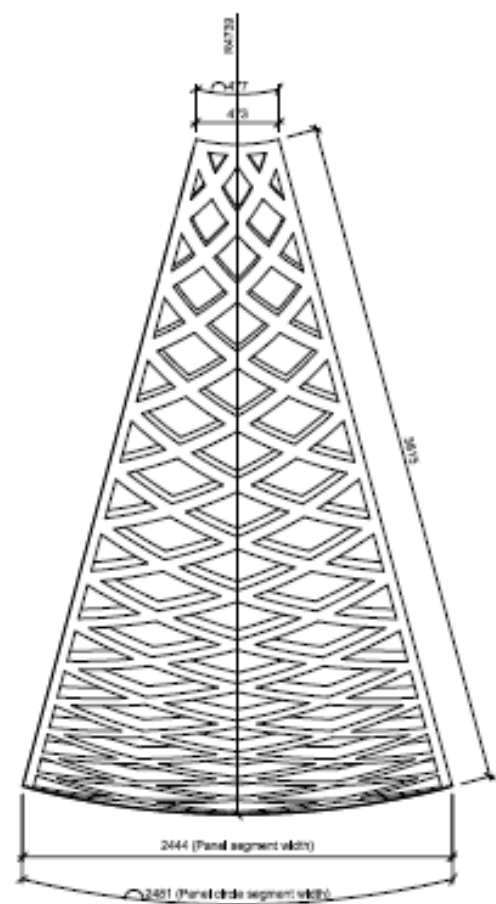
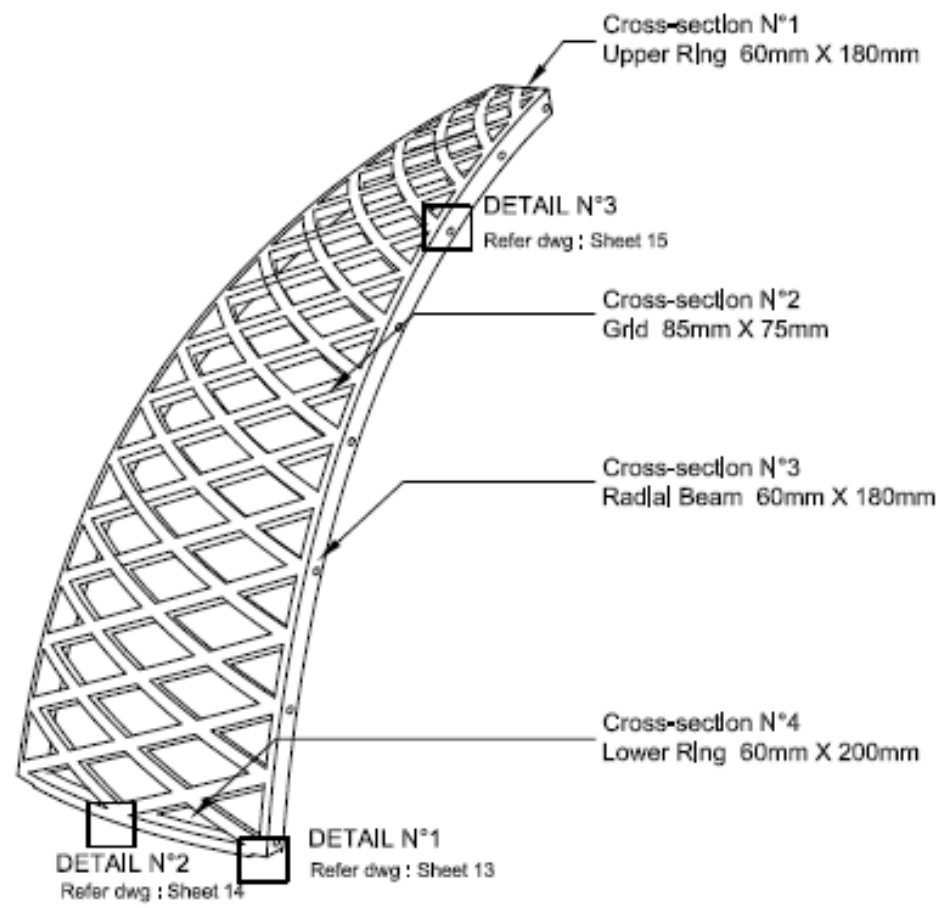


Al Rayyan Palace Dome, Qatar

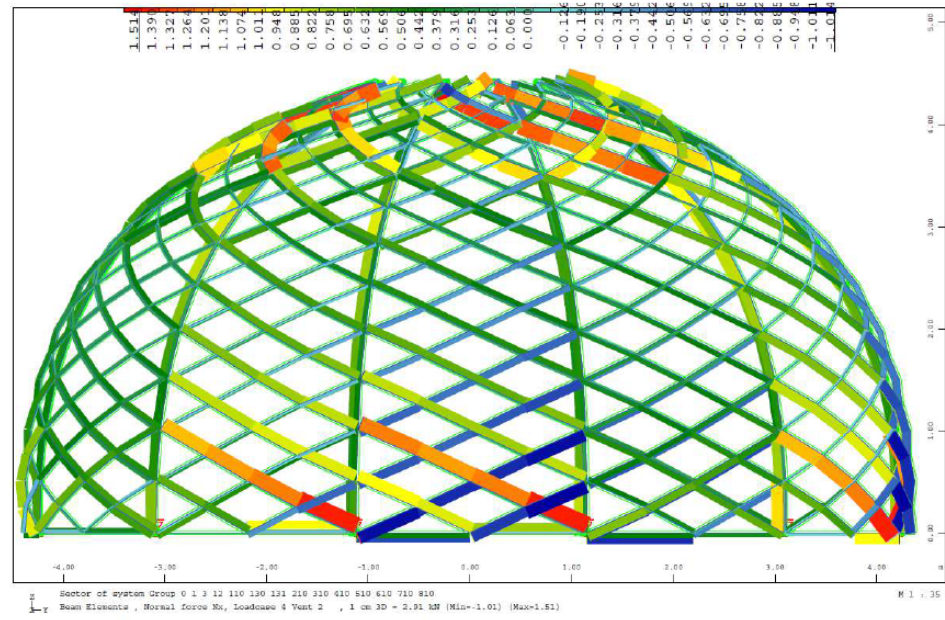
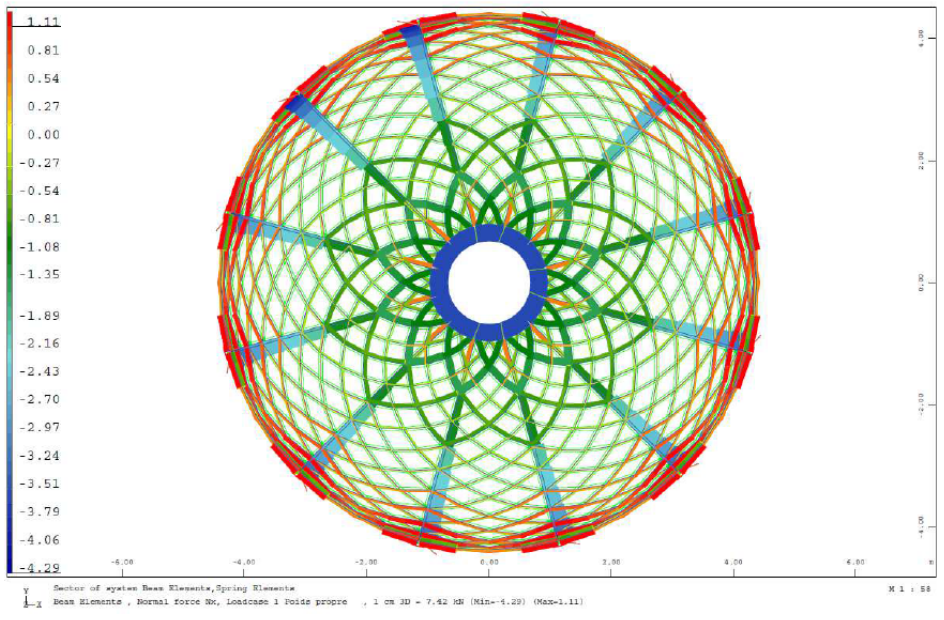
Localization : Al Rayyan Palace Qatar, Doha / Premier prefabricator
Building typology : Palace private
Quantity :
Function : Roof
UHPFRC : Ductal® FI STT



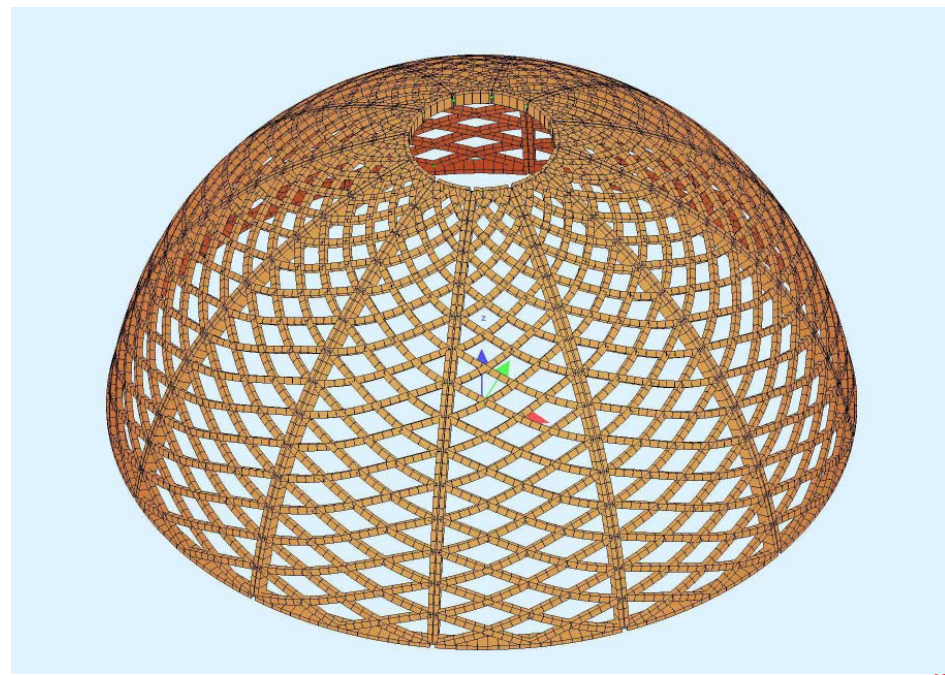
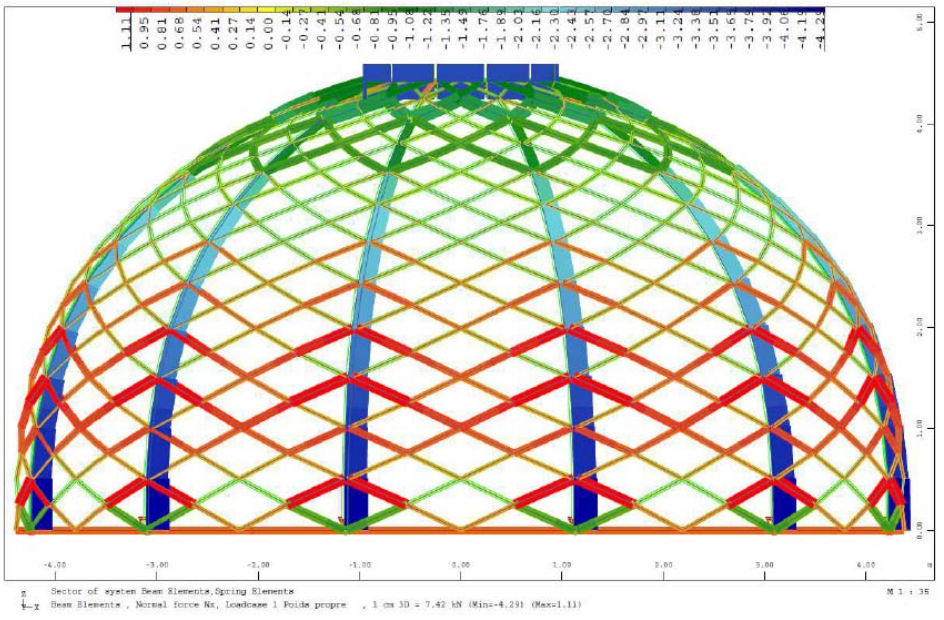
Dome Qatar/Design hypothesis _ Geometry



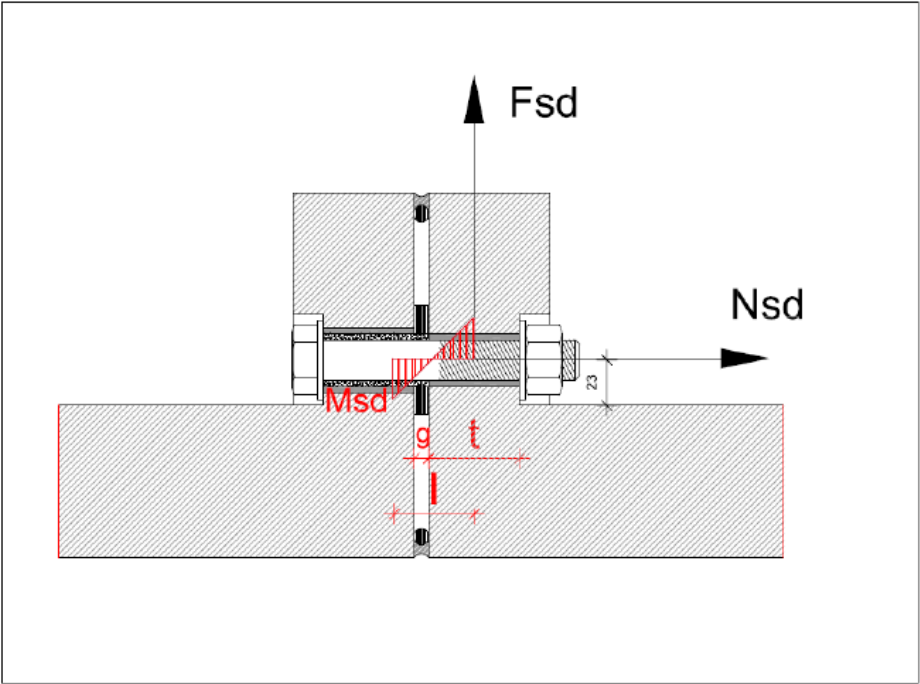
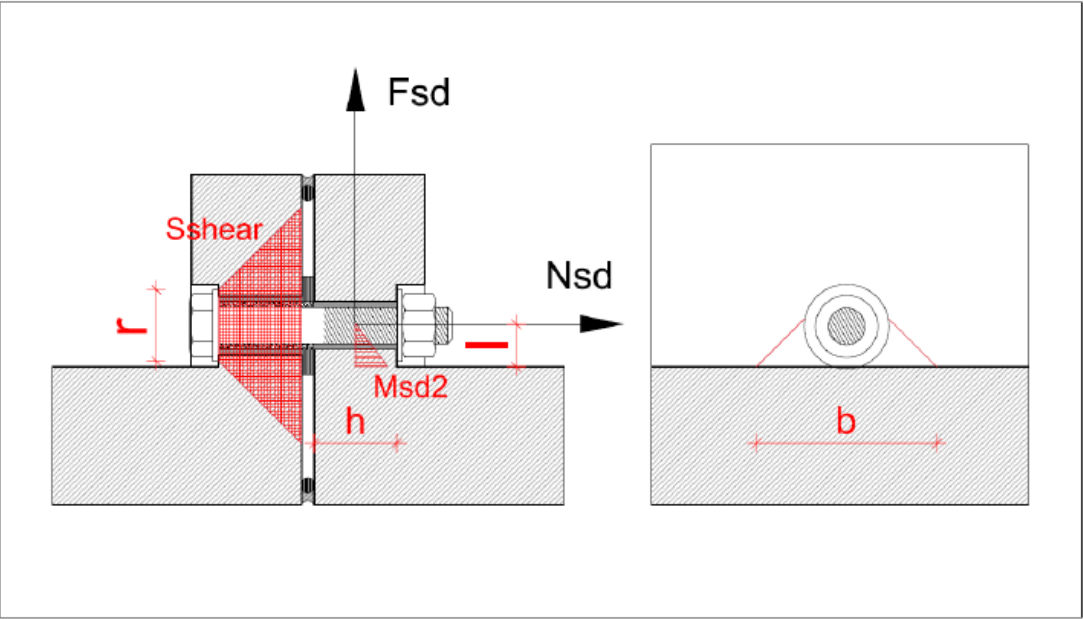
Design hypothesis _ Static Scheme



The horizontal load (wind + seismic) are transferred by the grid around each side of the structure. The force is dissipated.



Design hypothesis _ Static Scheme















Pershing square, Los Angeles, USA / TER Landscape designer

Localization : Los Angeles

Building typology : Canopy

Quantity : 300 m long

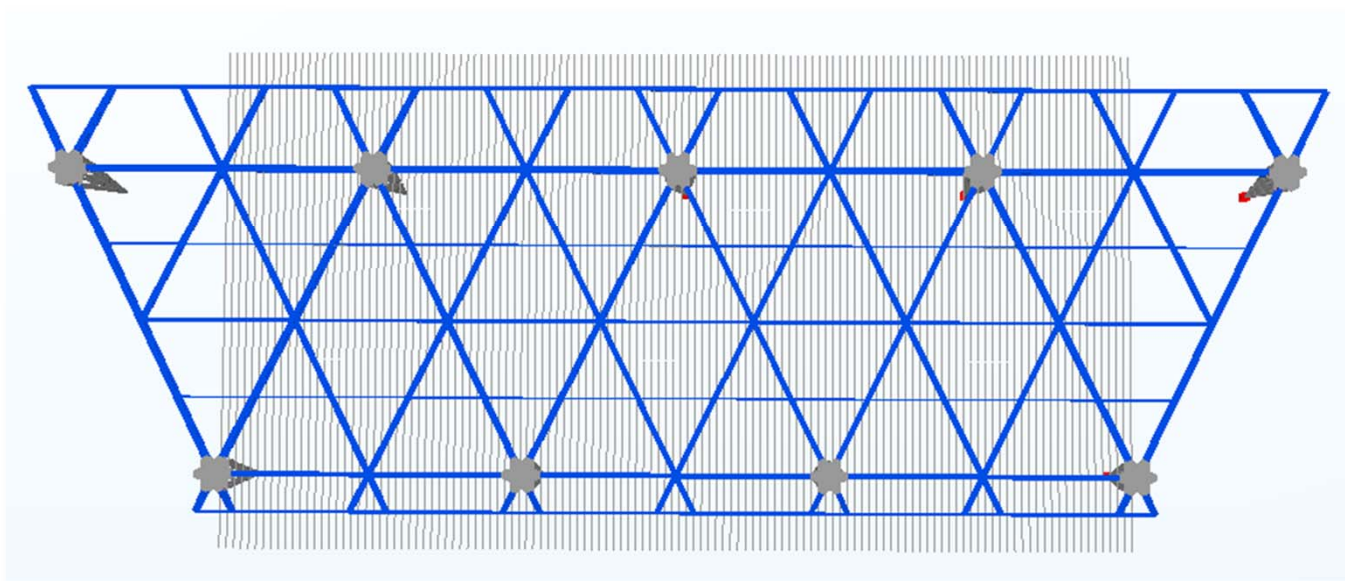
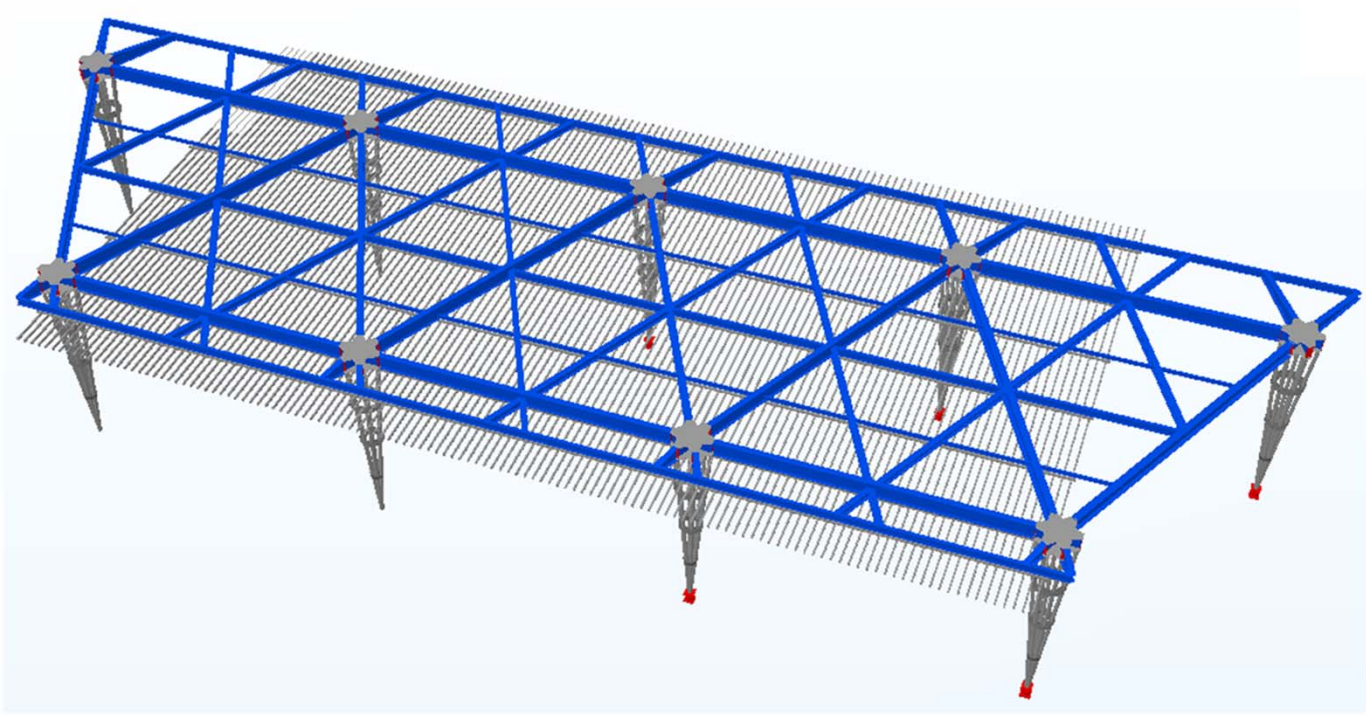
Function : Roof

UHPFRC : Ductal® FI FM STT

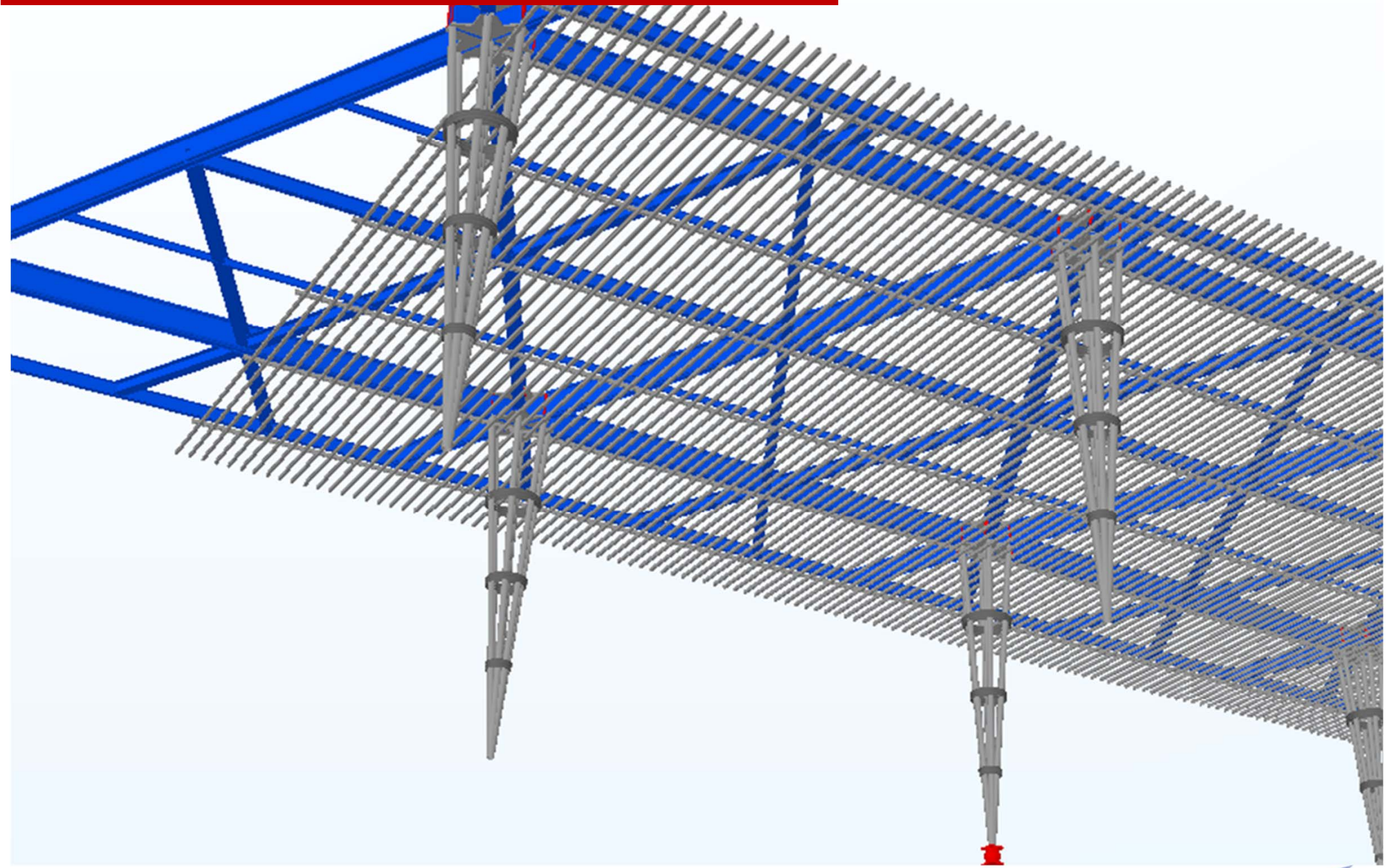
Preliminary design stage

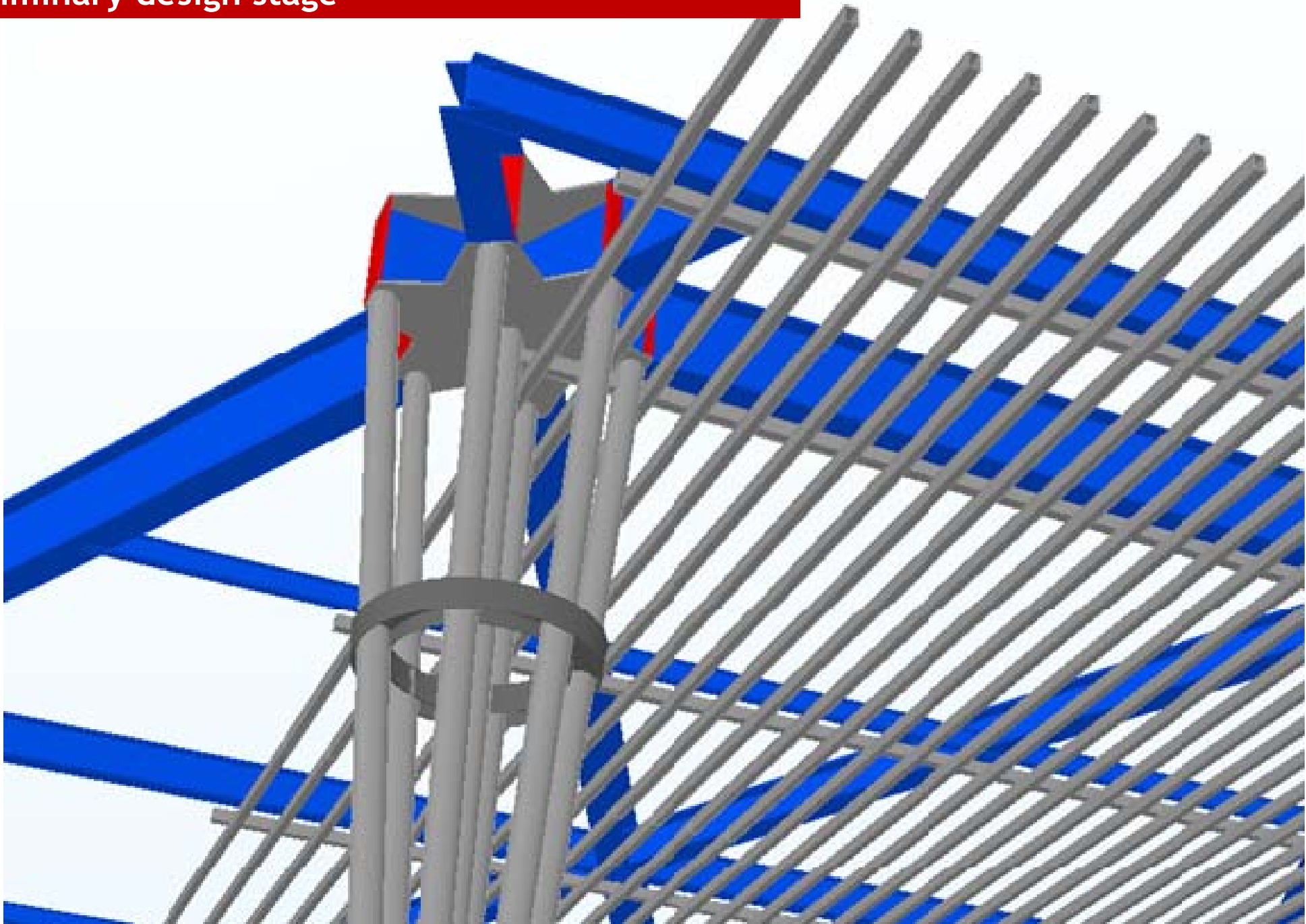


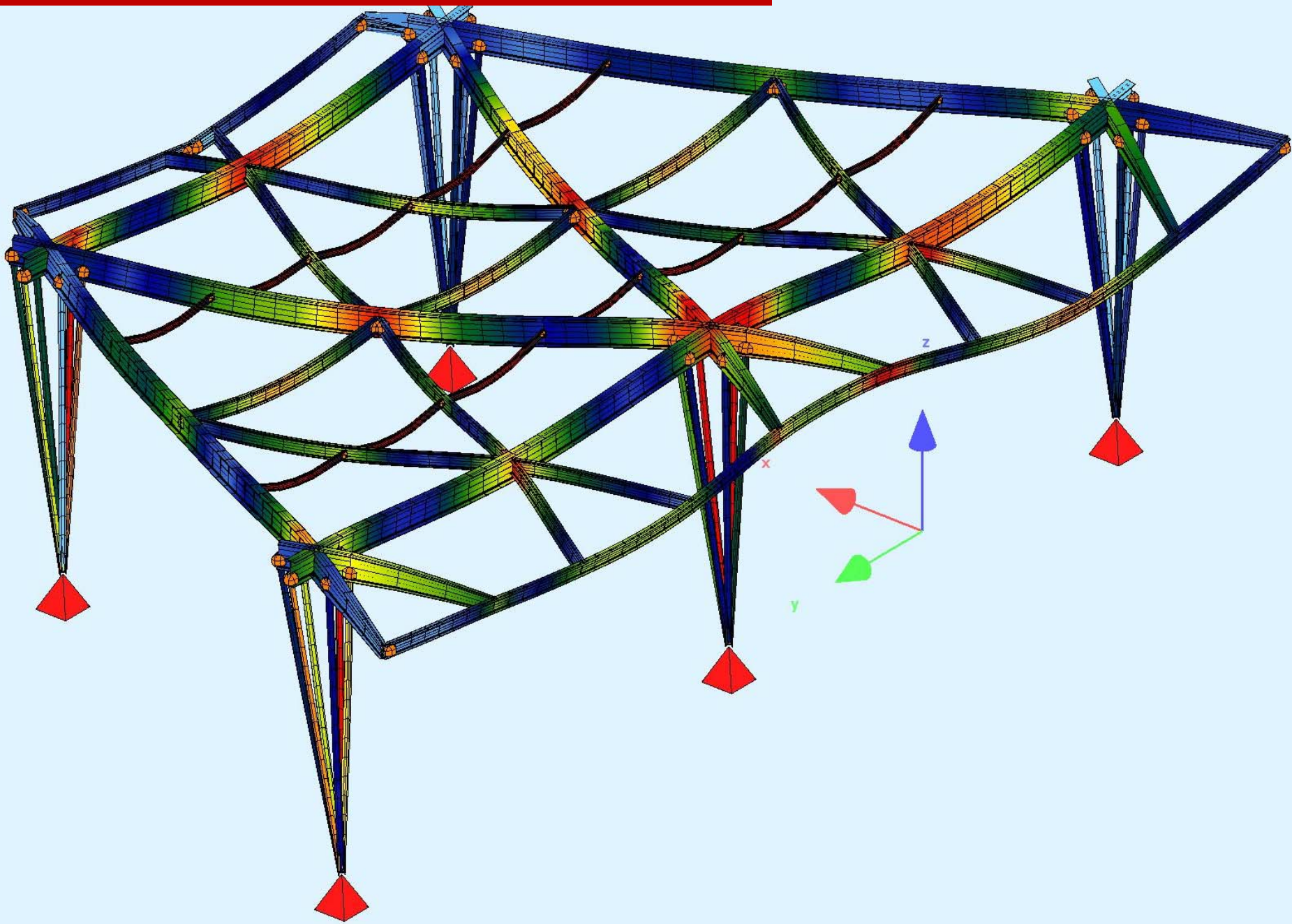
Preliminary design stage

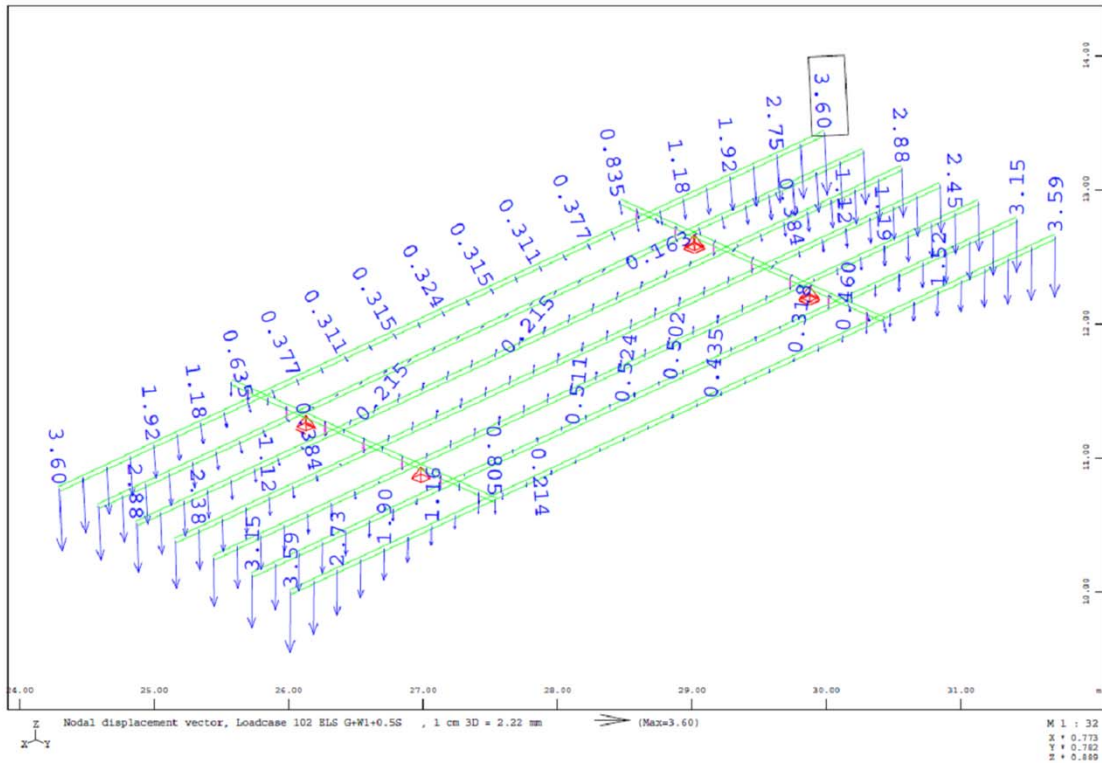
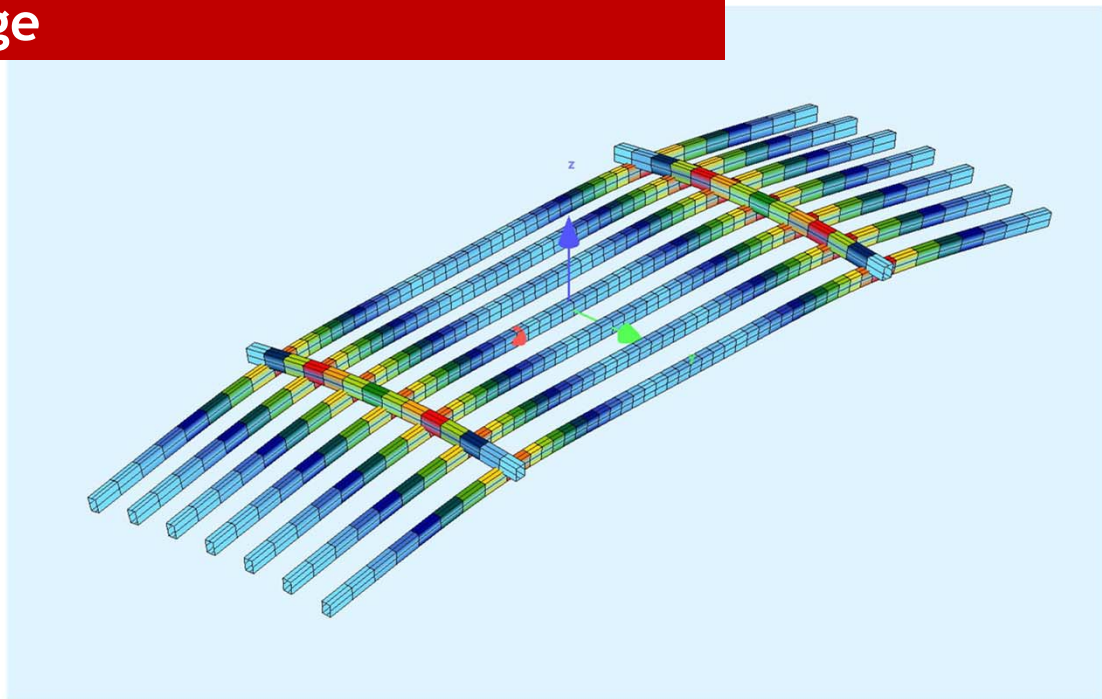


Preliminary design stage





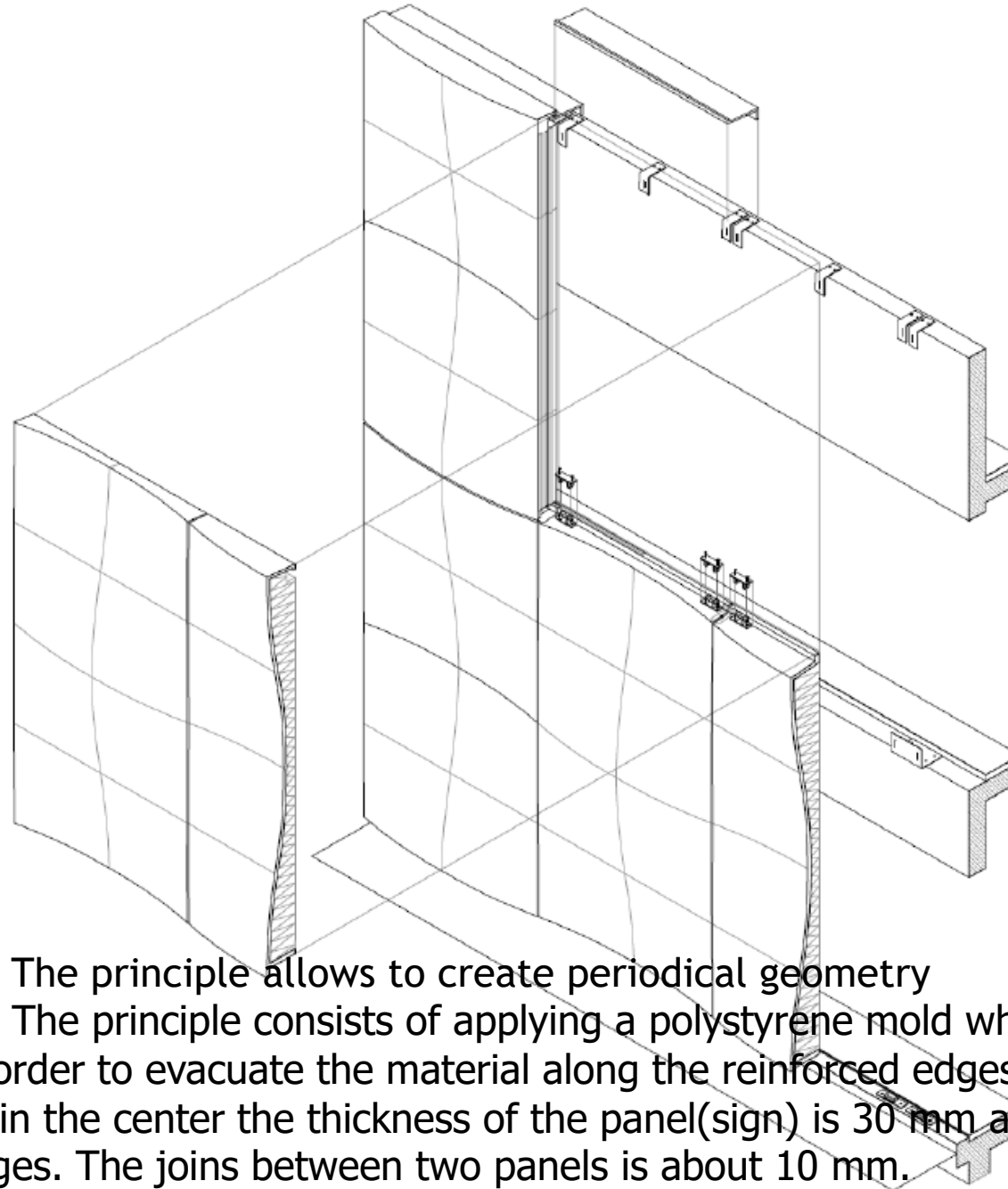




Localization : Paris
Building typology : Panel with integrated insulation
Function : Façade
UHPFRC : Ductal® NaW3 FO STT

Les panneaux de la crèche Budin / TER Combarel&Marrec Architectes

Formwork strategy



Comment 1 : The principle allows to create periodical geometry

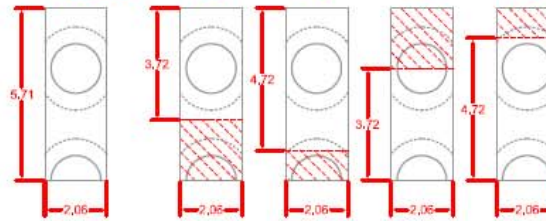
Comment 2 : The principle consists of applying a polystyrene mold when Ductal is still liquid in order to evacuate the material along the reinforced edges of the panel.

Comment 3: in the center the thickness of the panel(sign) is 30 mm against 235 mm along the edges. The joins between two panels is about 10 mm.

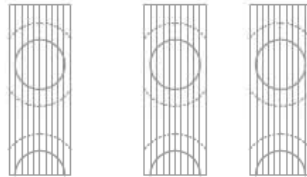
Displacement Casting/ Paris Crèche Budin

DECOUPAGE ENVISAGE :

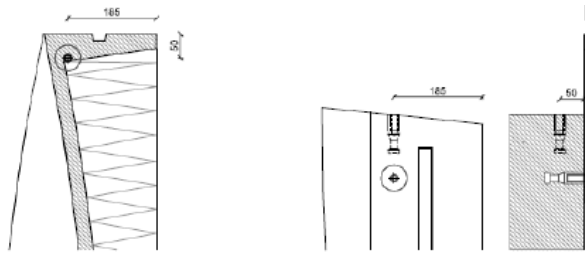
- Type 1 : 64 pièces - Moule - 1a - 1b - 1c - 1d



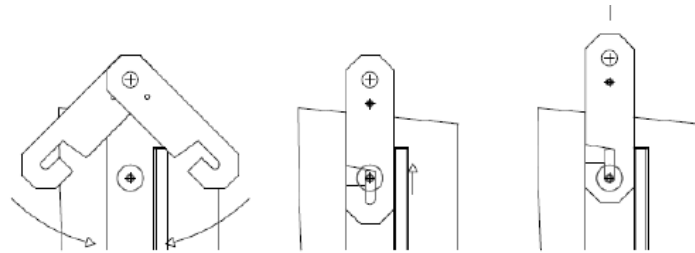
- Type 2 : 4 pièces - Moule - 2a - 2b



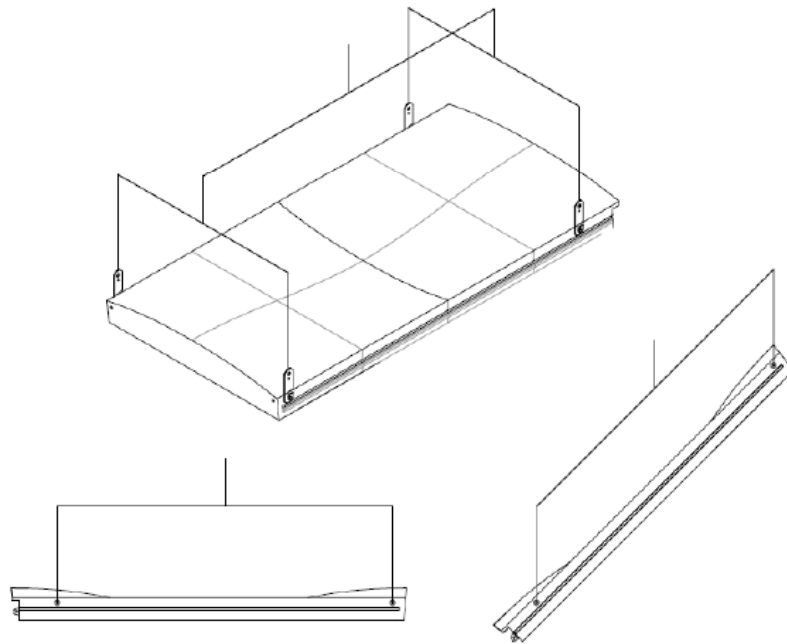
Formwork strategy



Dispositif de levage 1/10e
Douille de fixation HALFEN DEHA-6380 M16

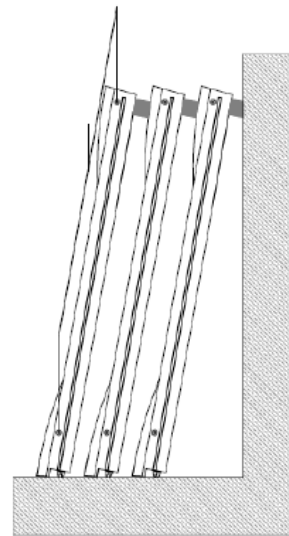


Séquence d'accroche pour le levage 1/10e

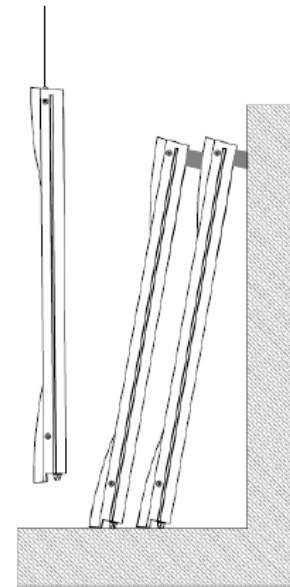


Levage à l'horizontal 1/50e

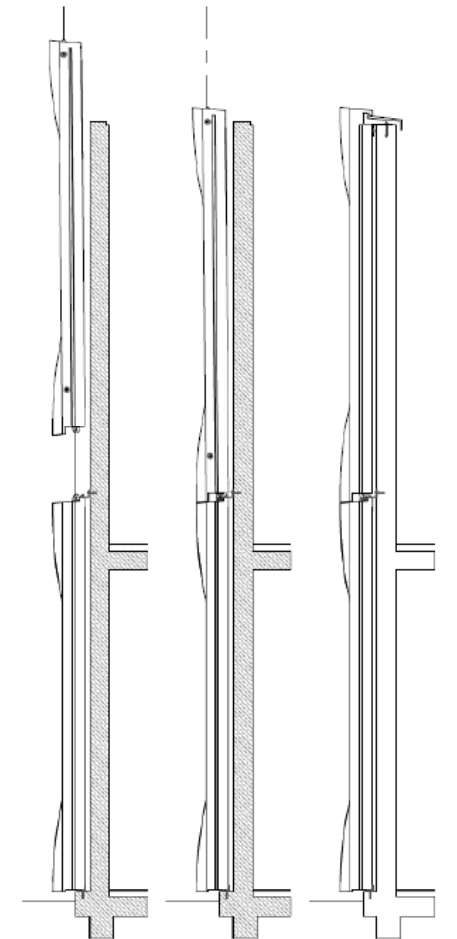
Basculement 1/50e



Stockage des panneaux 1/50e



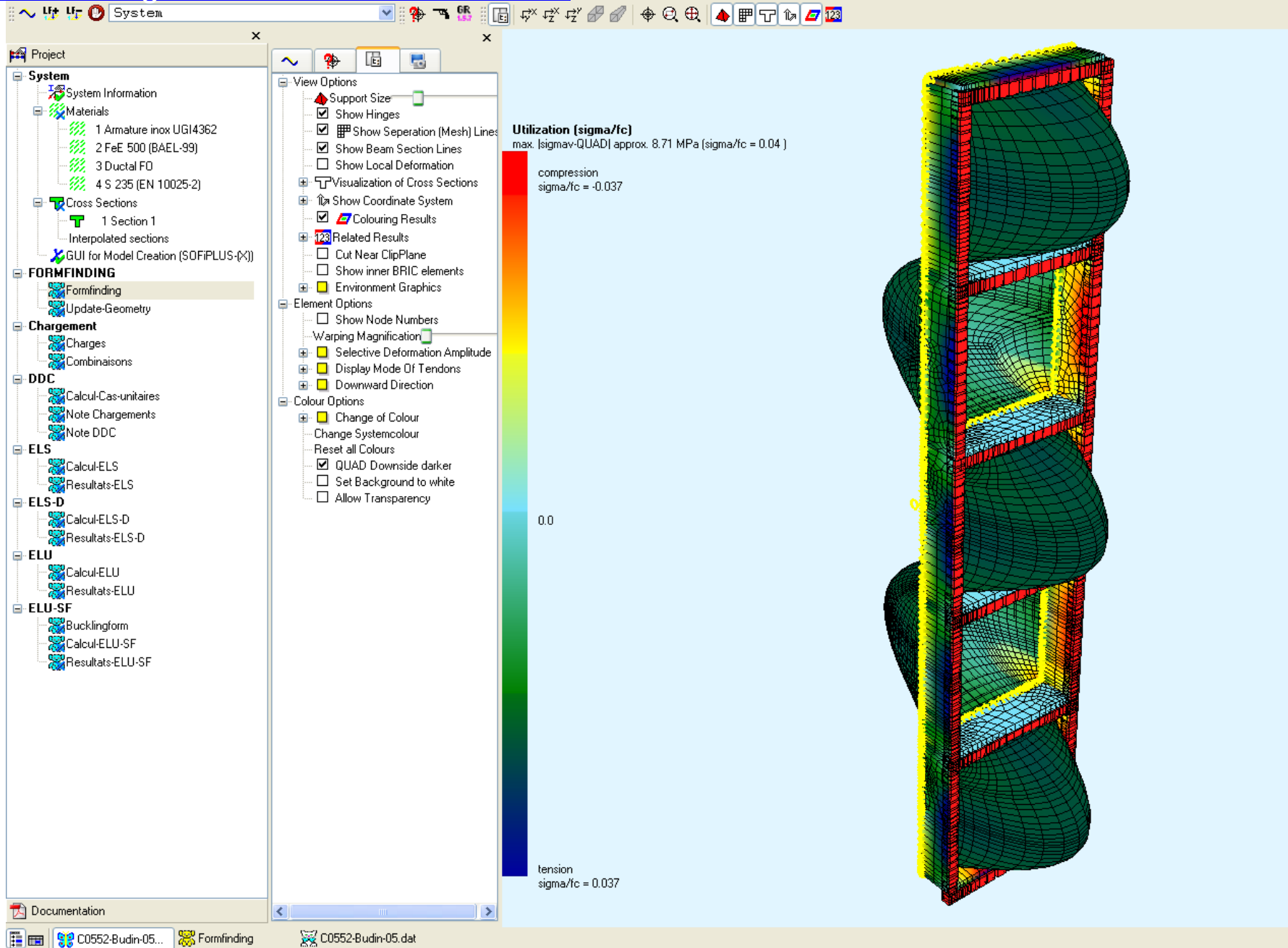
Levage à la verticale des panneaux 1/50e



Mise en oeuvre des panneaux 1/50e

0 100cm

Form finding/ Paris Crèche Budin

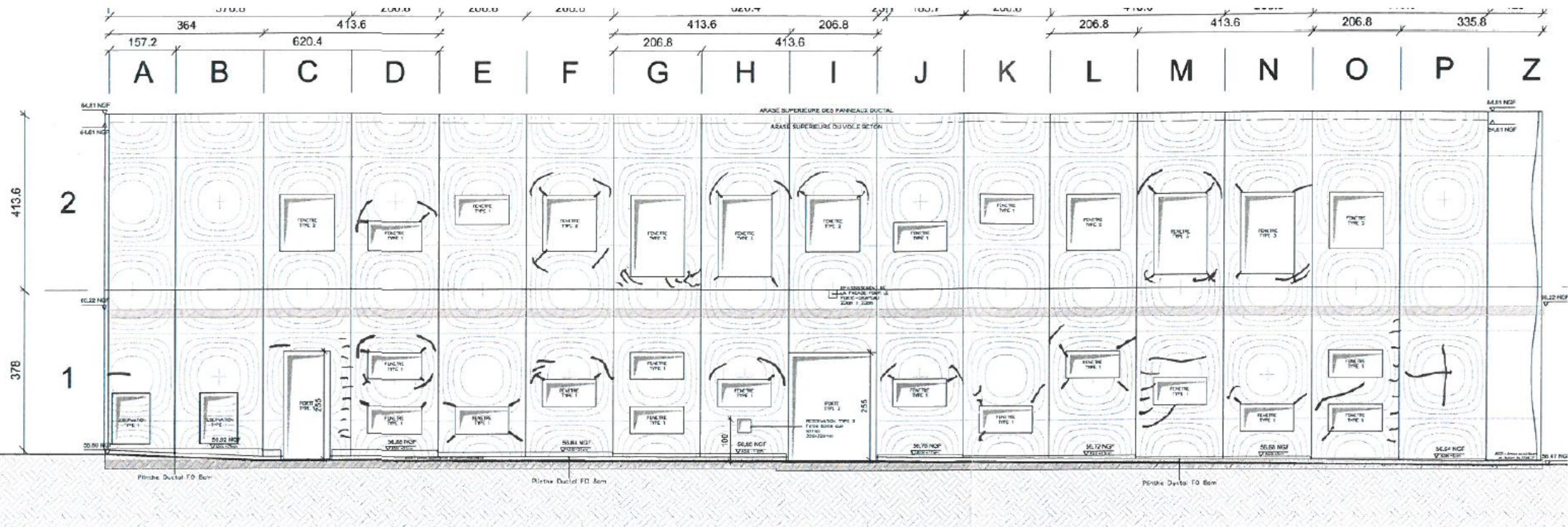


Calculation done with the software SOFISTIK AG

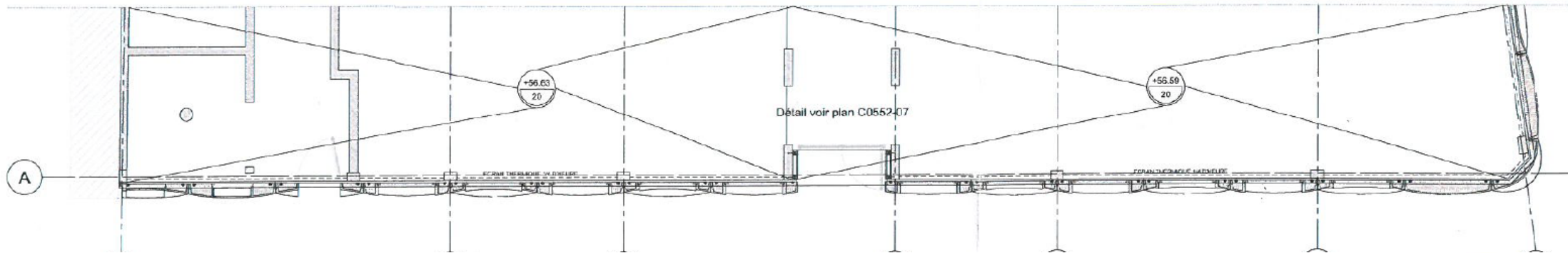
Design process

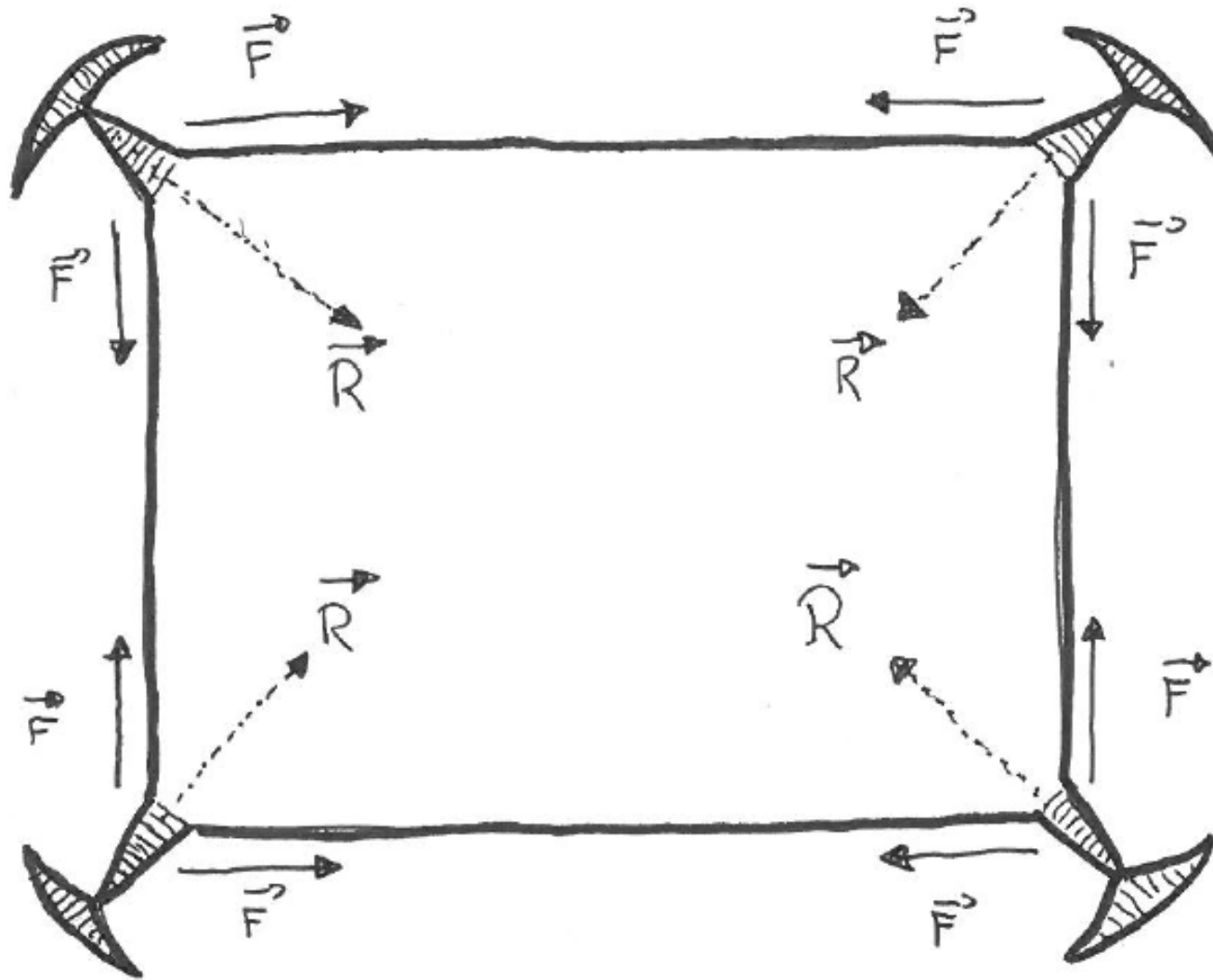


Shrinkage / Budin creche Paris



ELEVATION FACADE NORD







Zaha Hadid office Staircase / Zaha Hadid Architect

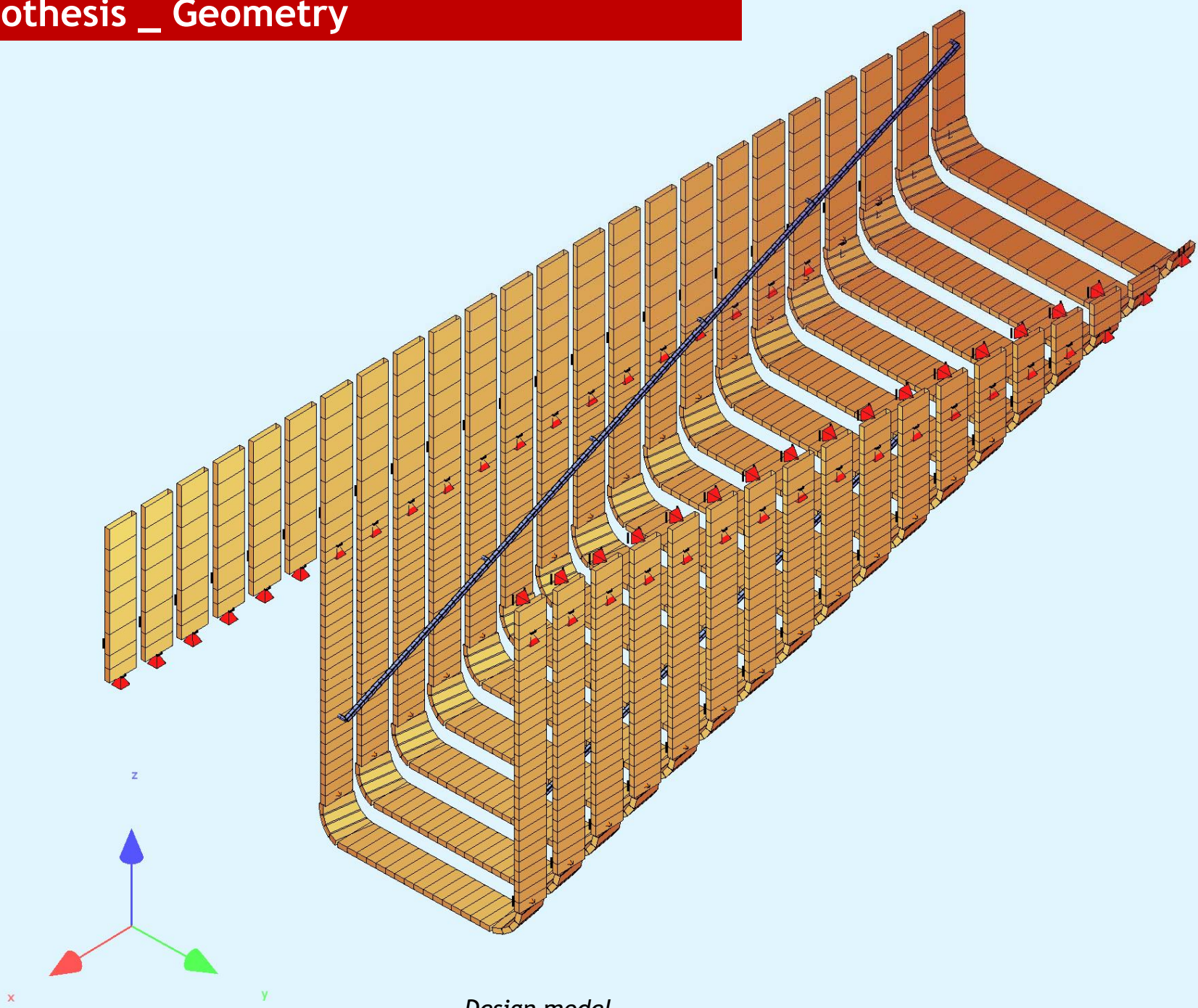
Localization : Zaha Hadid Office, Londre / Contractor : Il cantiere

Building typology : Office

Quantity : 18 steps

Function : Public staircase

UHPFRC : Ductal® NaW3 FO STT



Design model

Stress limitation

Non-reinforced Ductal FO

- Compressive stress $\leq 0.6 f_{ck}$
- Tensile stress $\leq f_{ctfk}/K$

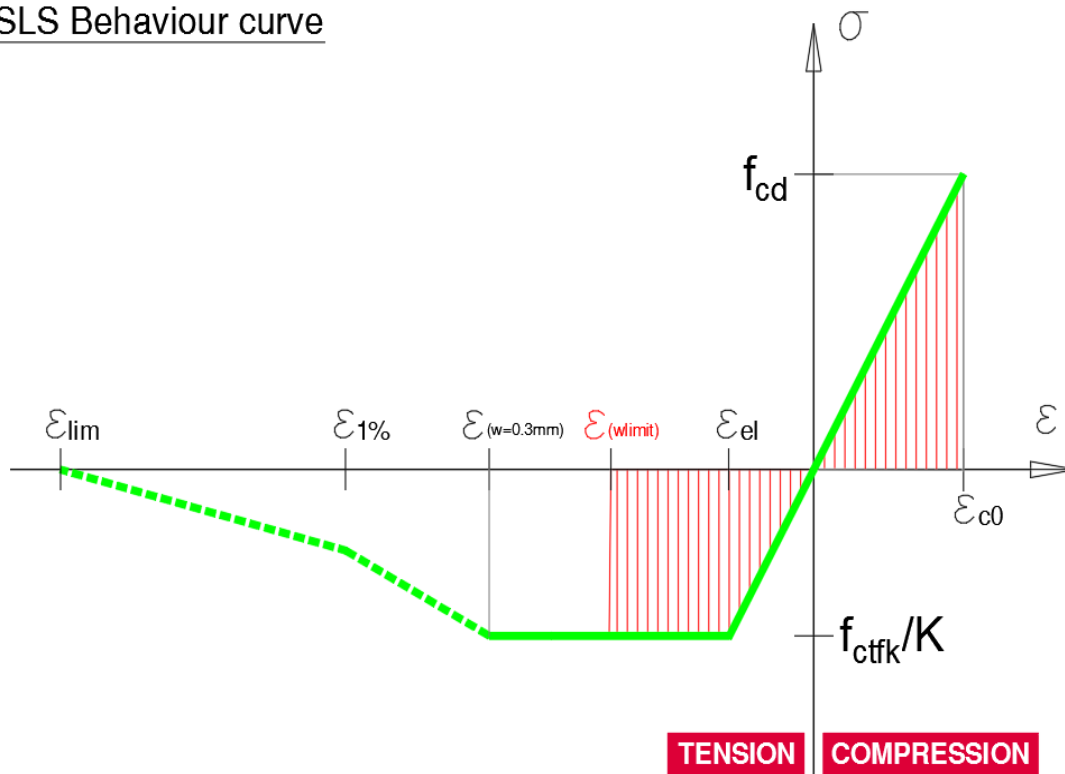
Crack control - Limitation of plastic plateau

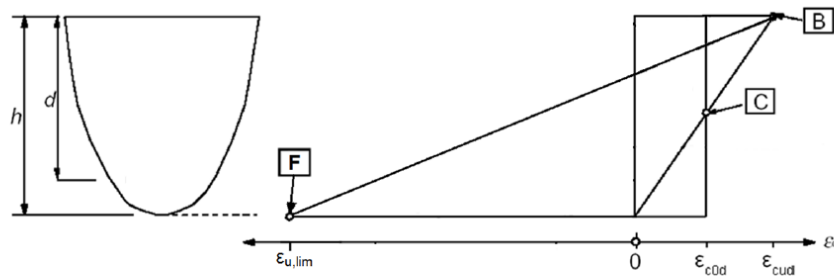
Table 7.201 — Recommended values of w_{max} (mm)

Exposure class	Members in reinforced UHPFRC and members in prestressed UHPFRC with unbonded tendons	Members in prestressed UHPFRC with bonded tendons	Members in non-reinforced and non-prestressed UHPFRC	
	Quasi-permanent load combination	Frequent load combination	Characteristic load combination	Frequent load combination
XD, XC1	0.3	0.2	0.3	0.3
XC2, XC3, XC4	0.2	0.1	0.2	0.1
XD1, XD2, XD3 XS1, XS2, XS3	0.1	Tensile limitation to $2/3 \cdot \min(f_{ctm,el}, f_{ctfm}/K_{gbbal})$	0.1	0.05

Extract of NF P18-710[2.2]

SLS Behaviour curve

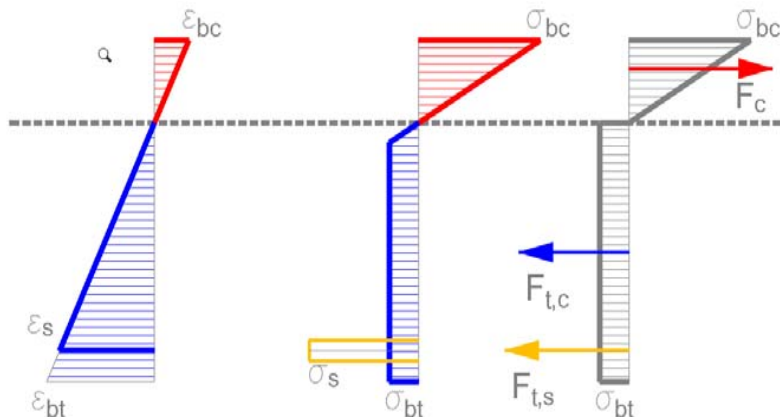




- B** - UHPFRC compression strain limit
- C** - UHPFRC pure compression strain limit
- F** - UHPFRC tension strain limit

Figure 6.201 — Diagram of relative deformations admissible in ultimate limit state for non-reinforced UHPFRC

Extract of NF P18-710



Strain Stress Resultant

Stress and strain distribution at ULS

Acceptable strain distributions

Bending with axial force : "Three pivots" limits known as tension controlled or compression controlled

Pivot F : limit lengthening $\epsilon_{u,lim}$ of the UHPFRC on the most "tensioned" fiber of the section

Pivot B : limit shortening strain ϵ_{cud} of the UHPFRC on the most compressed fibre of the section

Pivot C : limit shortening strain ϵ_{c0d} of the UHPFRC under compression for the part due only to the axial force

Three resisting shear terms

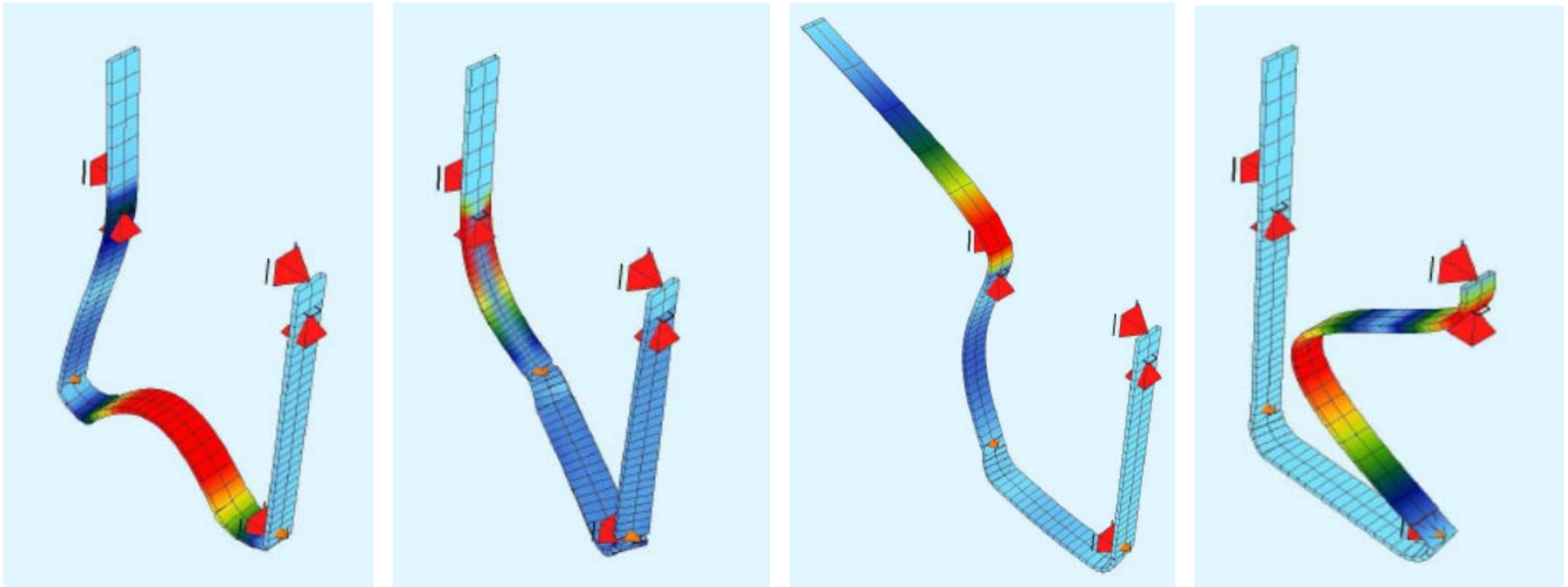
Resisting shear force

- UHPFRC contribution term
- Fiber contribution term
- Transverse reinforcement contribution term

Criteria of vibration analysis For each ribbon in Ductal FO

Natural frequency $\geq 7\text{Hz}$

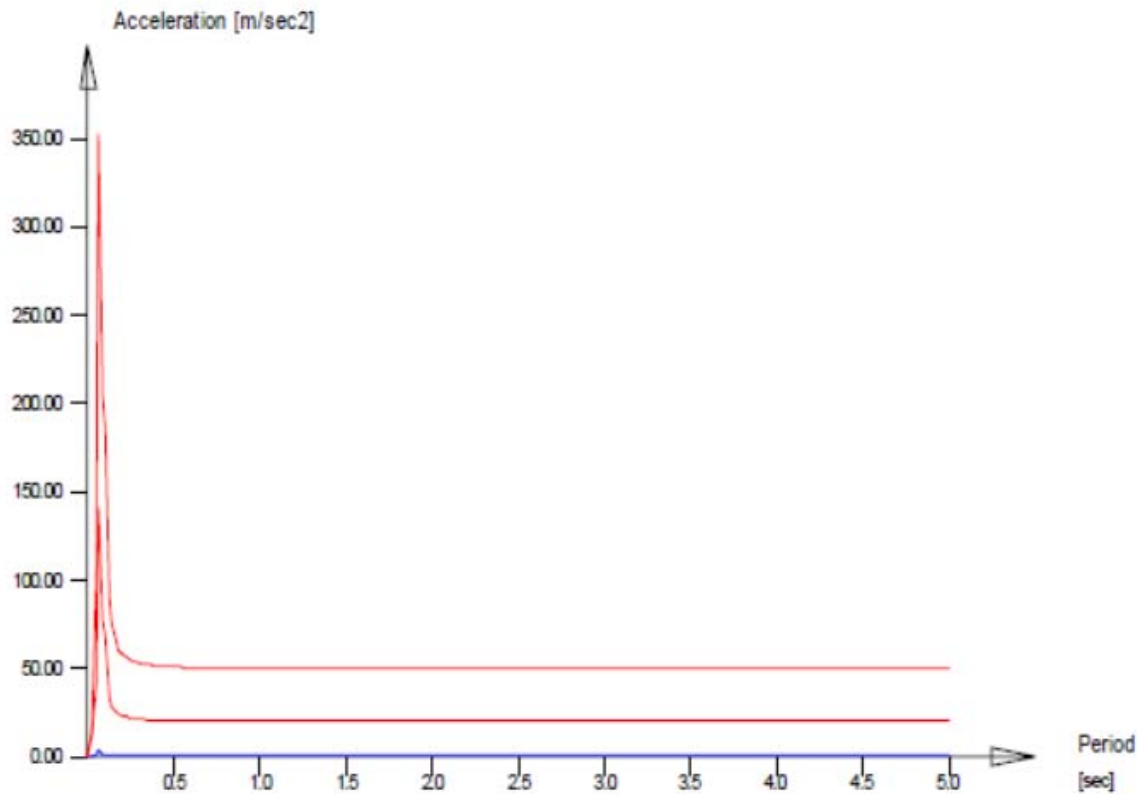
Response factor under harmonic load $(0,2Q) \leq 32$



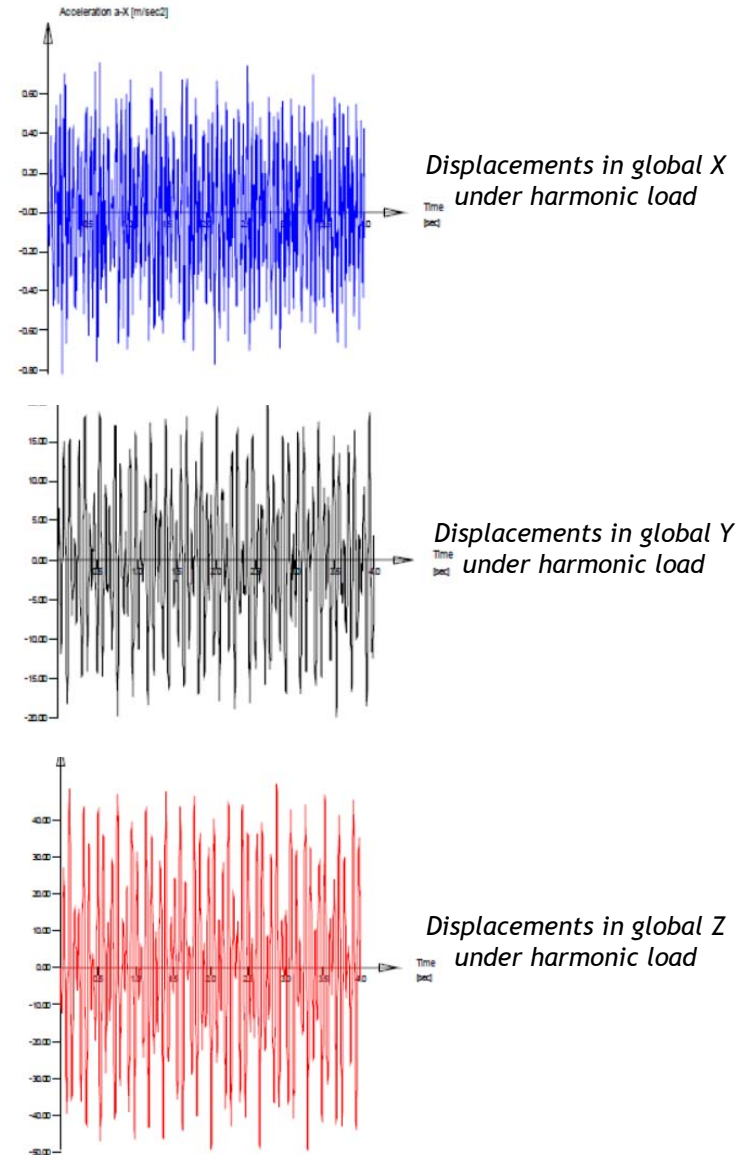
Criteria of vibration analysis For each ribbon in Ductal FO

Natural frequency $\geq 7\text{Hz}$

Response factor under harmonic load ($0,2Q$) ≤ 32

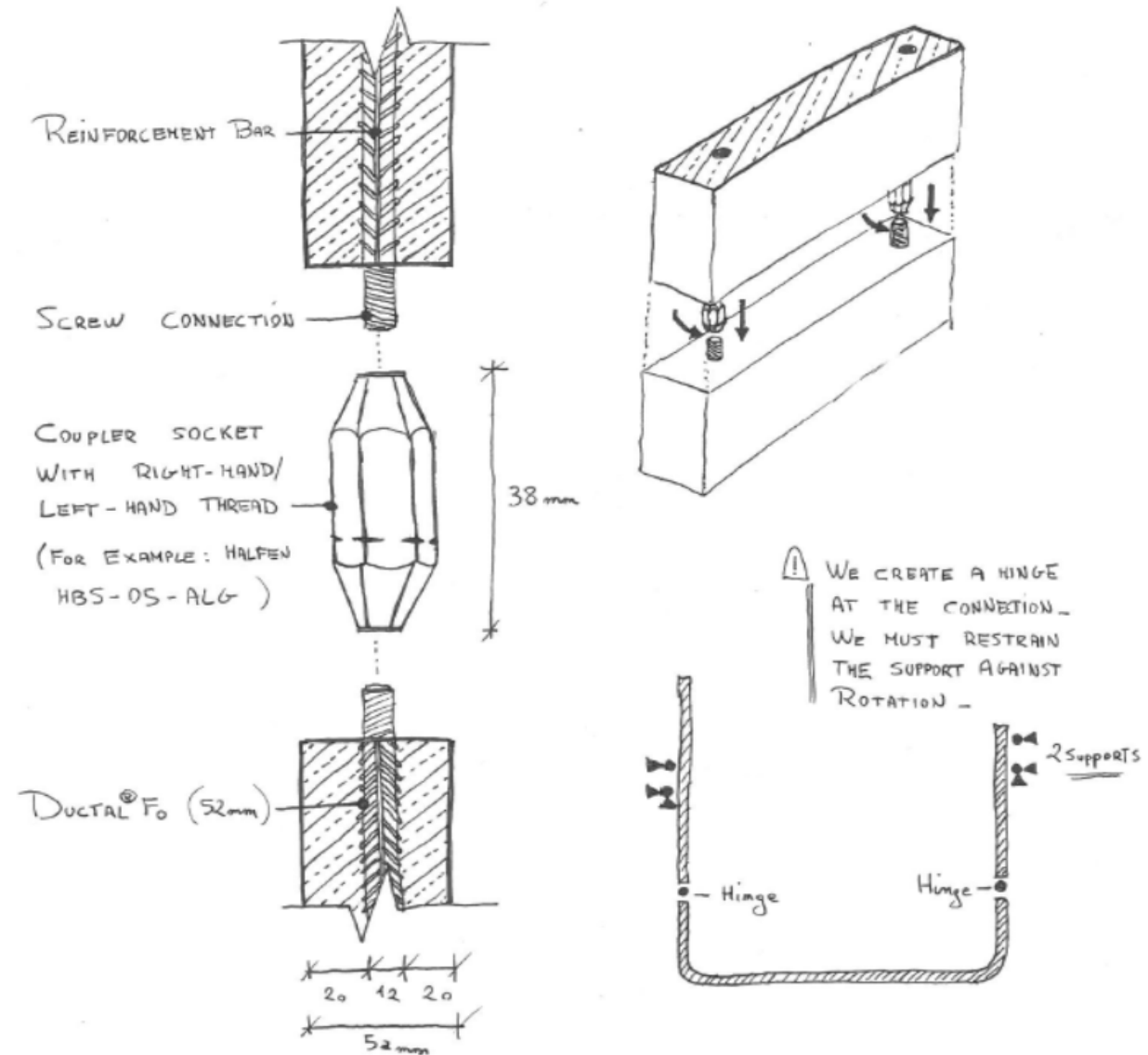


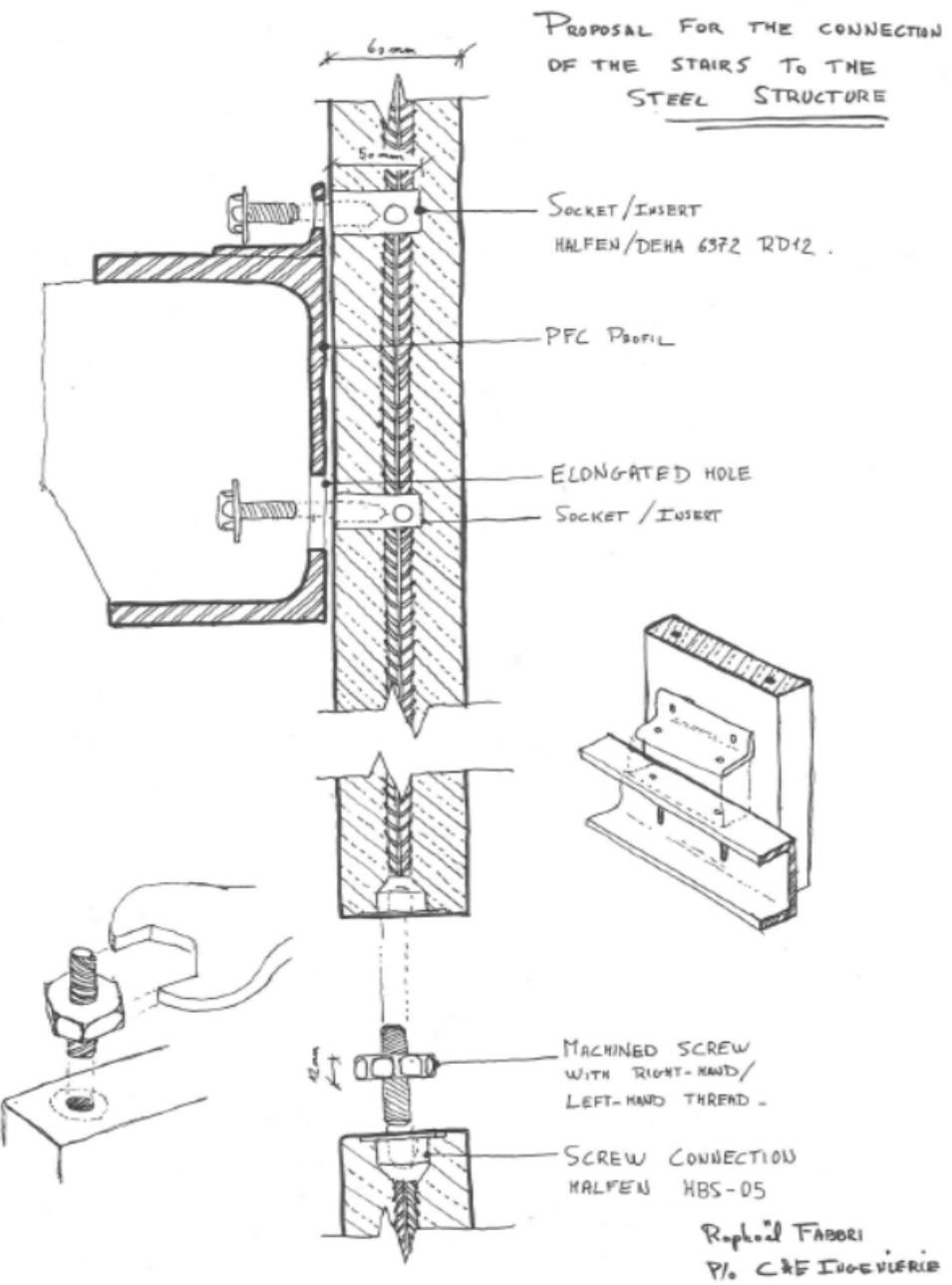
Response spectra under harmonic load (0,2Q and 10,84Hz)





Proposal for join between stair step and vertical ribbon





Proposal for the connexion of the stairs to the steel structure







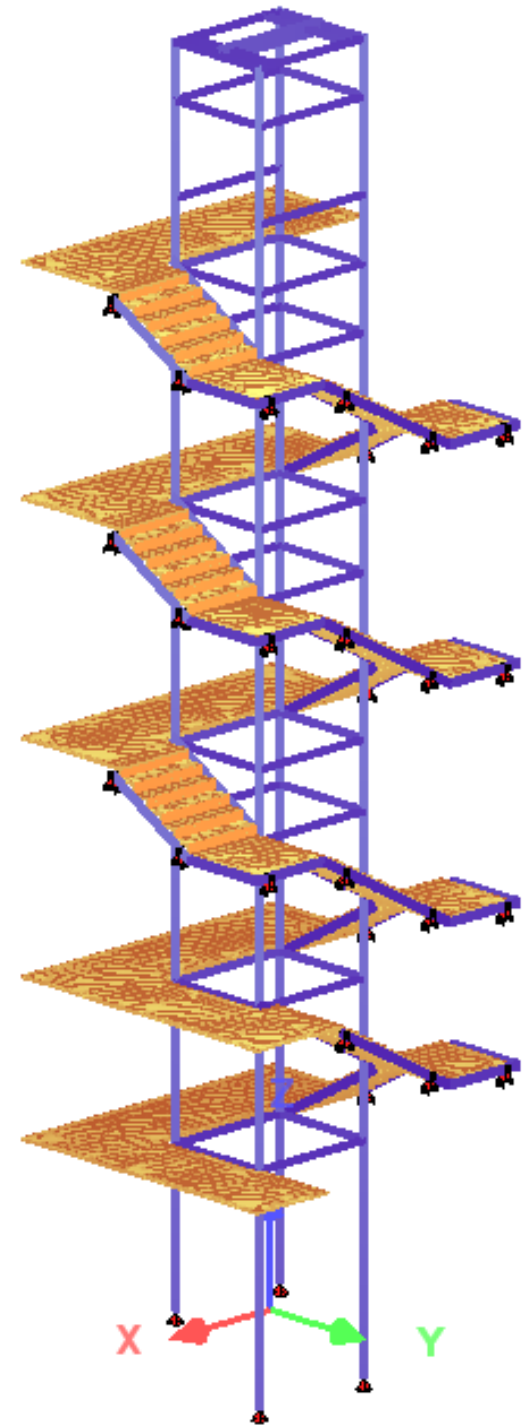
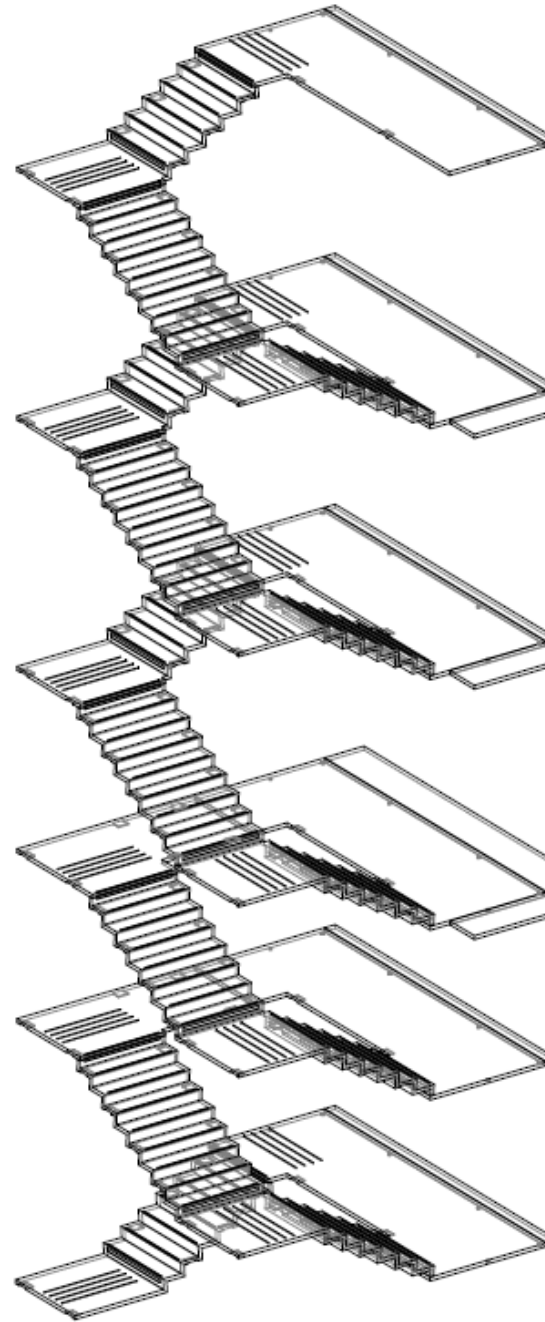
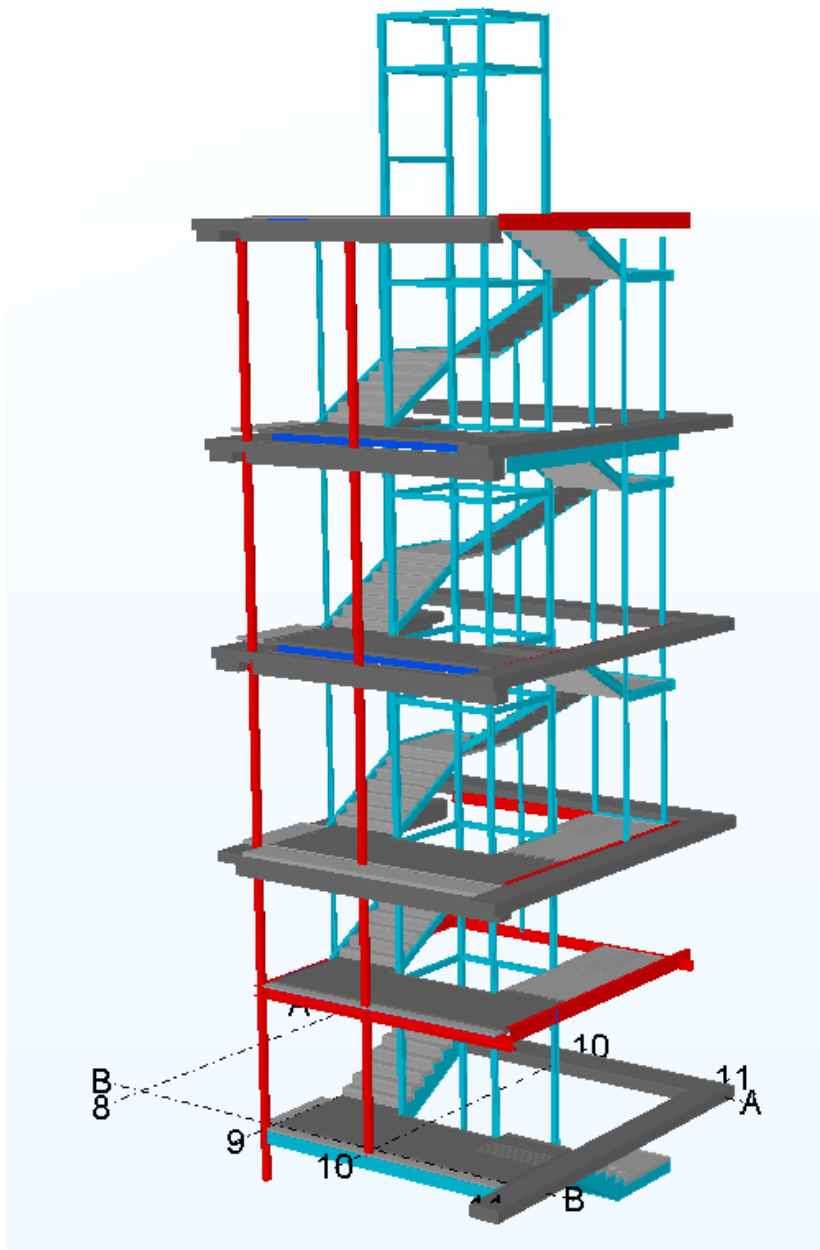


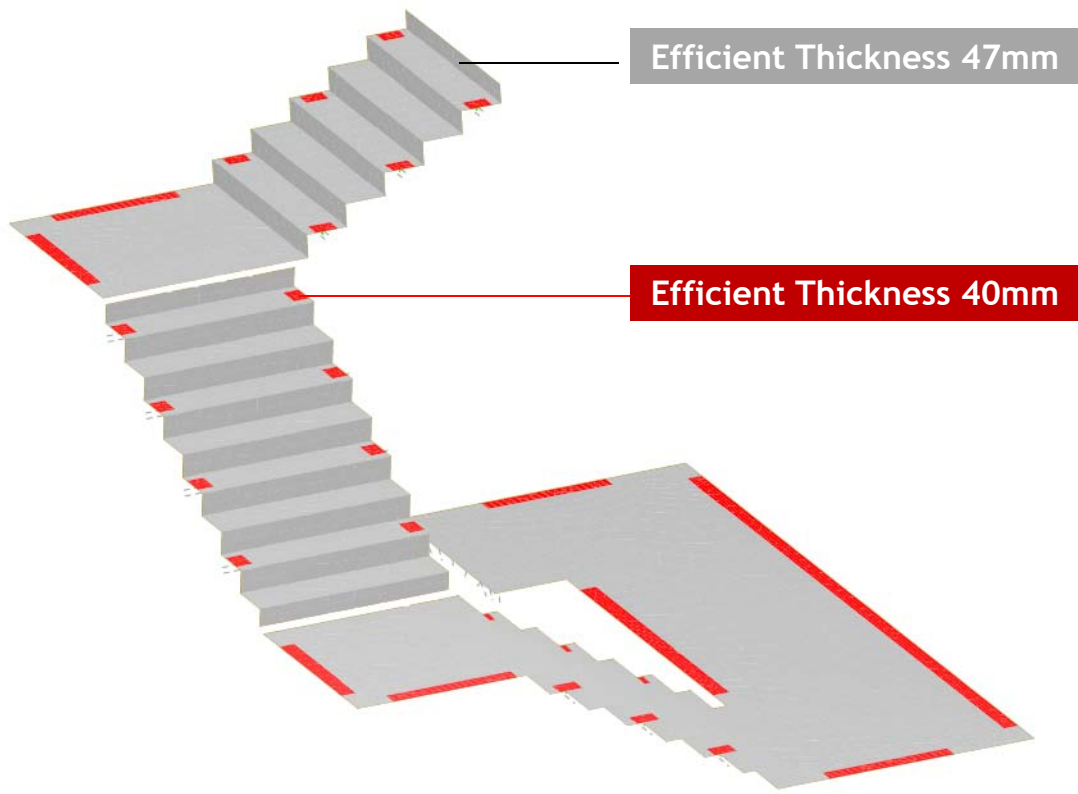




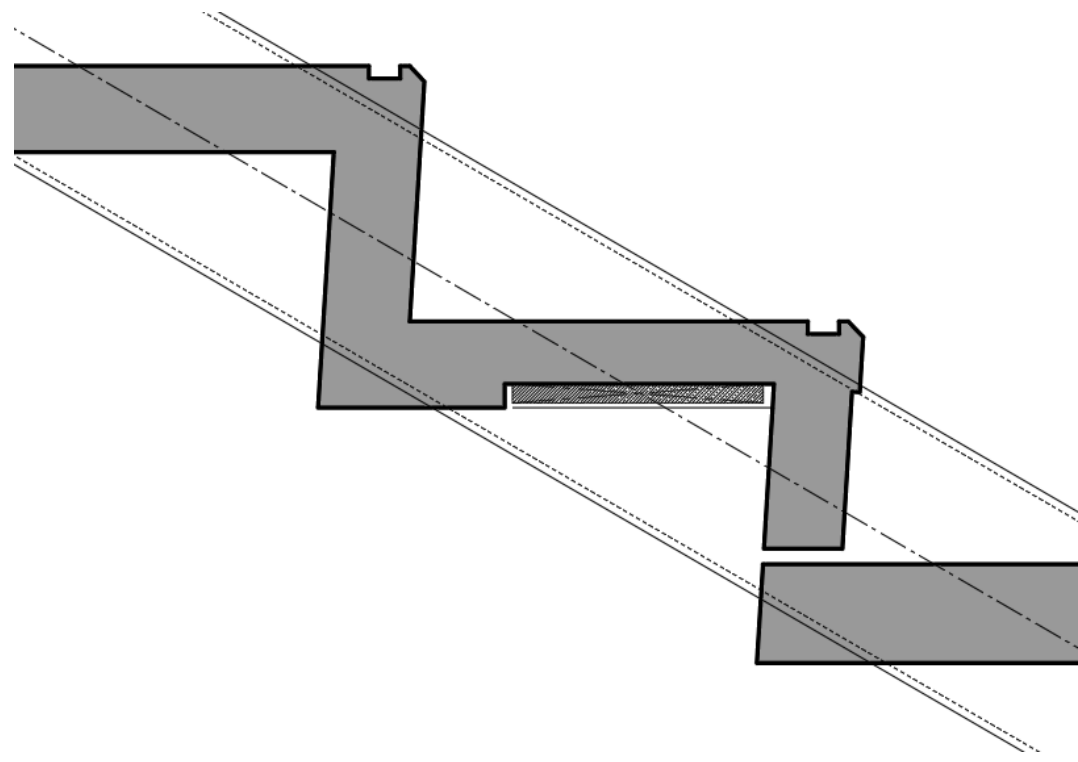
Galleries Lafayette Foundation Public staircase / OMA Architect

Localization : Paris 1st district_Galleries Lafayette Foundation / LBC+Jousselin prefabrication
Building typology : Foundation
Quantity : 4 floors (22 elements)
Function : Public staircase
UHPFRC : Ductal® G2 FM STT





Thickness of the stairs



Sectional view of the stairs

Stress limitation

Non-reinforced Ductal FO

- Compressive stress $\leq 0.6 f_{ck}$
- Tensile stress $\leq f_{ctfk}/K$

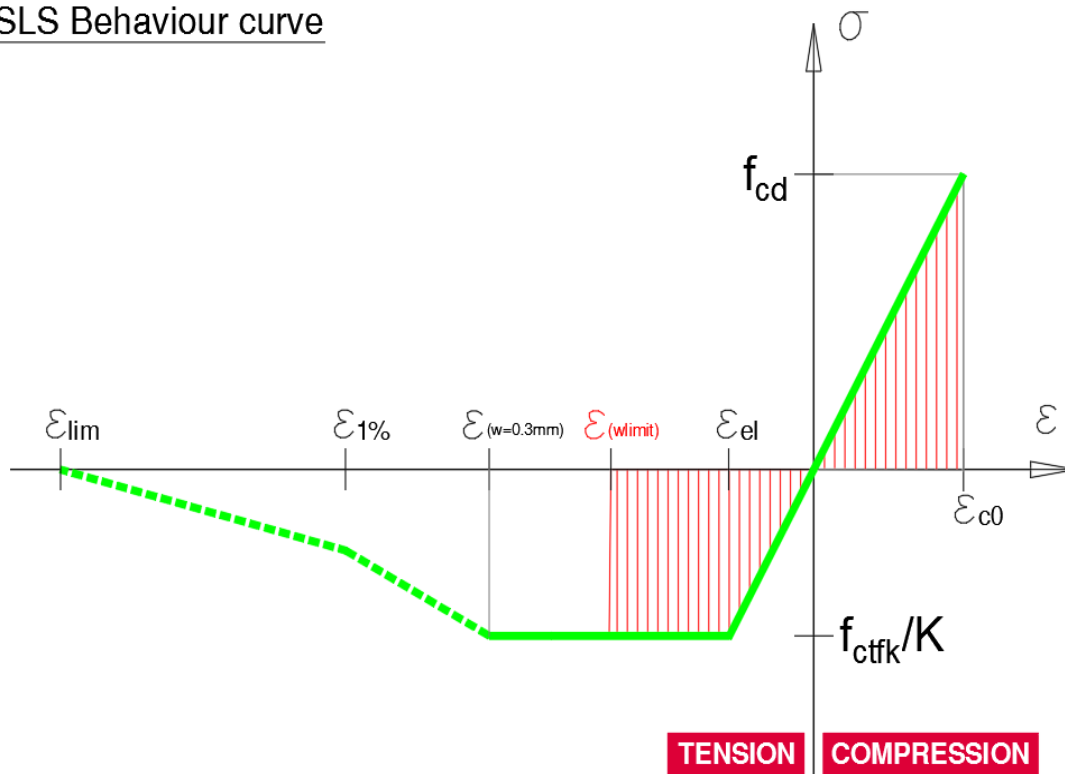
Crack control - Limitation of plastic behaviour

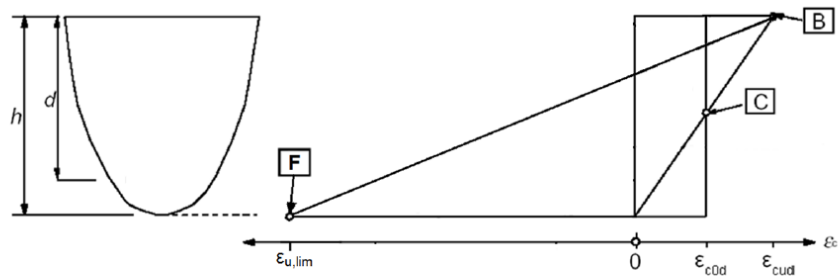
Table 7.201 — Recommended values of w_{max} (mm)

Exposure class	Members in reinforced UHPFRC and members in prestressed UHPFRC with unbonded tendons	Members in prestressed UHPFRC with bonded tendons	Members in non-reinforced and non-prestressed UHPFRC	
	Quasi-permanent load combination	Frequent load combination	Characteristic load combination	Frequent load combination
XD, XC1	0.3	0.2	0.3	0.3
XC2, XC3, XC4	0.2	0.1	0.2	0.1
XD1, XD2, XD3 XS1, XS2, XS3	0.1	Tensile limitation to $2/3 \cdot \min(f_{ctm,el}, f_{ctfm}/K_{gbbal})$	0.1	0.05

Extract of NF P18-710[2.2]

SLS Behaviour curve

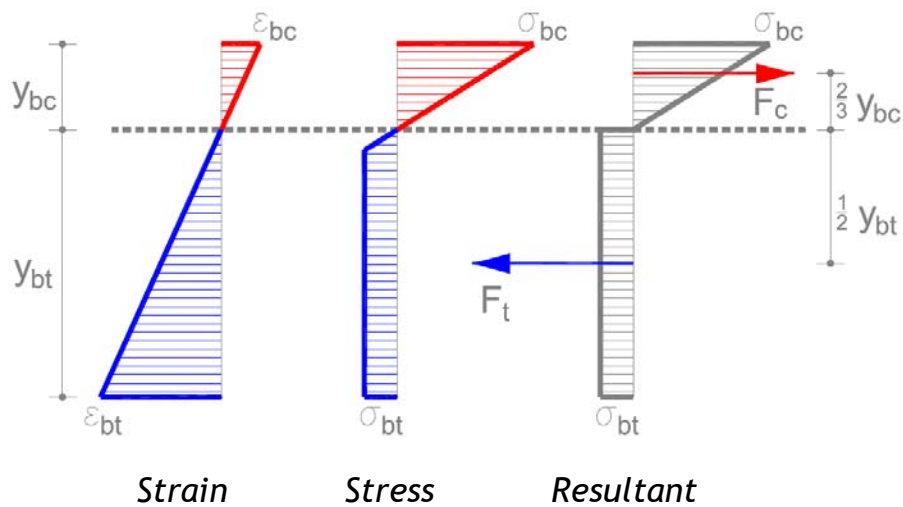




- B** - UHPFRC compression strain limit
- C** - UHPFRC pure compression strain limit
- F** - UHPFRC tension strain limit

Figure 6.201 — Diagram of relative deformations admissible in ultimate limit state for non-reinforced UHPFRC

Extract of NF P18-710



Stress and strain distribution at ULS

Acceptable strain distributions

Bending with axial force : 3 pivot limits

Pivot F : limit lengthening $\epsilon_{u,lim}$ of the UHPFRC on the most tensioned fiber of the section

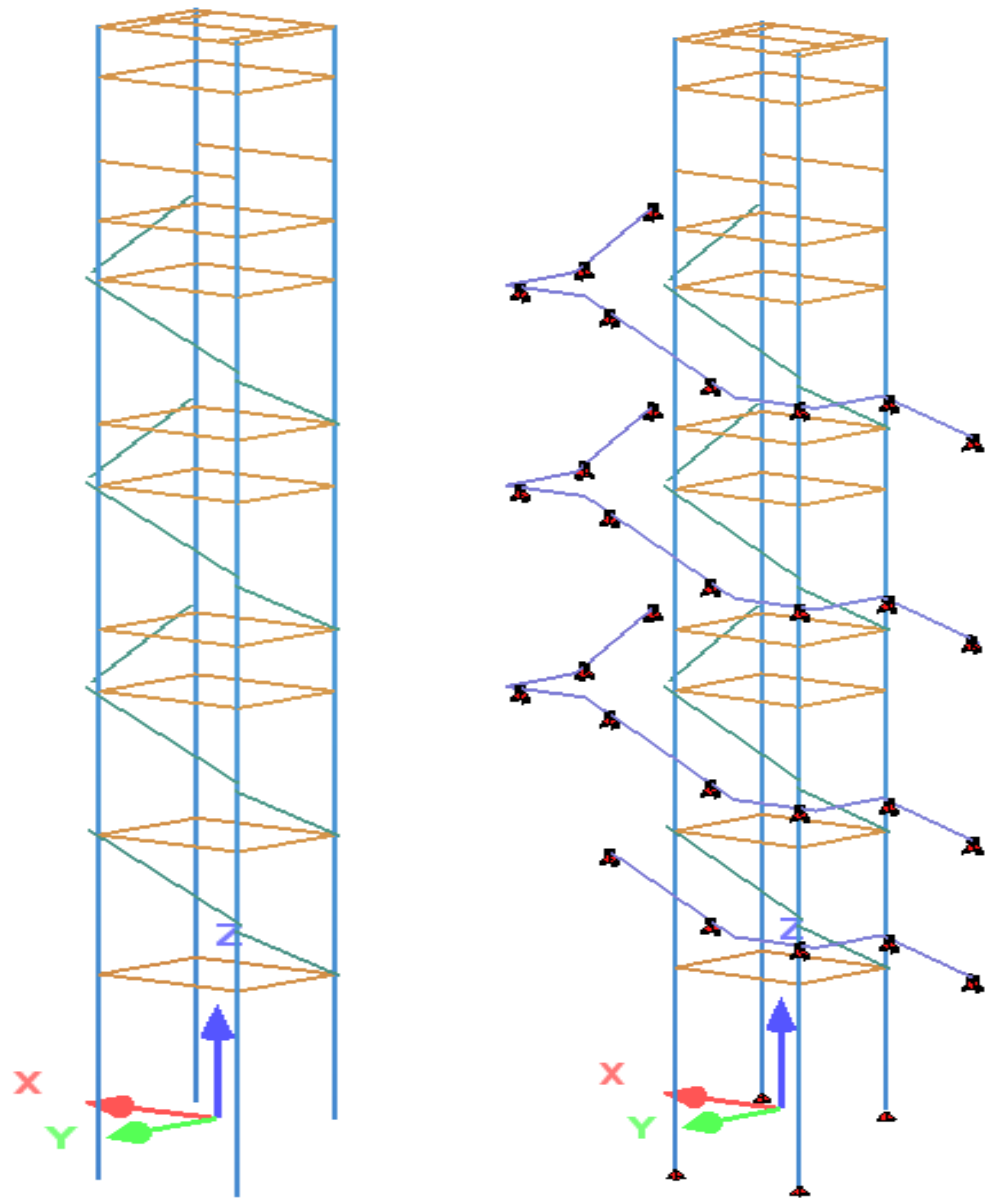
Pivot B : limit shortening strain ϵ_{cud} of the UHPFRC on the most compressed fibre of the section

Pivot C : limit shortening strain ϵ_{c0d} of the UHPFRC under compression for the part due only to the axial force

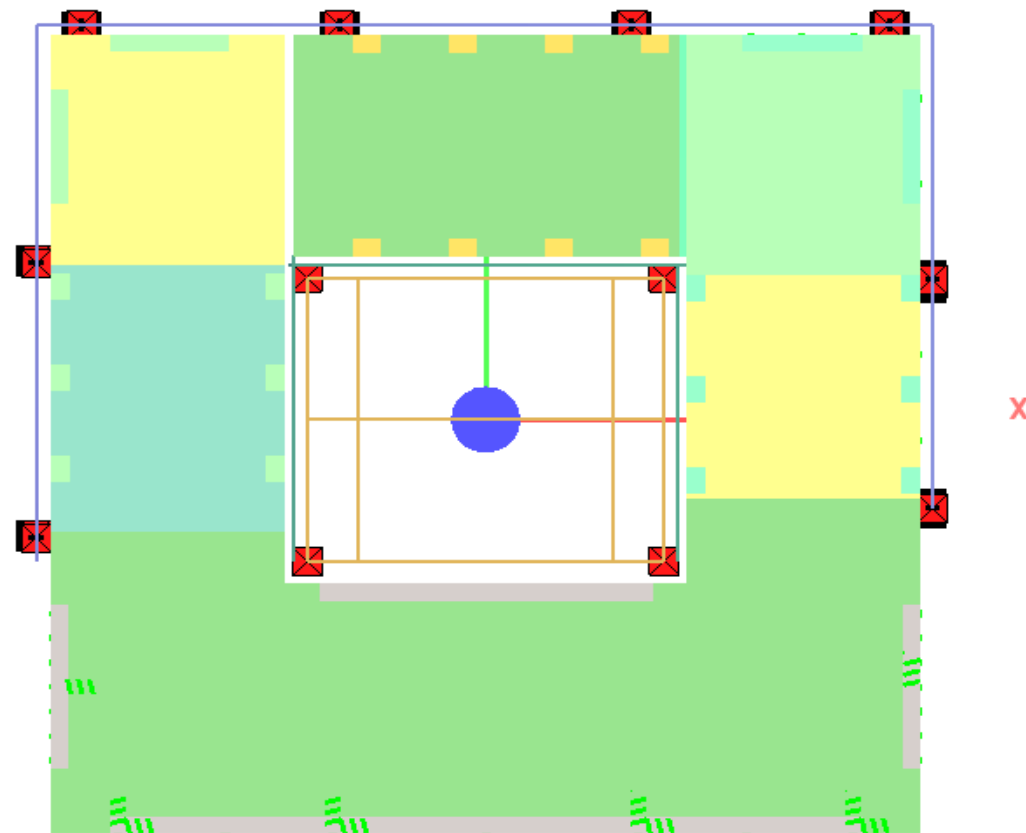
Three resisting shear terms

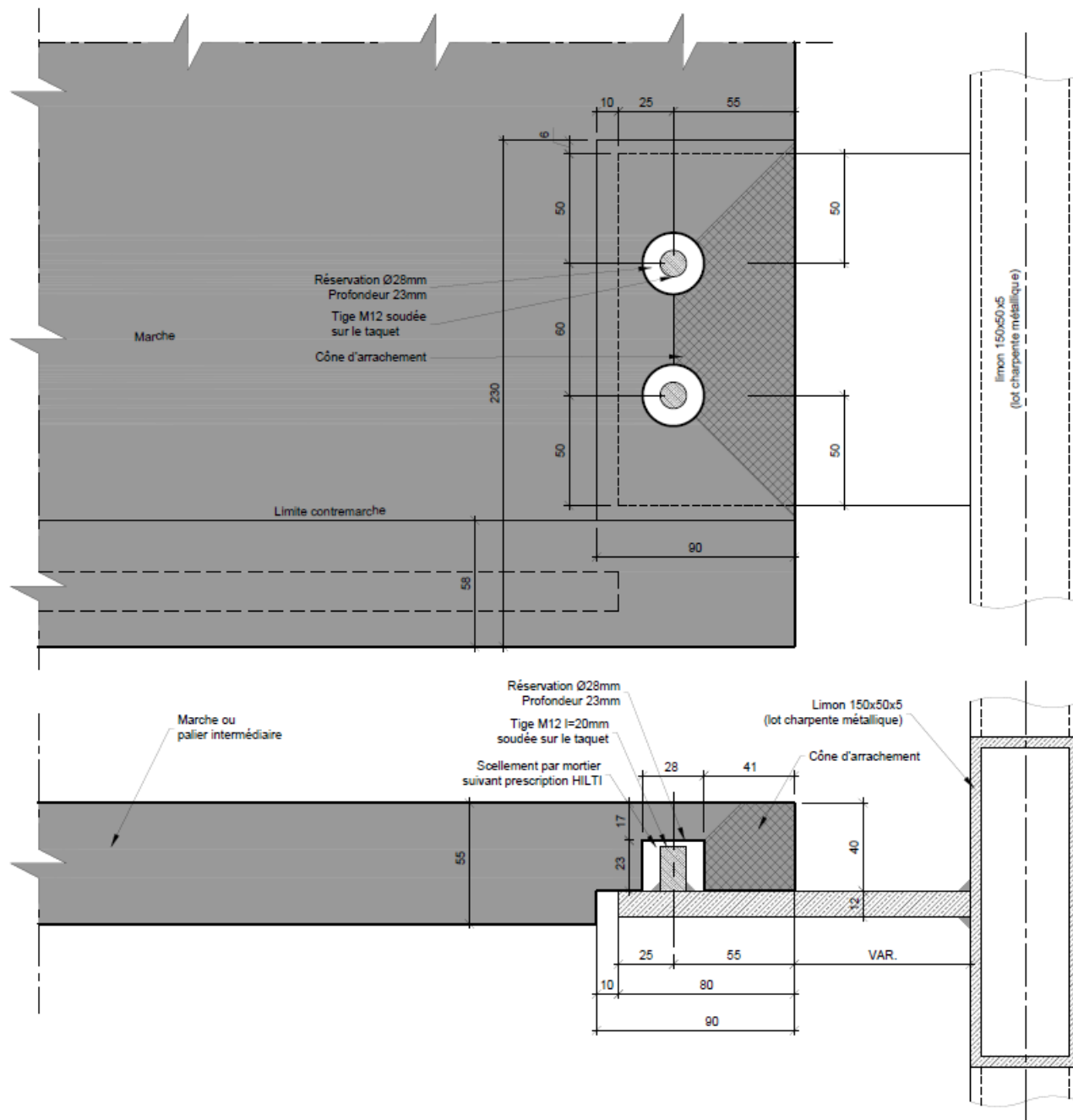
Resisting shear force

- UHPFRC contribution term
- Fiber contribution term
- Transverse reinforcement contribution term



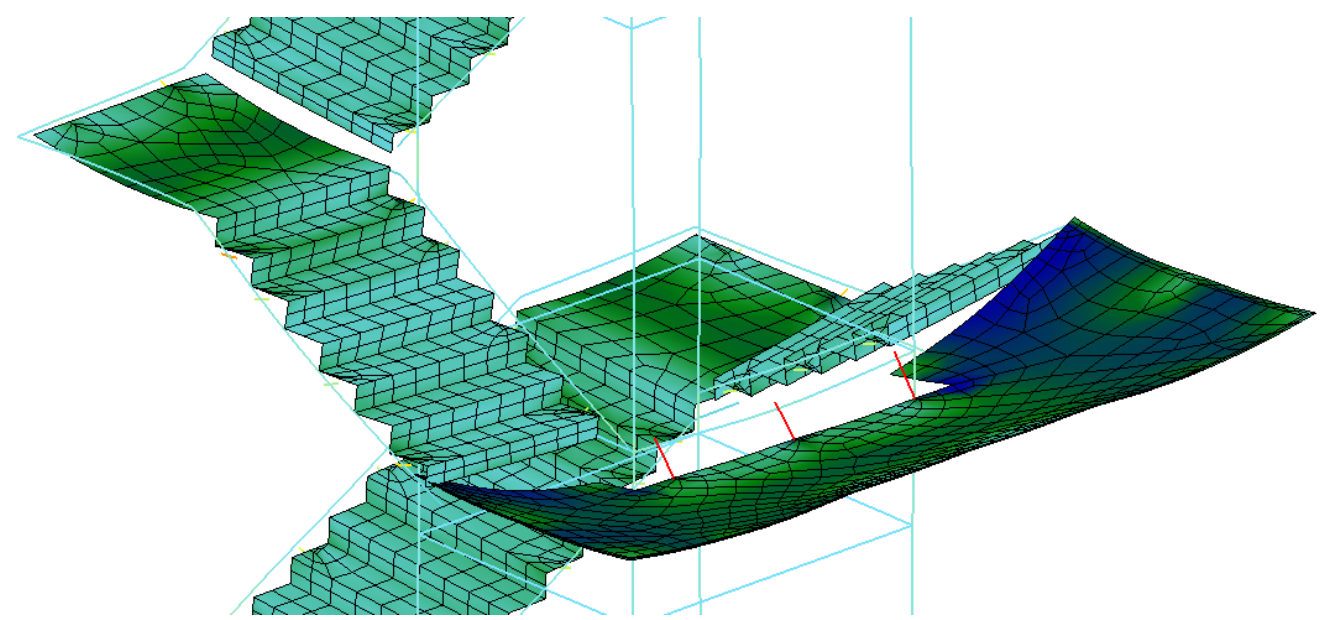
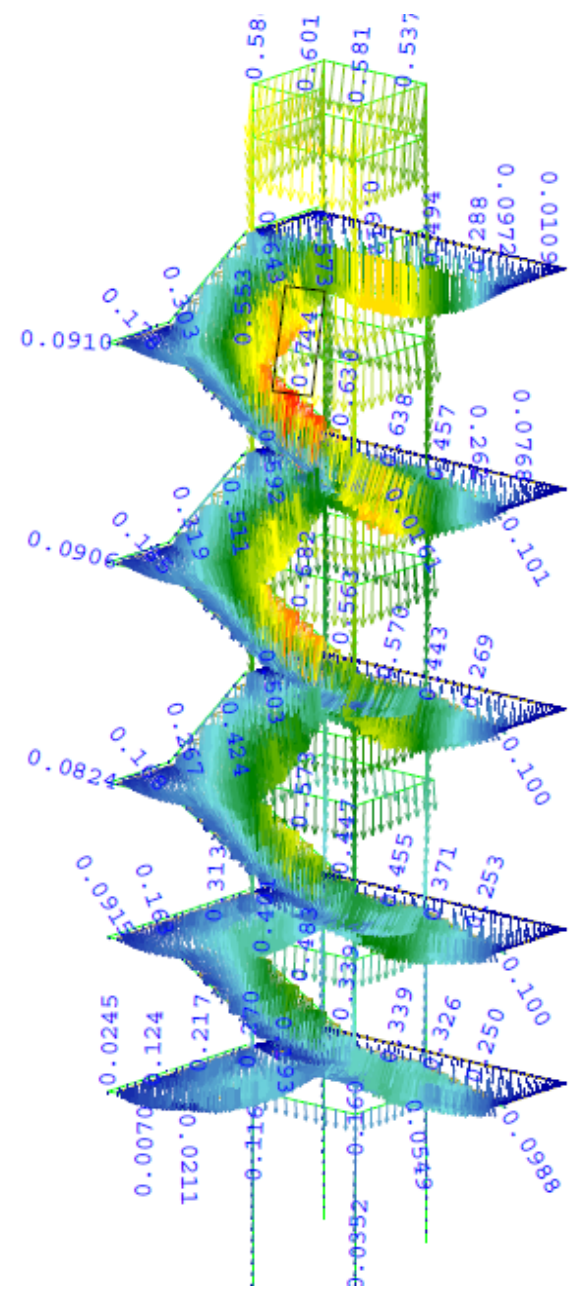
Horizontal stability





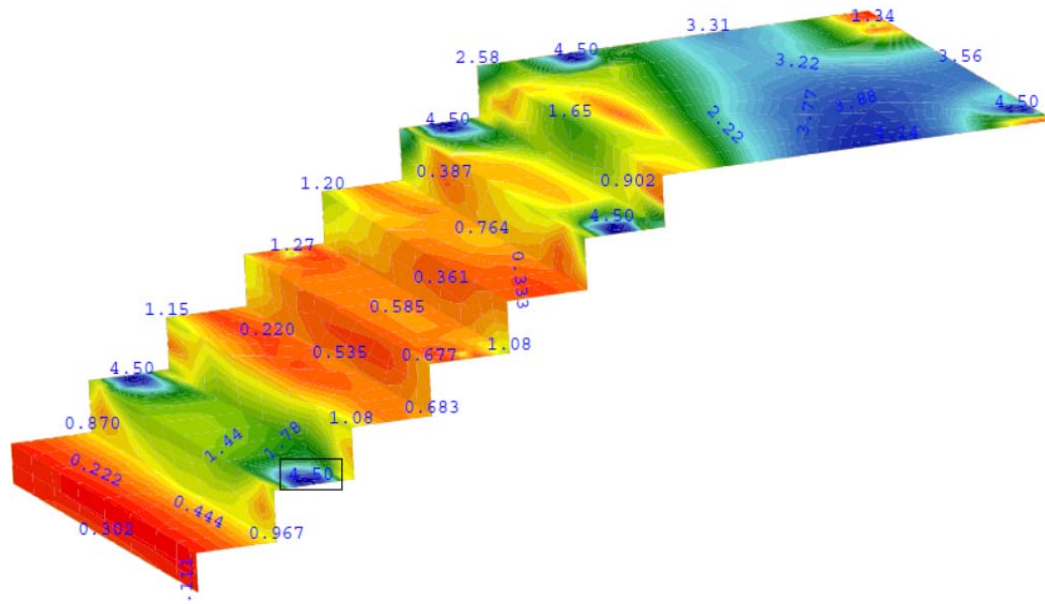
Vérification de la cône d'arrachement
Verification of cone of tearing

A. Interactions between metal frame and Ductal element

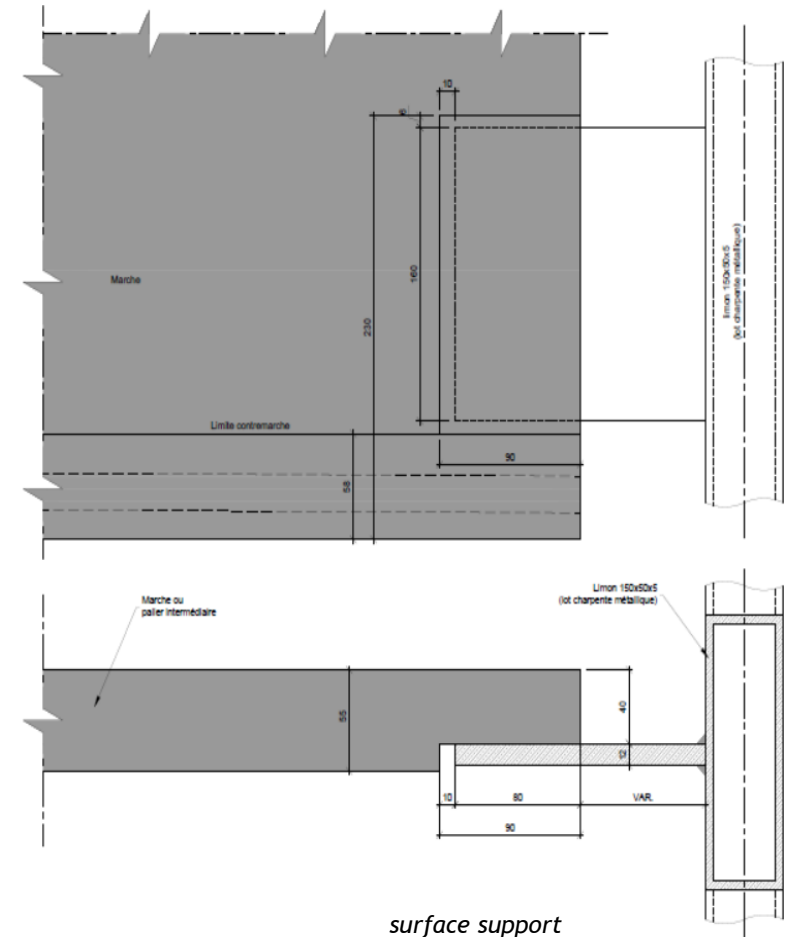


The displacement of the metal frame has a significant impact on the behavior of the elements in Ductal, so it's the key point to have a global modelling to take into account the interactions between the metal frame and Ductal element.

B. Redistribution of peak stress



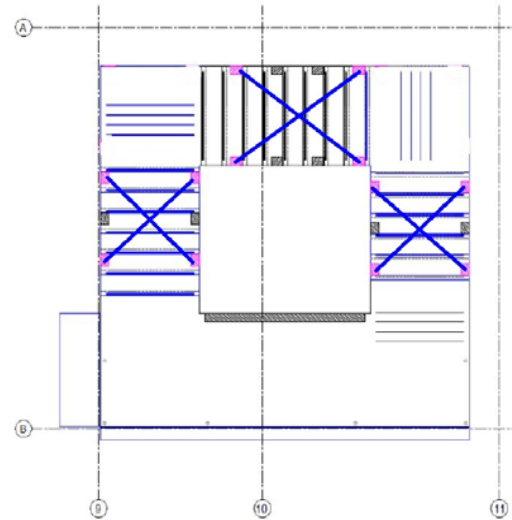
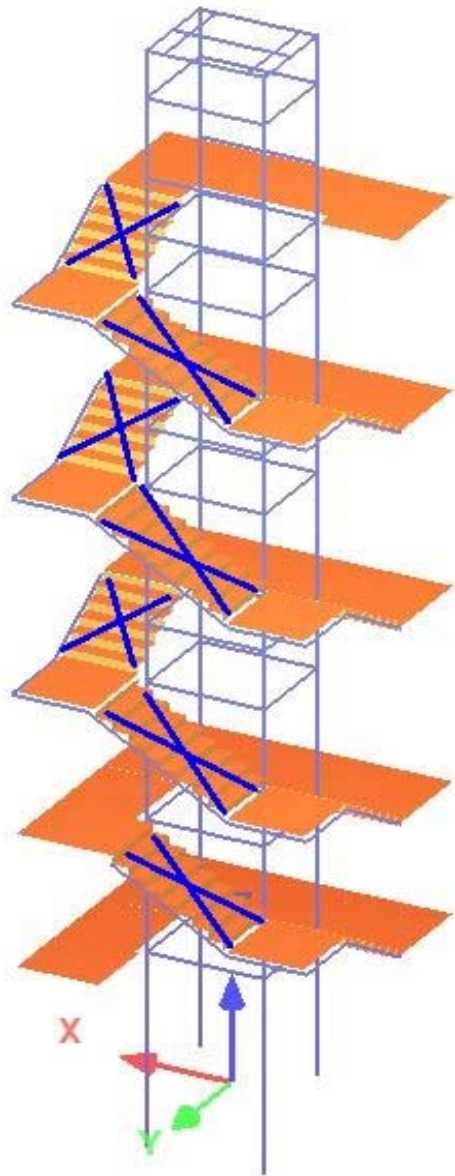
Peak stress at the supports



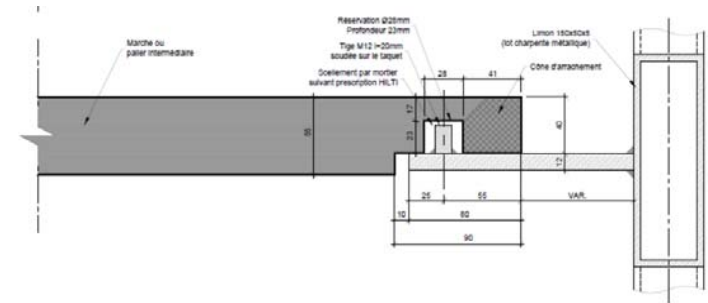
surface support

The peak stress occurs at the supports. In the modelling, the punctual support points should be avoided. It could be replaced by a surface support to have enough area for the redistribution of the peak stress.

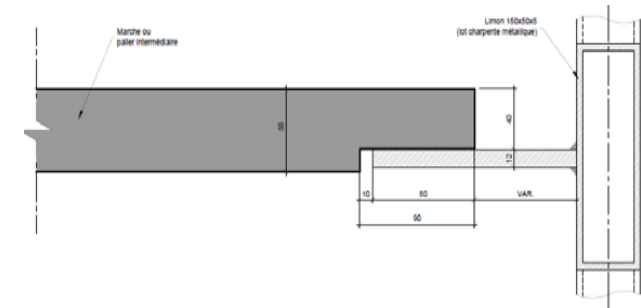
C. Optimization of horizontal clamping



Bracing system



First type of support
Horizontal clamping and vertical support



Second type of support
Vertical support only

Every piece of stair play a role of bracing system, to make it efficient and to transfer the lateral force easier, 2 ranges of horizontal clamping is made for each piece.

HERITAGE 2024
ECLATÉ

Panneau solaire

Toit en béton fin
Système d'écoulement d'eau
de pluie

Structure acier
inoxydable poli

Toiture en appui sur les
poteaux centraux

Structure dissociée de la
toiture en BFUP

Charges dynamiques
restant à déterminer

Zone de boxe
Sac anti lacération

Steps Stones
Pierres gravées

Revêtement de sol en
pneu déchiqueté

Cylindre acier inoxydable
Gravé

Abdos-gainage
inox poli

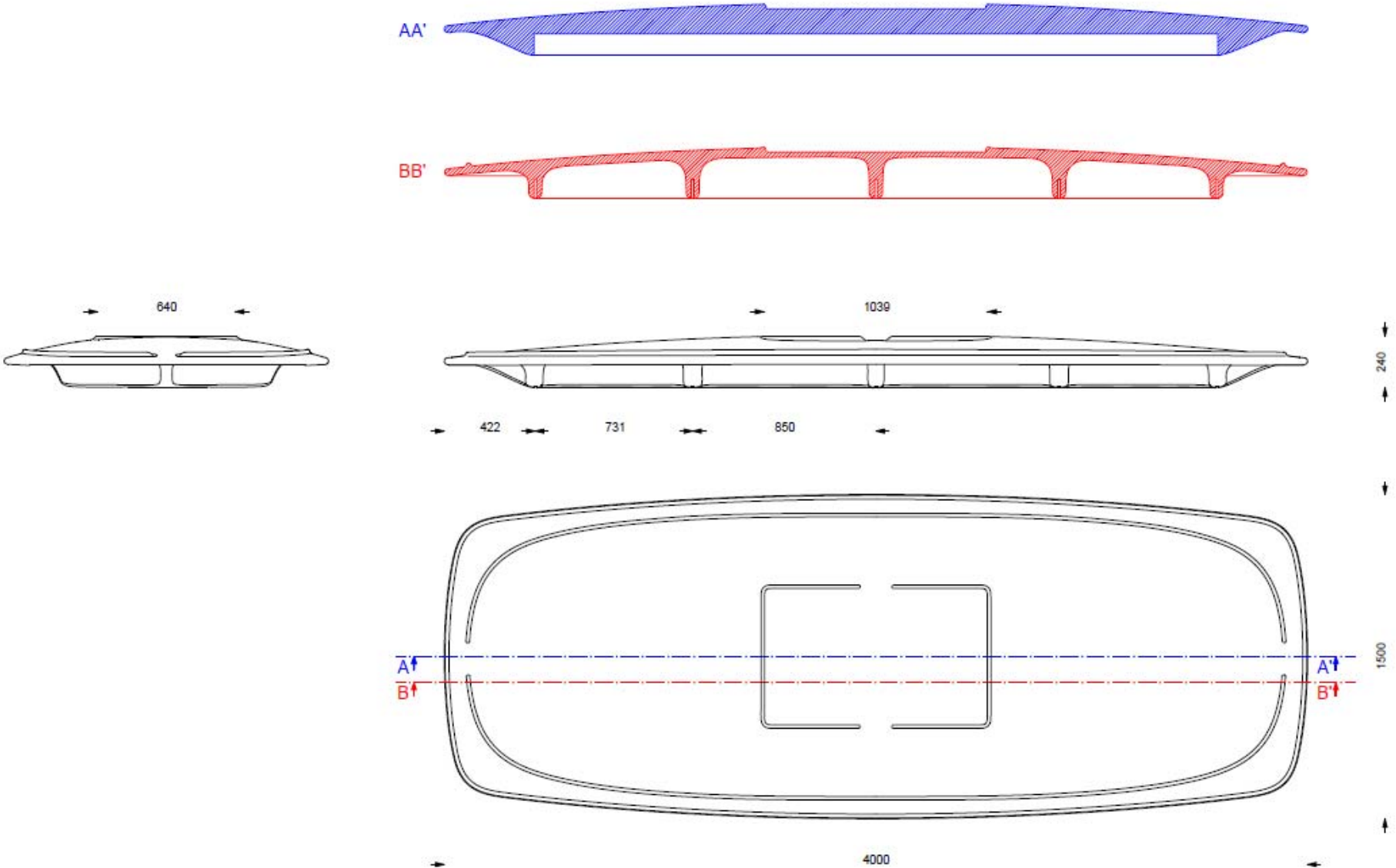
Tirage

France 2024 / STARCK NETWORK Designer

Dimensions et graphisme à préciser

STARCK*

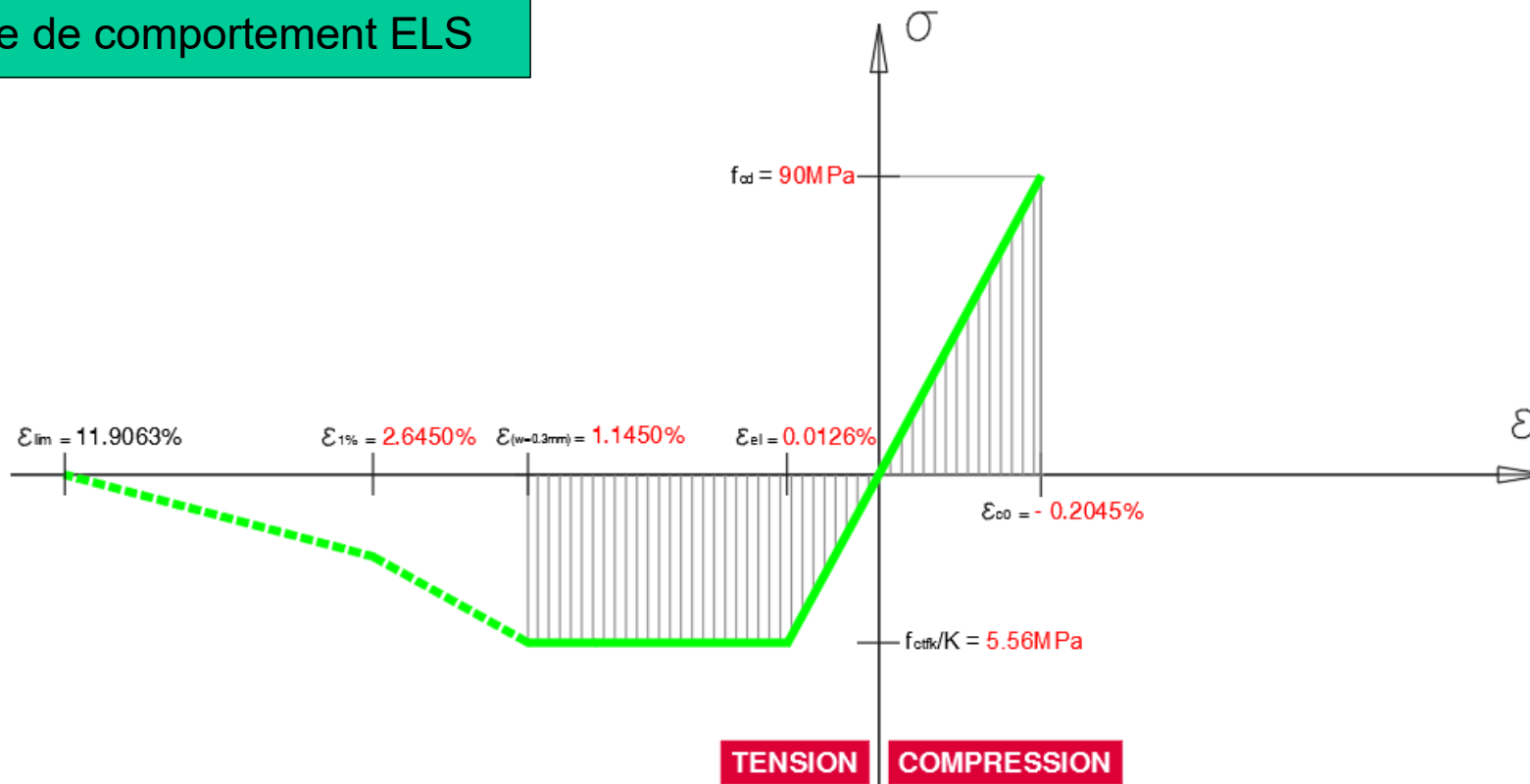
GEOMETRIE ET MATERIAU



CARTE D'IDENTITE MATERIAU SMART^{UP} [STRUCTURE] Gris 2,5% FM



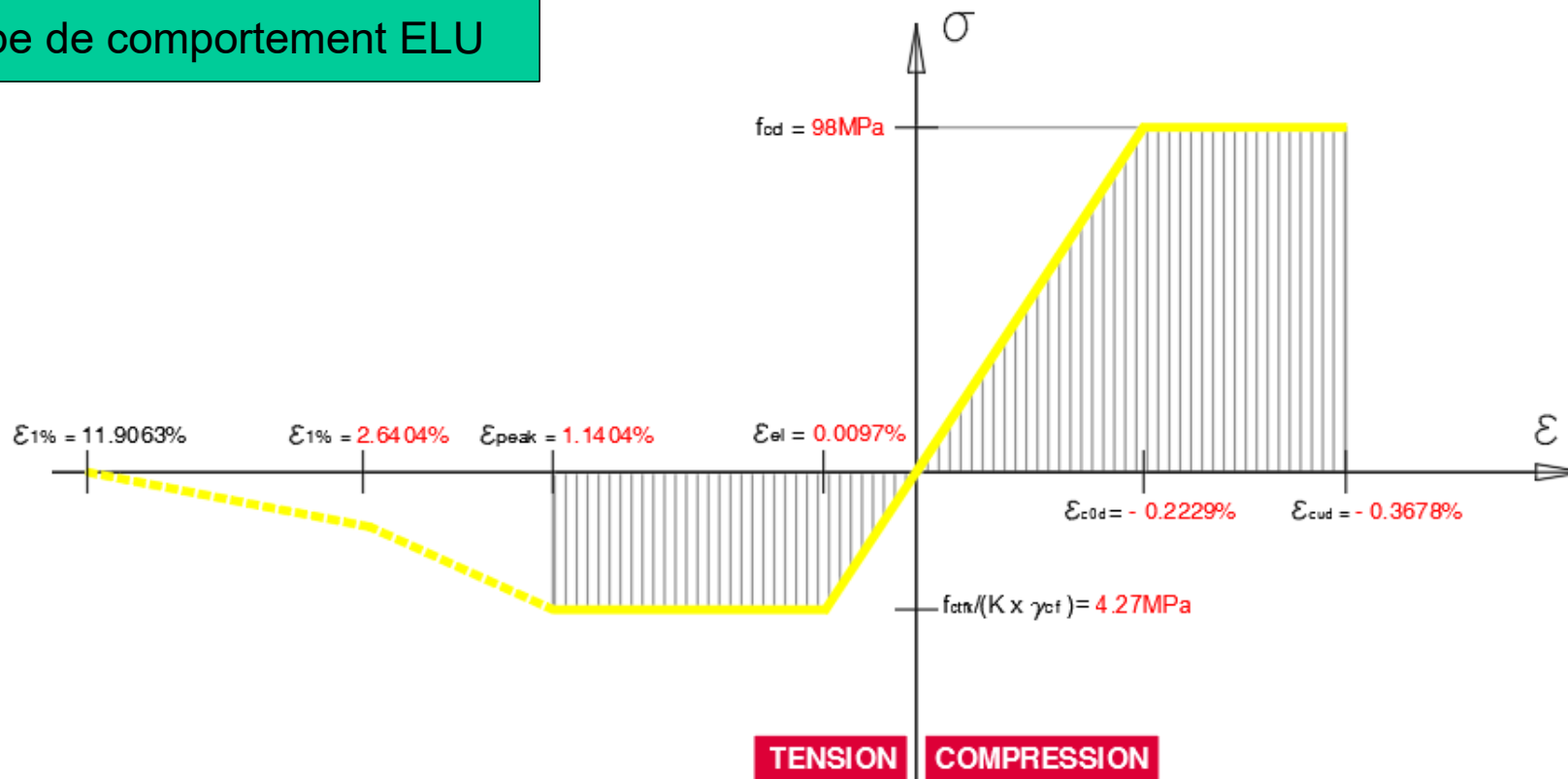
Courbe de comportement ELS



CARTE D'IDENTITE MATERIAU SMART^{UP} [STRUCTURE] Gris 2,5% FM

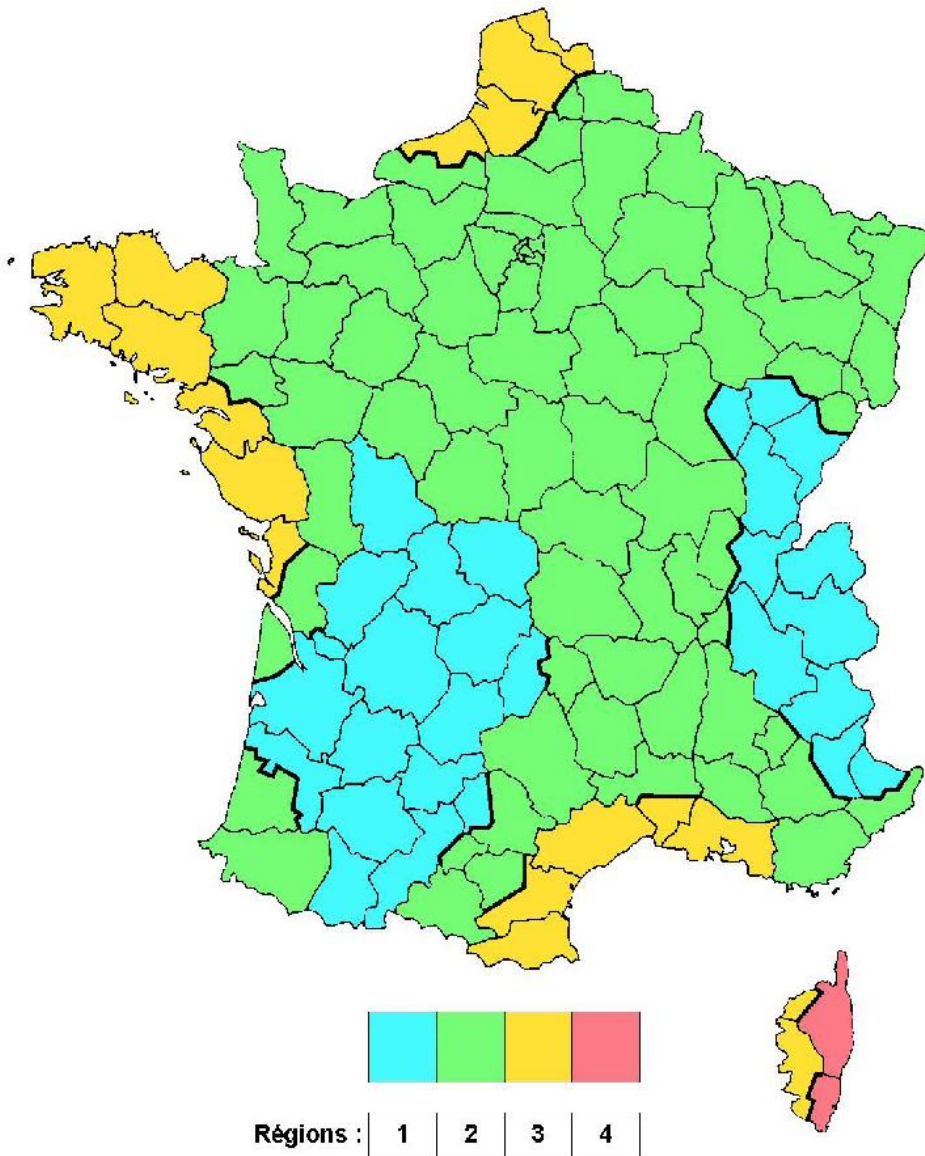


Courbe de comportement ELU



Actions du vent

Pression dynamique de pointe q_p (**à confirmer**)

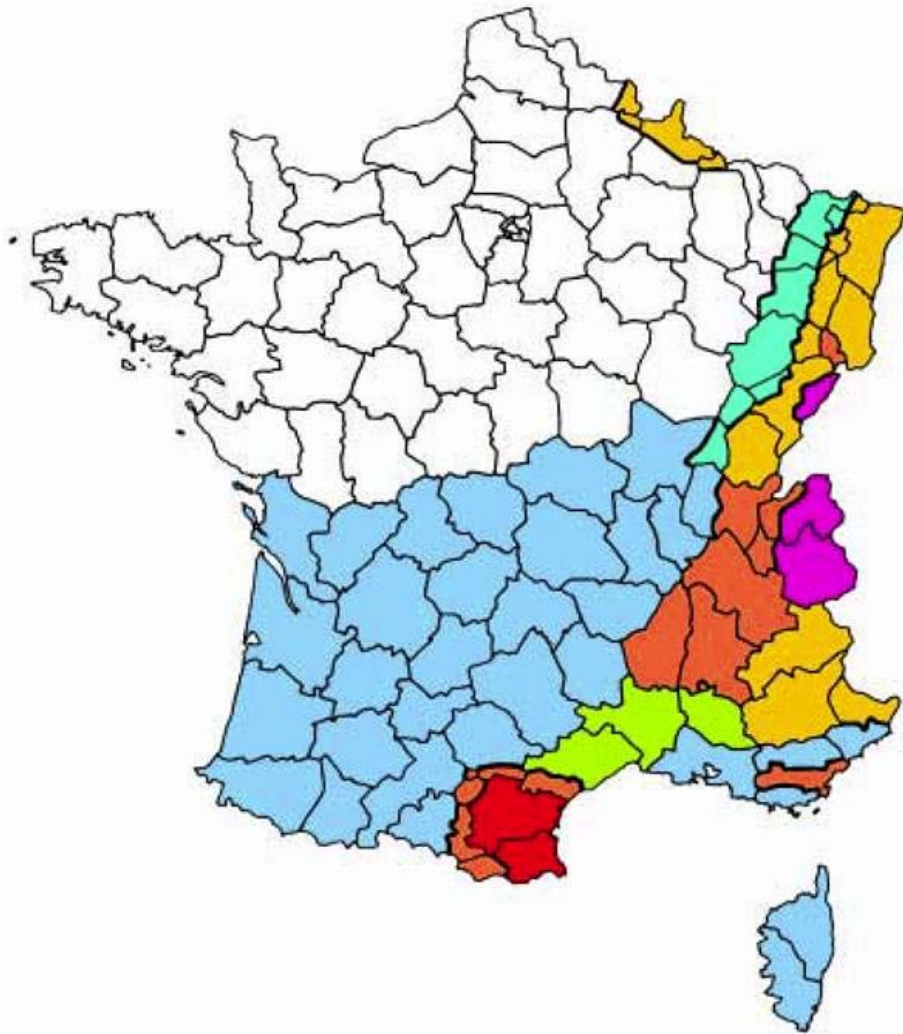


	Cas 1	Cas 2	Cas 3	Cas 4	Cas 5	Cas 6
Zone du vent	1	2	3	4	Réunion	2
Vitesse de référence [m/s]	22	24	26	28	32	24
Vitesse de référence [km/h]	79.2	86.4	93.6	100.8	115.2	86.4
Catégorie de rugosité du terrain	0	0	0	0	0	II
Hauteur du projet [m]	3.5	3.5	3.5	3.5	3.5	3.5
Pression dynamique de pointe q_p [Pa]	688	819	961	1115	1456	607

Catégorie de terrain	
0	Mer ou zone côtière exposée aux vents de mer, lacs et plans d'eau parcourus par le vent sur une distance d'au moins 5km
II	Rase campagne, avec ou non quelques obstacles isolés (arbres, bâtiments etc.) séparés les uns des autres de plus de 40 fois leur hauteur
IIIa	Campagne avec des haies; vignobles; bocage; habitat dispersé
IIIb	Zones urbanisées ou industrielles; bocage dense; vergers
IV	Zones urbaines dont au moins 15% de la surface sont recouvertes de bâtiments dont la hauteur moyenne est supérieure à 15m; forêts

La pression dynamique de pointe q_p retenue pour cette étude de faisabilité est de **961Pa** (0.916kN/m²), **elle est indicative du niveau du pression à prendre en compte**

CHARGEMENT



Charges de neige

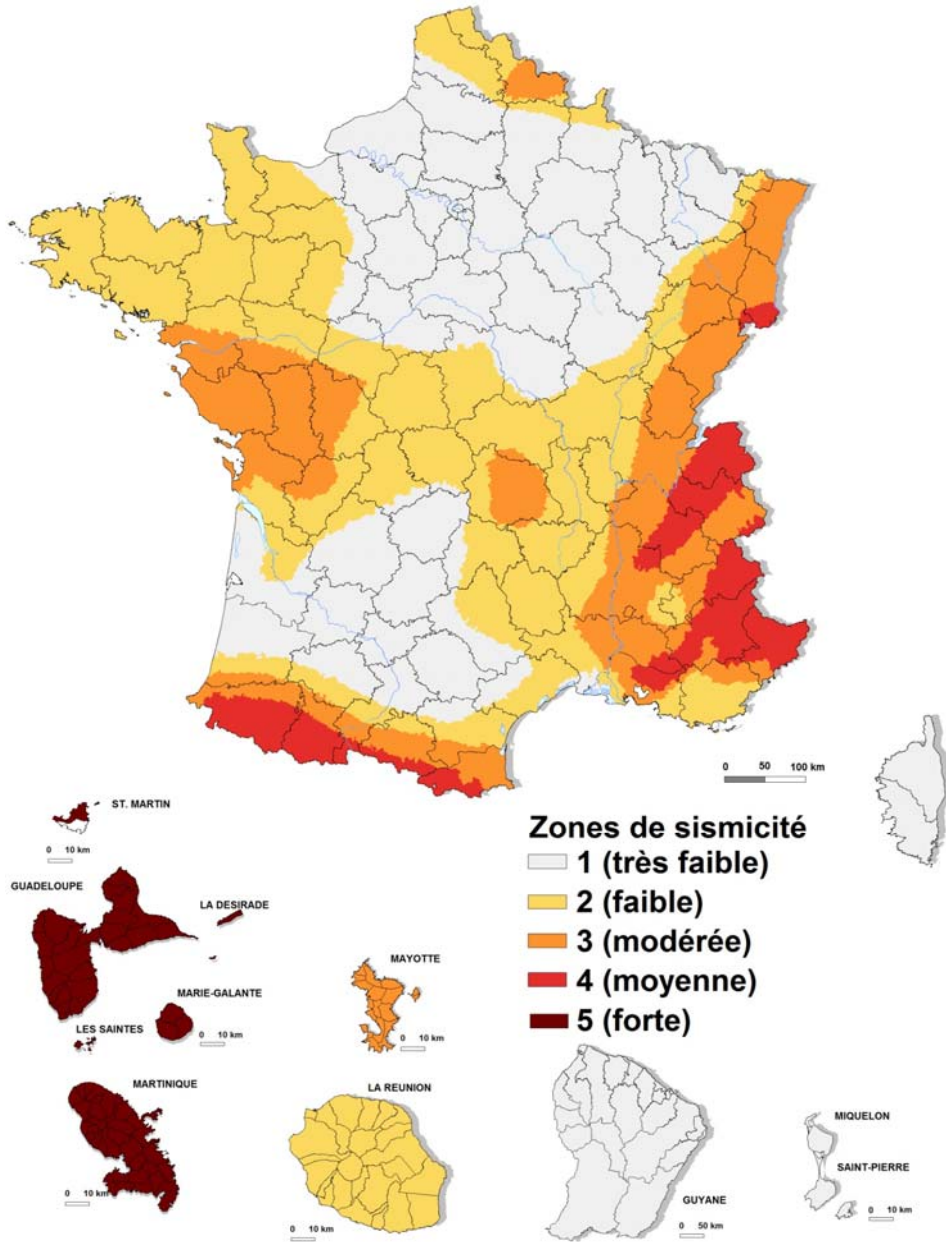
Sans prendre en compte des charges exceptionnelles de neige

	Cas 1	Cas 2	Cas 3	Cas 4	Cas 5	Cas 6	Cas 7	Cas 8
Régions	A1	A2	B1	B2	C1	C2	D	E
Valeur caractéristique (S_k en kN/m^2)	0.45	0.45	0.55	0.55	0.65	0.65	0.9	1.4
Coefficient de forme μ_1 (Toiture à un seul)	0.8	0.8	0.8	0.8	0.8	0.8	0.8	0.8
Coefficient d'exposition C_e	1	1	1	1	1	1	1	1
Coefficient thermique C_t	1	1	1	1	1	1	1	1
Charge de neige (kN/m^2)	0.36	0.36	0.44	0.44	0.52	0.52	0.72	1.12

Le cas le plus défavorable est de **1.12 kN/m^2** dans les zones E.

Régions	A1	A2	B1	B2	C1	C2	D	E
Valeur caractéristique (S_k en kN/m^2) de la charge de neige sur le sol à une altitude inférieure à 200m	0.45	0.45	0.55	0.55	0.65	0.65	0.9	1.4
Valeur de calcul S_{Ad} de la charge exceptionnelle de neige sur le sol	-	1	1	1.35	-	1.35	1.8	-

CHARGEMENT



Actions sismiques

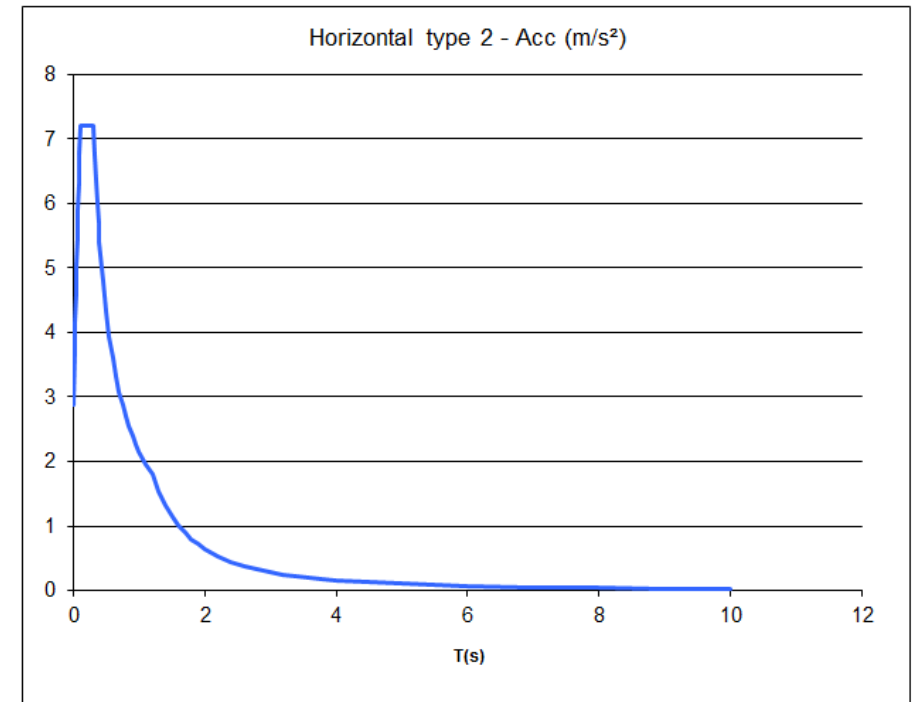
Zone de sismicité : ZONE 4

Type de sol: D

Catégorie d'importance: II

Rapport $S_d(T1)/g$

0.73 = $7.2m/s^2 / 9.8m/s^2$



Epaisseur courante : 35 mm

Nervure BFUP : 60x90X5 mm

Nervure ACIER : 80x40X3 mm

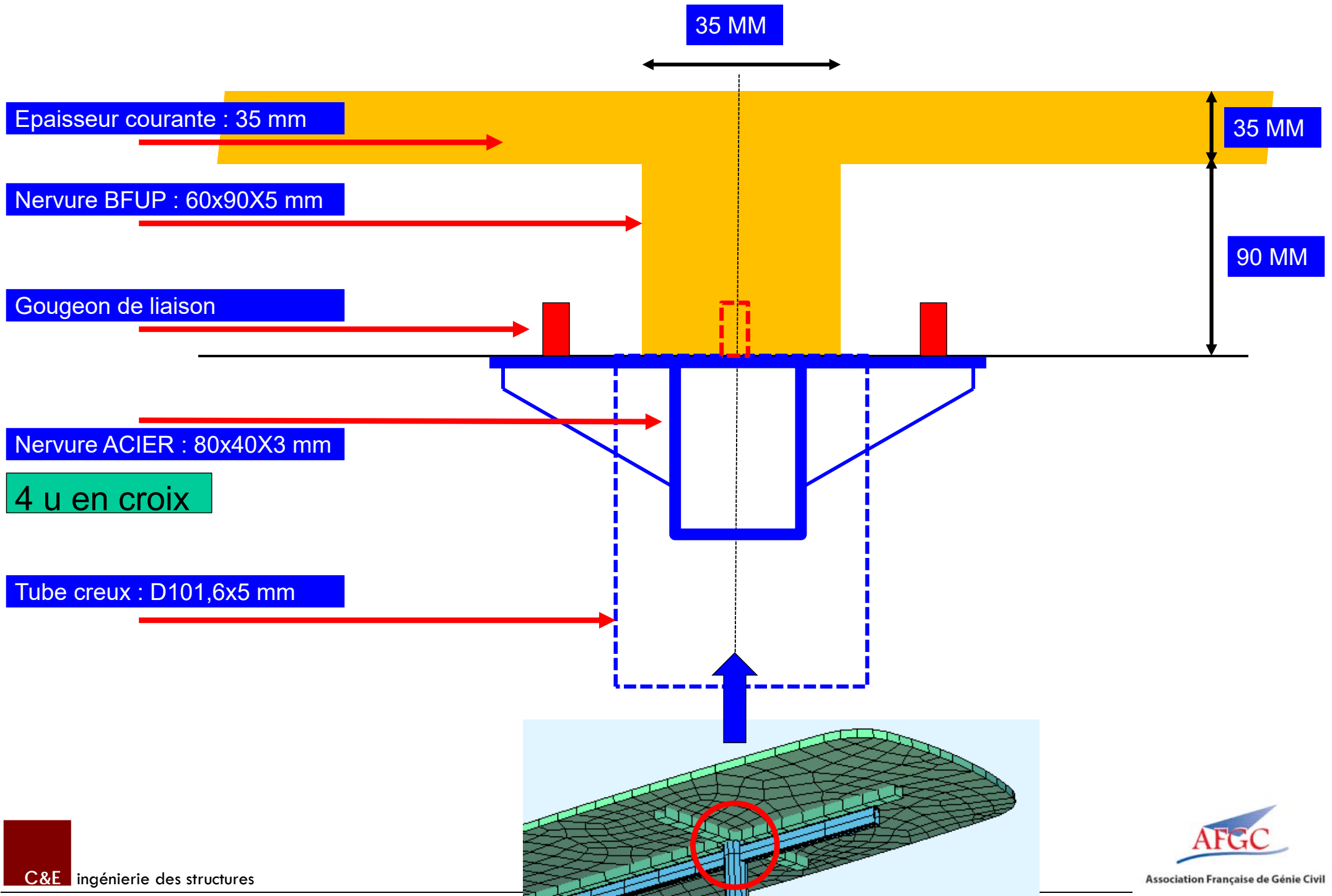
Tube creux : D101,6x5 mm

Epaisseur plaque de toiture en
BFUP : 35 mm

Hauteur du raidisseur en
BFUP : 60x90 mm

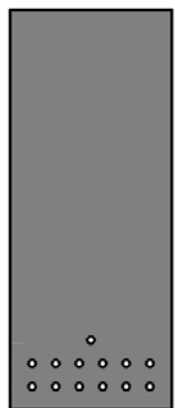
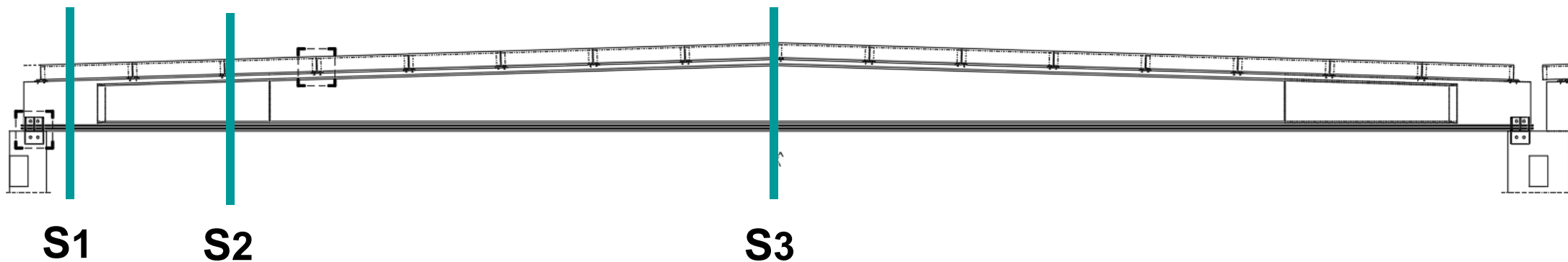
Diamètre des tubes en acier
INOX : 101,6mm x 5

ENCASTREMENT SUR LES NERVURES

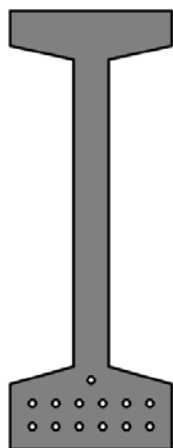




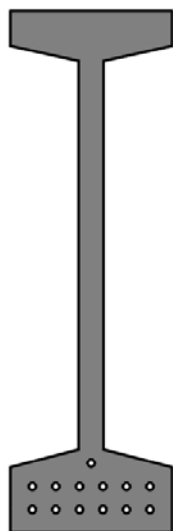
Localization : China
Building typology : Pre stressed beam
Quantity : 25 m long
Function : Structure supporting a Roof
UHPFRC : Ductal® FM STT



SECTION 1



SECTION 2



SECTION 3

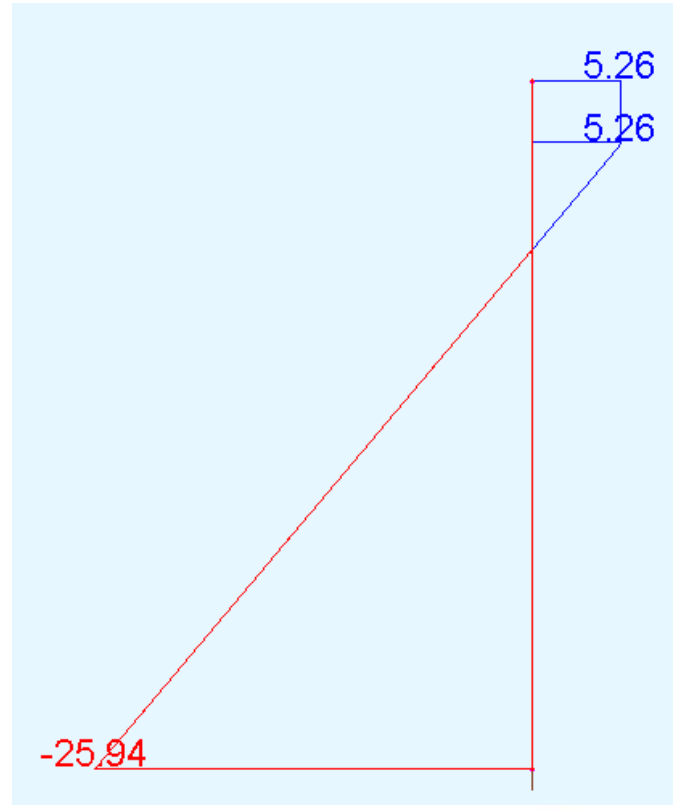
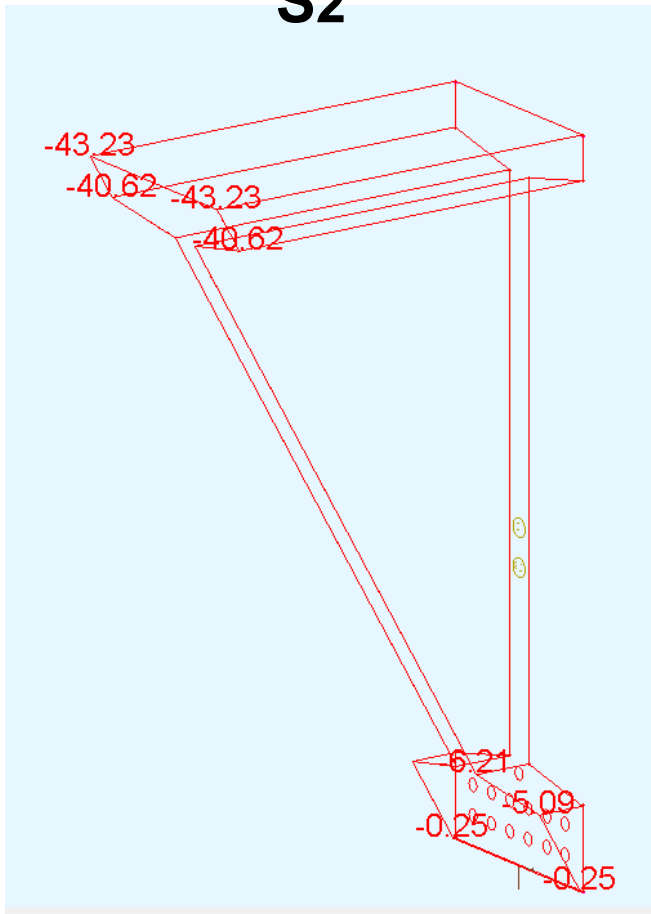
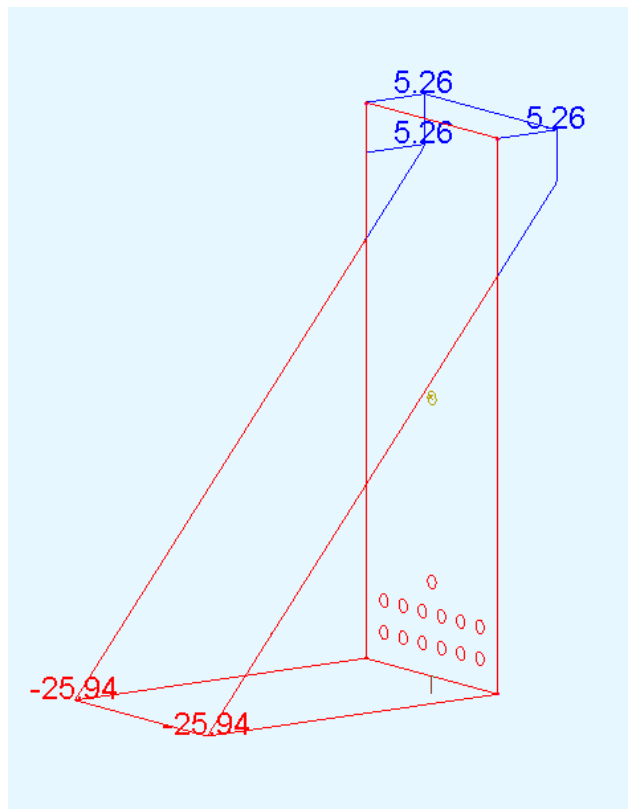
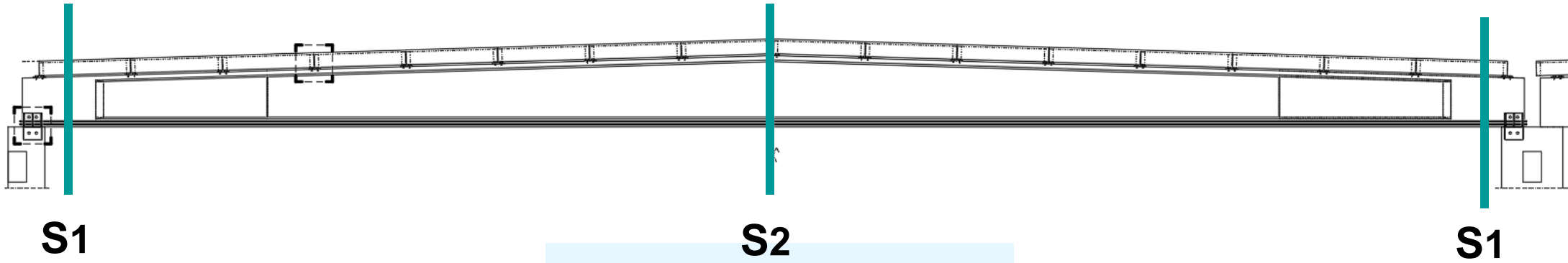
PARTICULARITIES OF BEAM

Span	24.54m
Maximum height	1.1731m
Minimum height	0.805m
Slope	3%
Width of the upper and lower flange	0.324m
Thickness of the upper flange	0.07m
Thickness of the lower flange	0.13m
Thickness of the web	0.05m
Height of the variable part of flange	0.03m

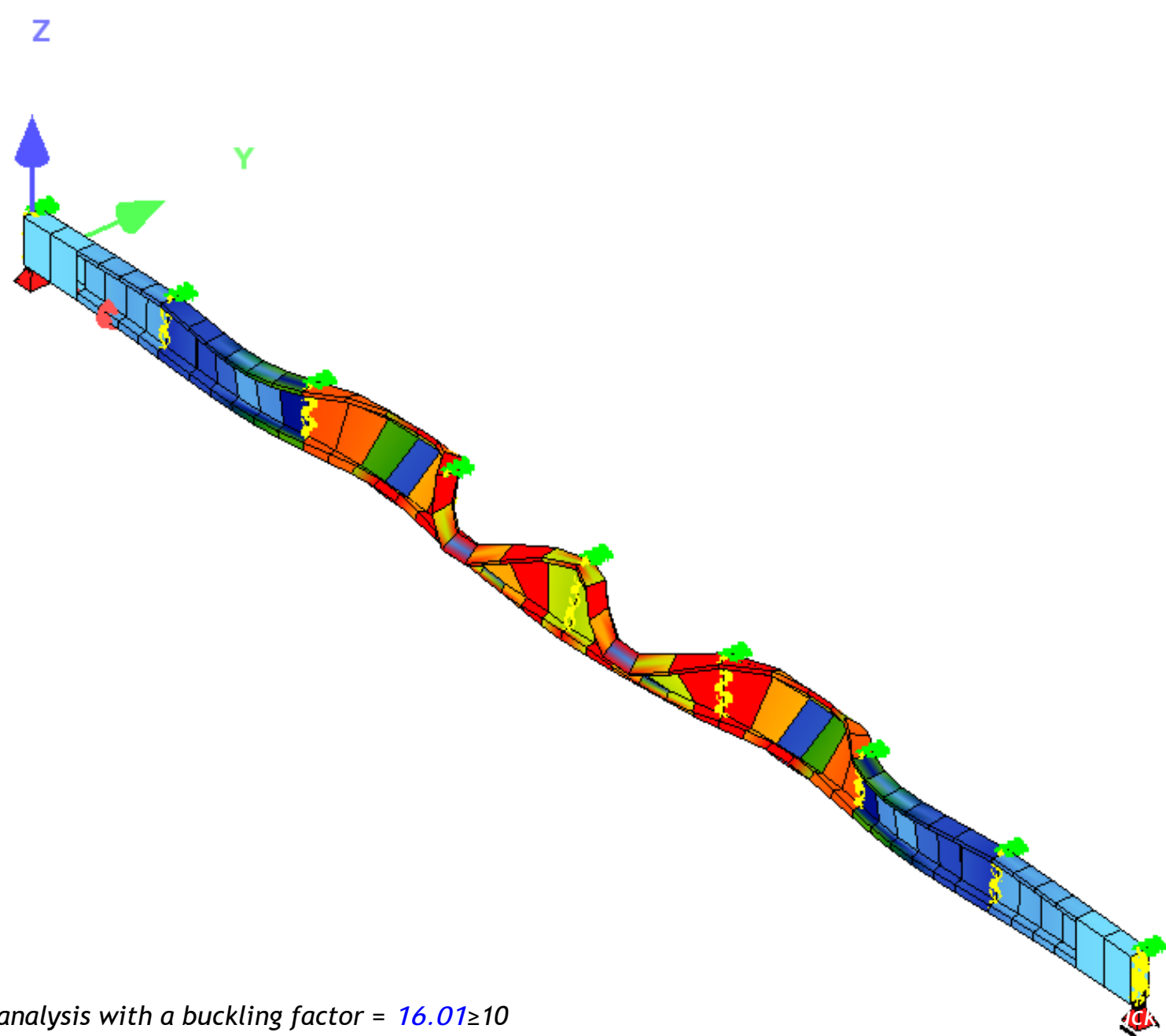
Pre-tensionned tendon (Diameter)	15.2mm
Number of pre-tensionned tendon	13 units

Statically determinate beam
support conditions :
axial blocking at one end of the beam
axial slippery at the other end

Structural analysis_ SLS_Stress limitation

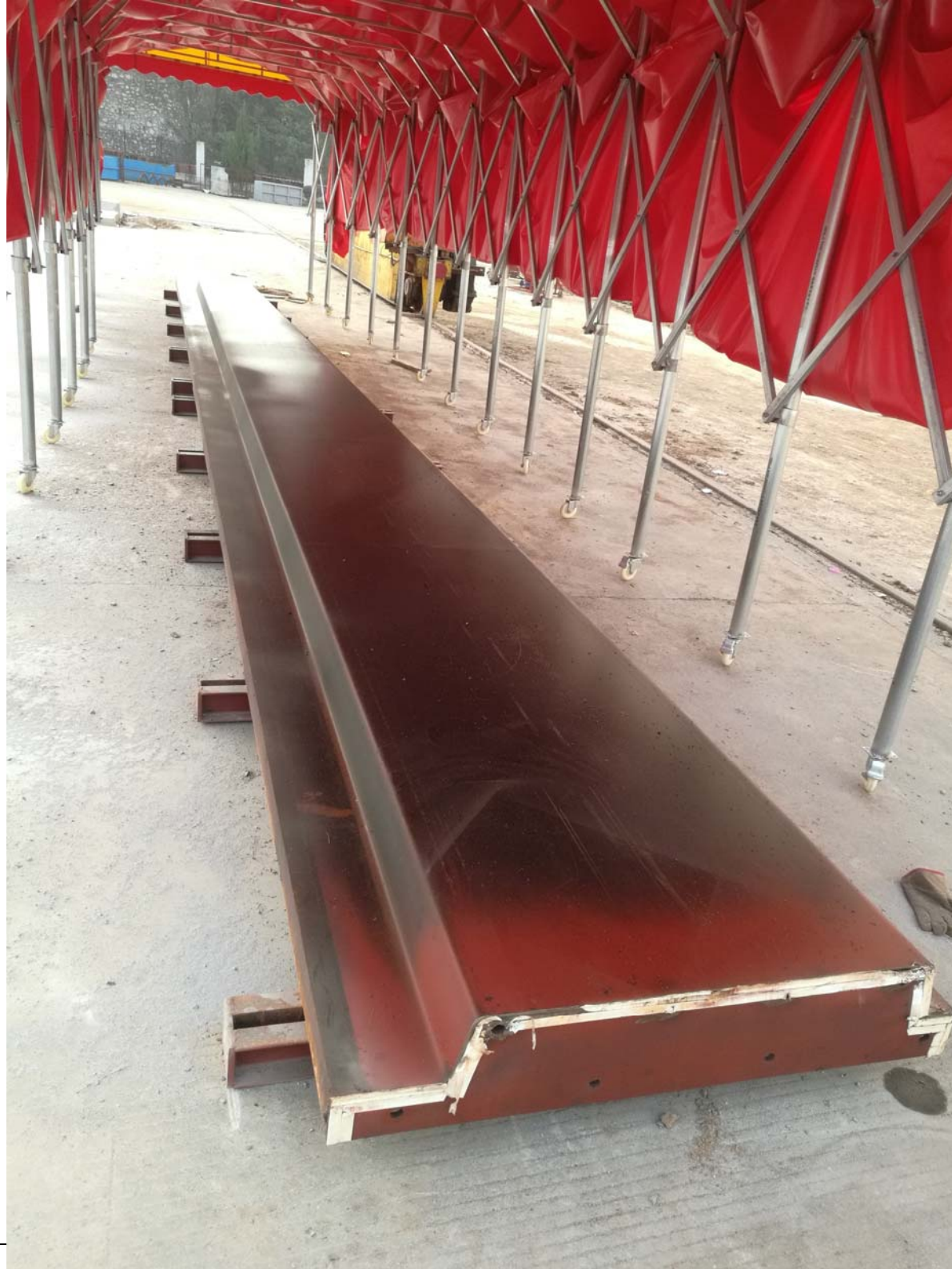


Characteristic combination : Stress distribution at mi-span and at the end



First mode of buckling analysis with a buckling factor = $16.01 \geq 10$

19.96



Testing until the beam is broken





Arras First world war memorial, France / AAPP Architect

Localization : Arras France, Eiffage Prefabricator

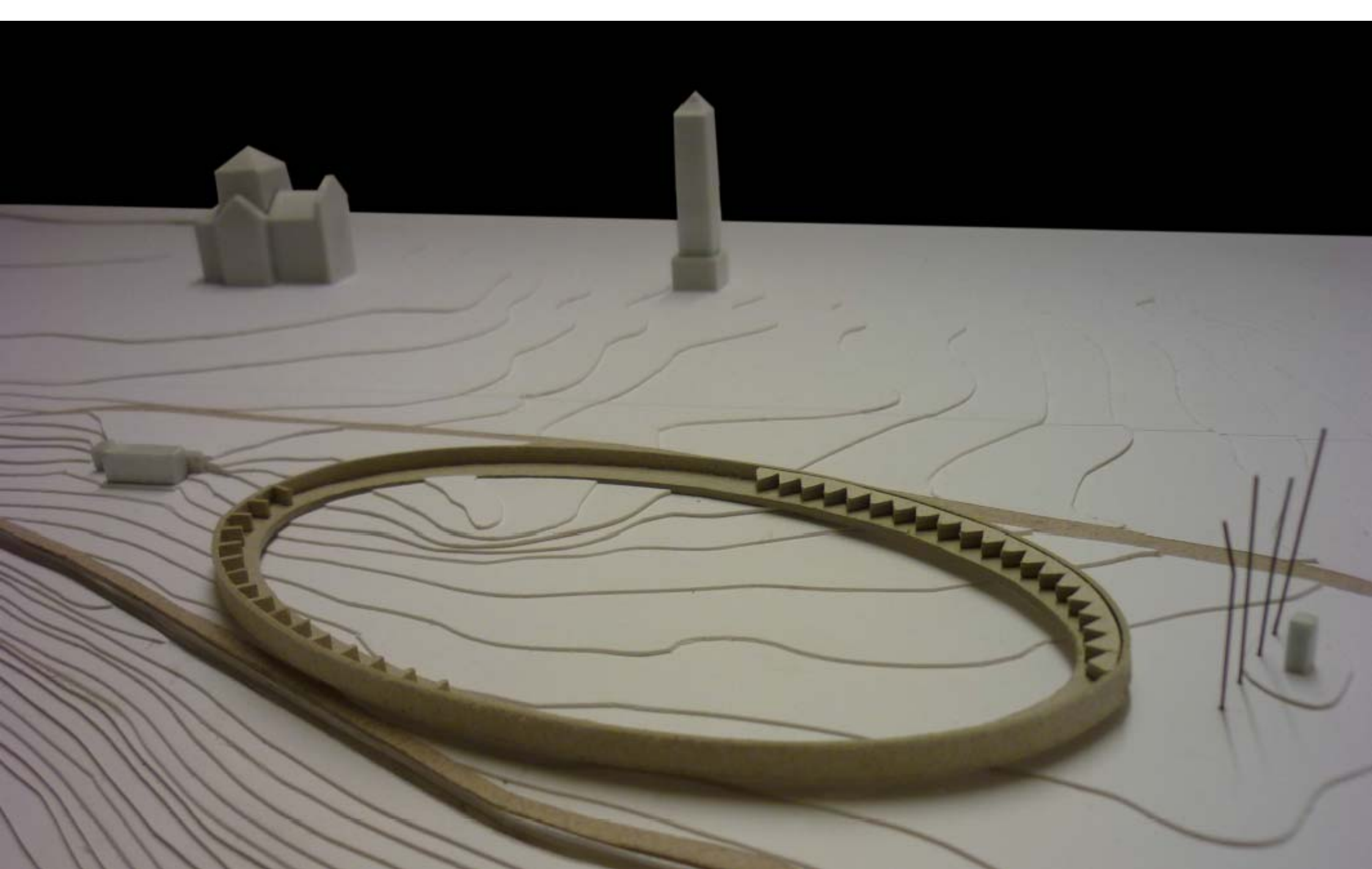
Building typology : Memorial

Quantity : 320 ml

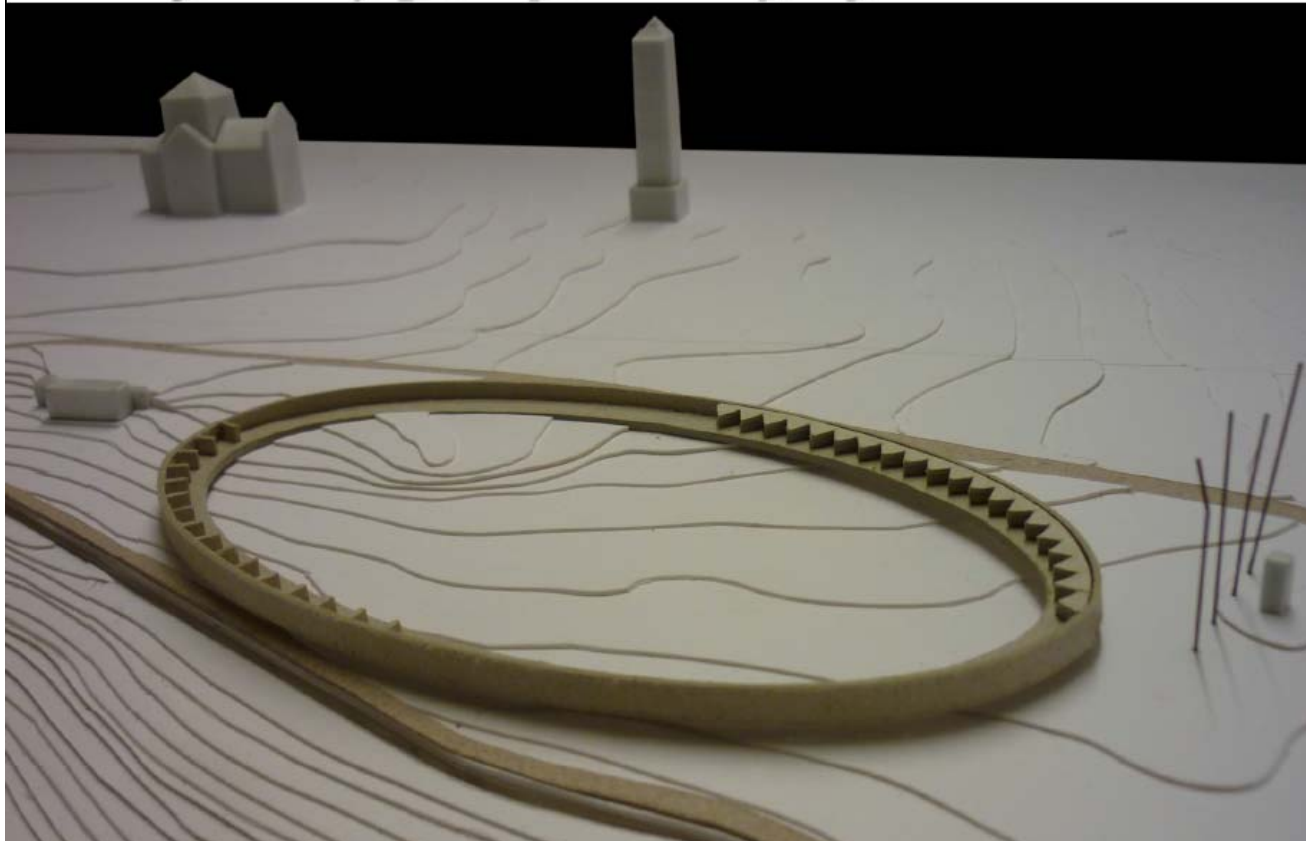
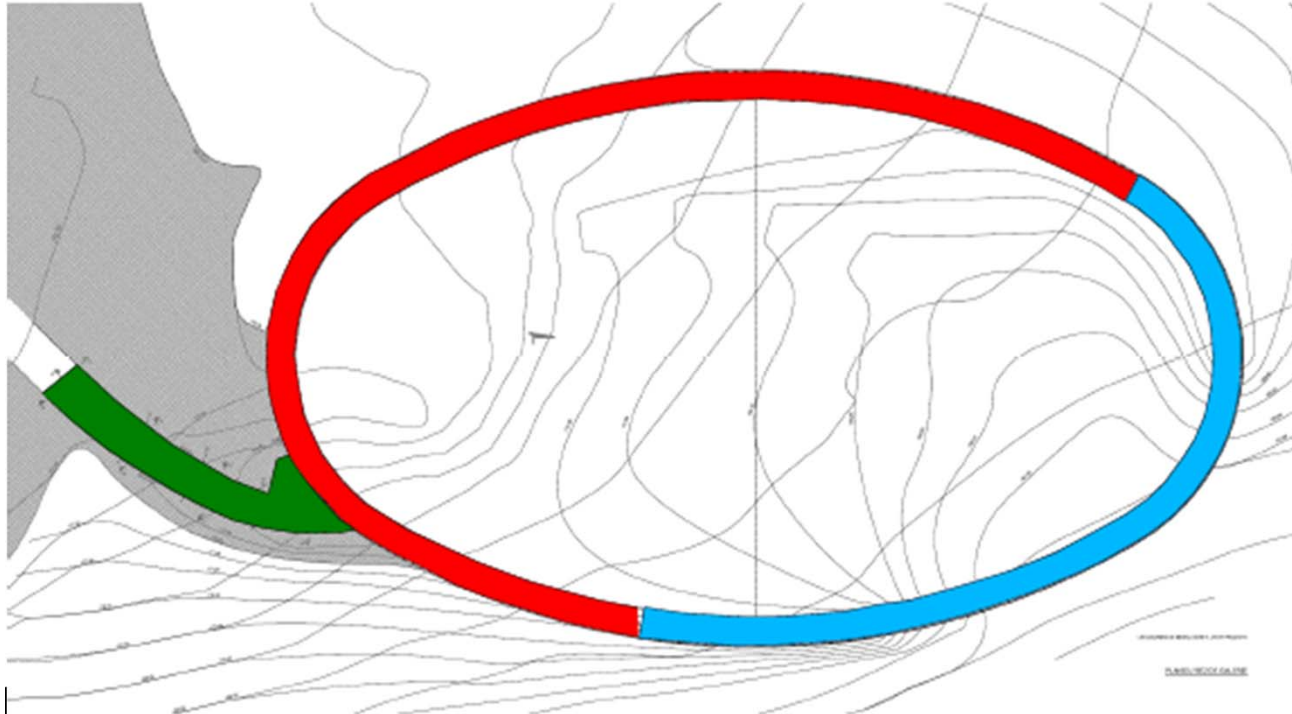
Function : Structure supporting a footbridge

UHPFRC : BSI





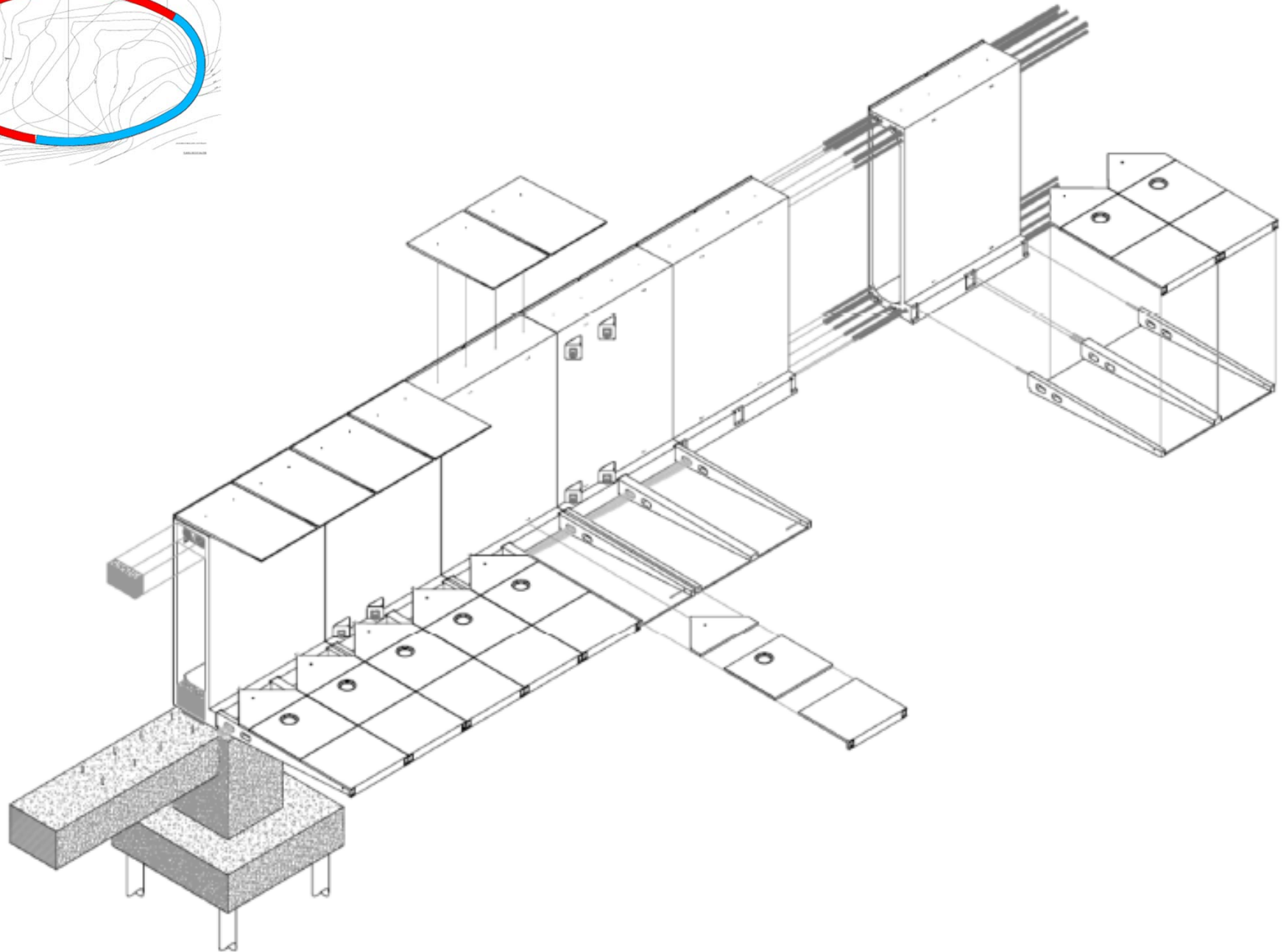
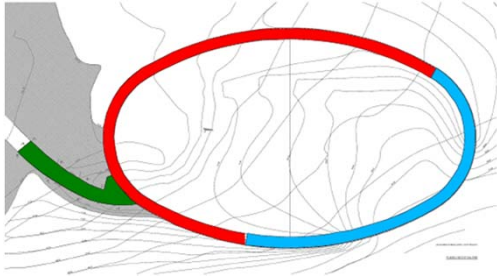


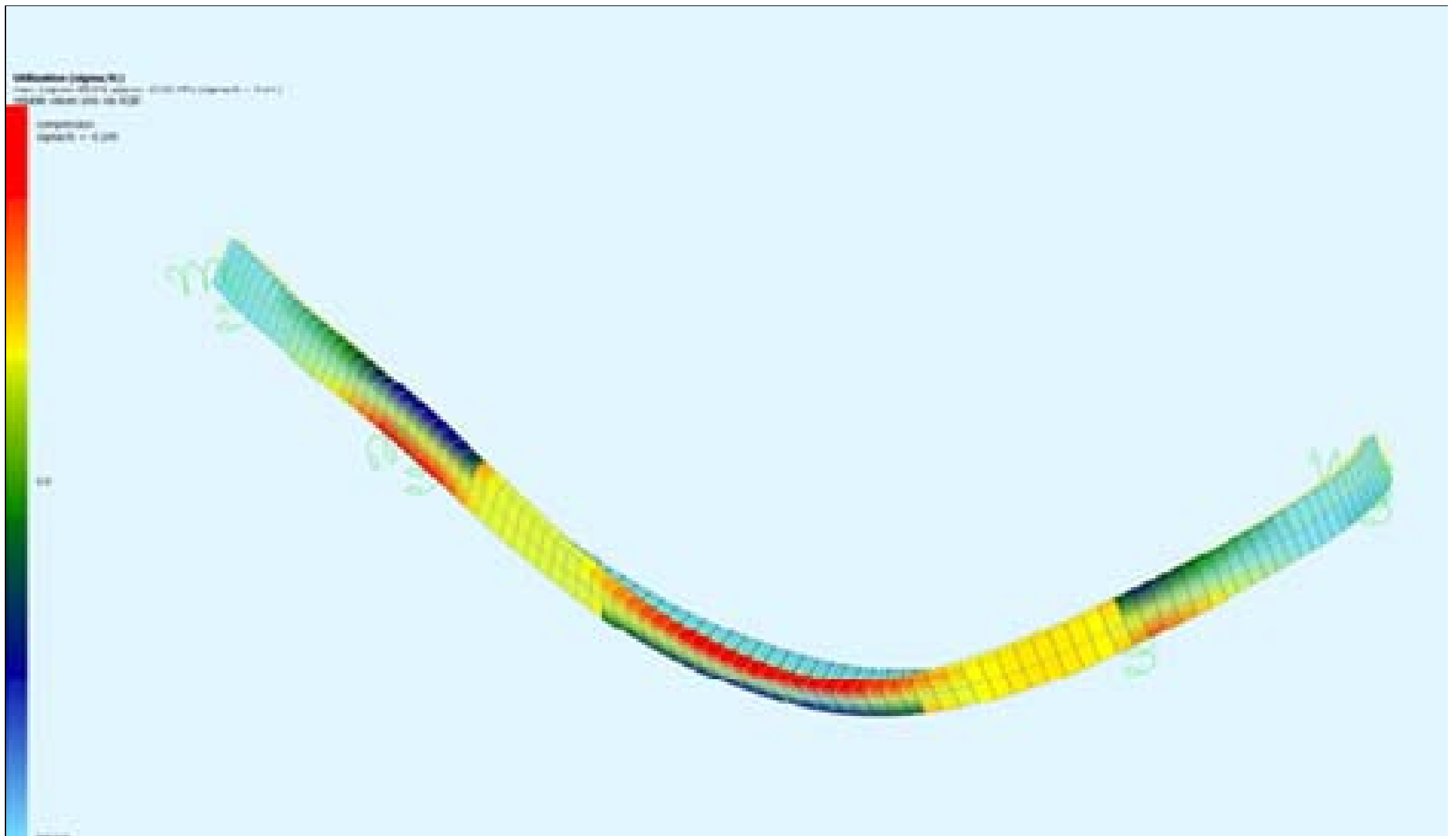


















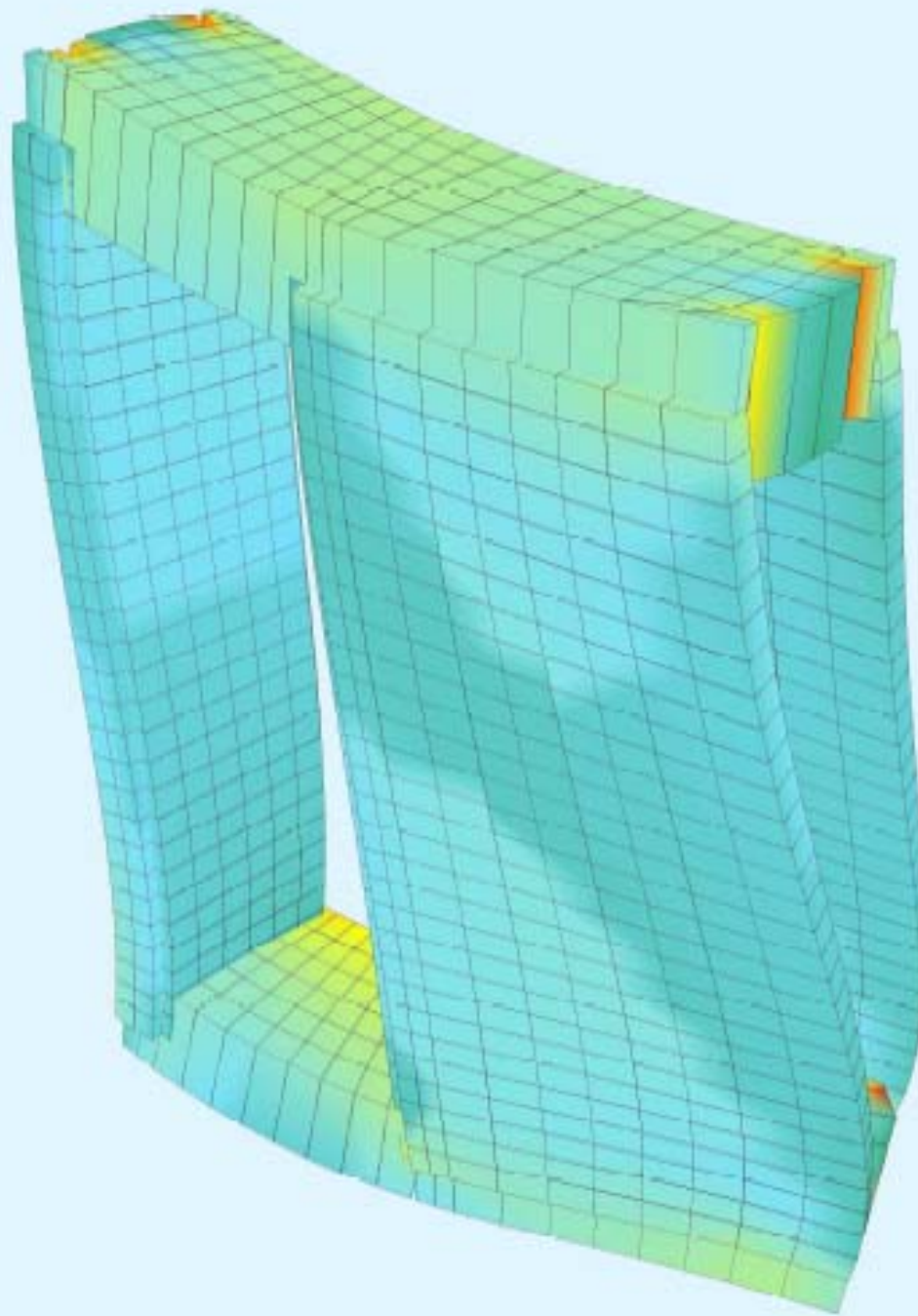
Utilization (σ/σ_c)

max. (skalar-QUAD) approx. 330.56 MPa ($\sigma/\sigma_c = 3.68$)

compression
 $\sigma/\sigma_c = -3.678$

0.0

tension
 $\sigma/\sigma_c = 3.678$





- 1- Matériau, quelques repères
- 2- Conception, quelques règles
- 3- Etude de cas
- 4- Synthèse**

- 1- Choix du matériau
- 2- Stratégie géométrique
- 3- Schéma schématique / Position et nature des appuis
- 4- Risques de conception / Courbes de comportement / fissure
- 5- Stratégie de processus de construction / retrait
- 6- Calcul préliminaire / scénario
- 7- Synthèse

1- Matériau

Fibres organiques ou métalliques

Pour le béton de fibres métalliques choix de la loi de comportement en traction en fonction du volume de fibres

La courbe de comportement du matériau est différente selon l'analyse menée (contrainte ou déformation) et dépend du choix du matériau (FO ou FM) et de l'épaisseur de l'élément

2 - Épaisseur de l'élément

Une attention particulière doit être accordée à la classification de l'élément par rapport à son épaisseur. Un élément est considéré comme mince si son épaisseur est inférieure à 3 fois la longueur des fibres. Certaines propriétés telles que la résistance en traction ou l'analyse de la fissuration vont changer.

3- Intégration du ferrailage

BUHP FO: possible mais pas conventionnel

BUHP FM: possible

Ductal FM + FO: la combinaison des renforts et des fibres dans le calcul ne se fait que dans l'analyse post-élastique. Dans le cas d'éléments minces, l'élongation des fibres ne peut pas dépasser 50% de la valeur maximale donnée.

4- Analyse du cisaillement

BUHP FO: l'analyse ne tient compte que de la capacité de résistance des fibres

BUHP FM: l'analyse considère les fibres, la section et le ferrailage

BUHP FM + FO: les mêmes fibres d'une section ne peuvent pas être utilisées simultanément pour l'analyse de la contrainte de flexion et l'analyse de la contrainte de cisaillement.

5- Ancrages et support

Les ancrages peuvent affecter l'épaisseur globale de l'élément.

6- Analyse de la fissuration

L'analyse de la fissuration est la base du calcul post-élastique. Pour chaque projet la valeur maximum donnée par le référentiel de calcul doit être discutée selon le contexte du projet, le site, le client, la conception d'ensemble.